Inventaire

Rapport définitif - Avril 2013



FR2502020

Inventaires biologiques et analyse écologique des habitats marins patrimoniaux sur la Baie de Seine Occidentale (FR2502020) du lot Natura 2000 en mer "Baie de Seine"

Liberté • Égalité • Fraternité
RÉPUBLIQUE FRANÇAISE
Ministère de l'Écologie, de l'Énergie, du Développement durable et de la Mer

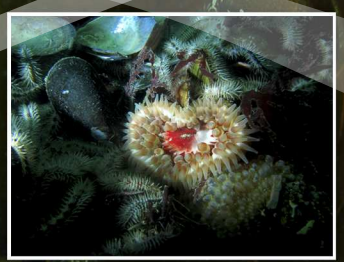
NATURA 2000

Agence des aires marines protégées

.EVIVO

ANNEXE 1
Synthèse des résultats granulométriques





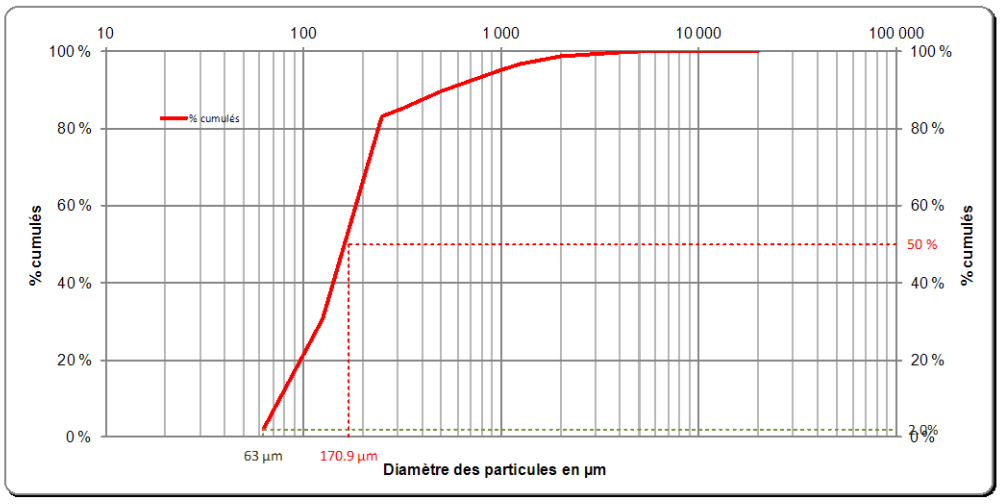
RÉSULTATS DE L'ANALYSE GRANULOMÉTRIQUE POUR L'ECHANTILLON 2B

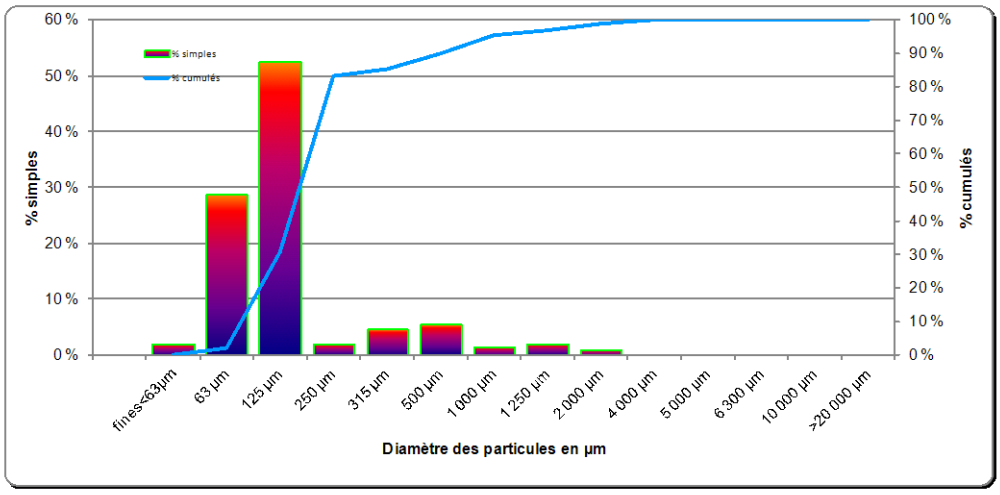
OCCIDENT 2000- PRELEVEMENT DU 30/04/11

Nom de l'échantillon : 2B

Masse totale : 198.30 g

Ouverture du tamis (en µm)	Masses simples (en g)	Masses cumulées (en g)	Fréquence simple en %	Fréquence cumulée en %
fines<63µm	4.00 g	4.00 g	2.02 %	0.00 %
63 µm	57.00 g	61.00 g	28.74 %	2.02 %
125 µm	104.00 g	165.00 g	52.45 %	30.76 %
250 µm	4.00 g	169.00 g	2.02 %	83.21 %
315 µm	9.00 g	178.00 g	4.54 %	85.22 %
500 µm	11.00 g	189.00 g	5.55 %	89.76 %
1 000 µm	3.00 g	192.00 g	1.51 %	95.31 %
1 250 µm	4.00 g	196.00 g	2.02 %	96.82 %
2 000 µm	2.00 g	198.00 g	1.01 %	98.84 %
4 000 µm	0.30 g	198.30 g	0.15 %	99.85 %
5 000 µm	0.00 g	198.30 g	0.00 %	100.00 %
6 300 µm	0.00 g	198.30 g	0.00 %	100.00 %
10 000 µm	0.00 g	198.30 g	0.00 %	100.00 %
>20 000 µm	0.00 g	198.30 g	0.00 %	100.00 %
				100.00 %





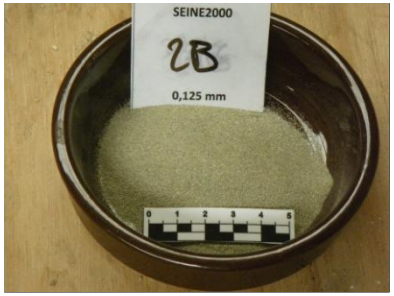
Mode (µm)	**125 µm**	**SABLES FINS**
D_{40} (µm)	80 µm	
D_{16} (µm) / ϕ	93 µm / 3.42 Phi	
D_{5} (µm)	113 µm	
Médiane D_{50} (µm)	**171 µm**	**SABLES FINS**
D_{75} (µm)	230 µm	
D_{84} (µm) / ϕ	276 µm / 1.86 Phi	
D_{95} (µm)	521 µm	
Diamètre moyen en ϕ	2.61 Phi	
Ecart-type en unité ϕ (sorting)	0.97 Phi	
Indice d'asymétrie (Skewness)	-0.10	
Indice d'angulosité (Kurtosis)	1.51	
Teneur en fines (diamètre < 63 µm)	**2.02 %**	

Sources : IN VIVO Environnement – Janvier 2010

MORPHOSCOPIE DE L'ÉCHANTILLON 2B





















Fraction inexistante 5 mm	Fraction inexistante 6,3 mm	Fraction inexistante 10 mm	Fraction inexistante 20 mm	

Nom : 2B

Mode : 125 µm

Médiane : 171 µm **Faciès :** Sables fins

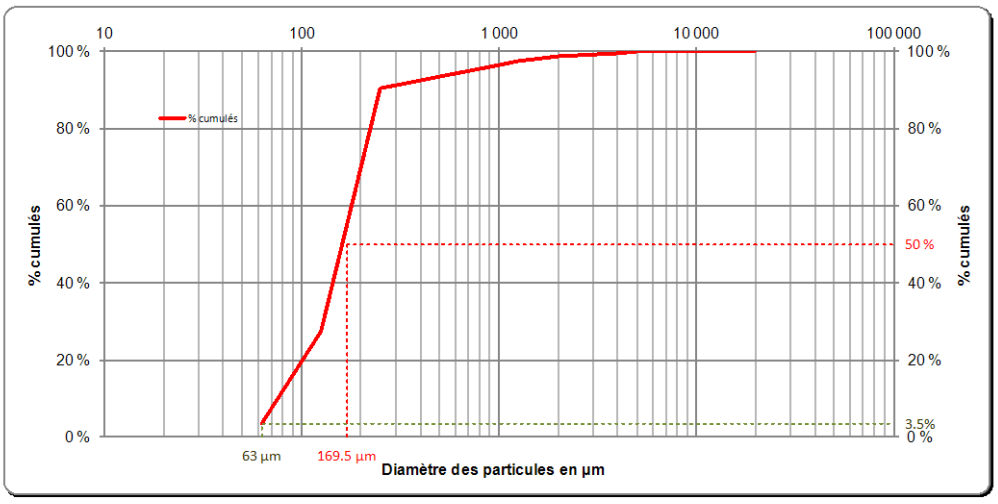
Sources : IN VIVO Environnement – Janvier 2010

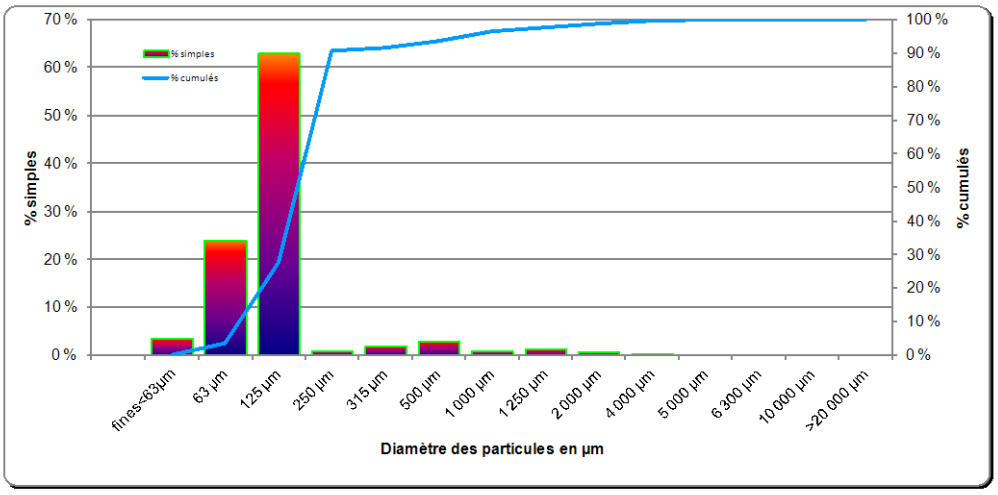
OCCIDENT 2000- PRELEVEMENT DU 30/04/11

Nom de l'échantillon : 3G

Masse totale : 199.80 g

Ouverture du tamis (en µm)	Masses simples (en g)	Masses cumulées (en g)	Fréquence simple en %	Fréquence cumulée en %
fines<63µm	7.00 g	7.00 g	3.50 %	0.00 %
63 µm	48.00 g	55.00 g	24.02 %	3.50 %
125 µm	126.00 g	181.00 g	63.06 %	27.53 %
250 µm	2.00 g	183.00 g	1.00 %	90.59 %
315 µm	4.00 g	187.00 g	2.00 %	91.59 %
500 µm	6.00 g	193.00 g	3.00 %	93.59 %
1 000 µm	2.00 g	195.00 g	1.00 %	96.60 %
1 250 µm	2.60 g	197.60 g	1.30 %	97.60 %
2 000 µm	1.50 g	199.10 g	0.75 %	98.90 %
4 000 µm	0.70 g	199.80 g	0.35 %	99.65 %
5 000 µm	0.00 g	199.80 g	0.00 %	100.00 %
6 300 µm	0.00 g	199.80 g	0.00 %	100.00 %
10 000 µm	0.00 g	199.80 g	0.00 %	100.00 %
>20 000 µm	0.00 g	199.80 g	0.00 %	100.00 %
				100.00 %



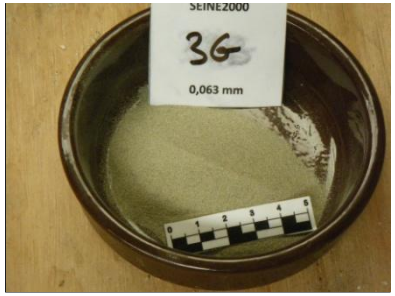


Mode (µm)	**125 µm**	**SABLES FINS**
D_{41} (µm)	80 µm	
D_{16} (µm) / ϕ	95 µm / 3.39 Phi	
D_{75} (µm)	118 µm	
Médiane D_{50} (µm)	**170 µm**	**SABLES FINS**
D_{75} (µm)	219 µm	
D_{84} (µm) / ϕ	237 µm / 2.08 Phi	
D_{95} (µm)	249 µm	
Diamètre moyen en ϕ	2.68 Phi	
Ecart-type en unité ϕ (sorting)	0.85 Phi	
Indice d'asymétrie (Skewness)	0.02	
Indice d'angulosité (Kurtosis)	1.60	
Teneur en fines (diamètre < 63 µm)	**3.50 %**	

Sources : IN VIVO Environnement – Janvier 2010

MORPHOSCOPIE DE L'ÉCHANTILLON 3G





















Fraction inexistante 5 mm	Fraction inexistante 6,3 mm	Fraction inexistante 10 mm	Fraction inexistante 20 mm	

Nom : 3G

Mode : 125 µm

Médiane : 170 µm **Faciès :** Sables fins

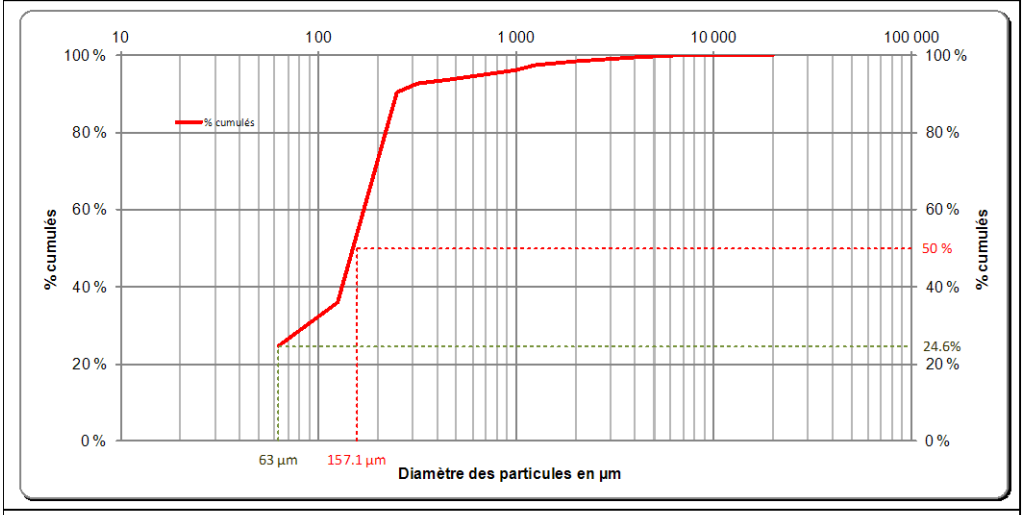
Sources : IN VIVO Environnement – Janvier 2010

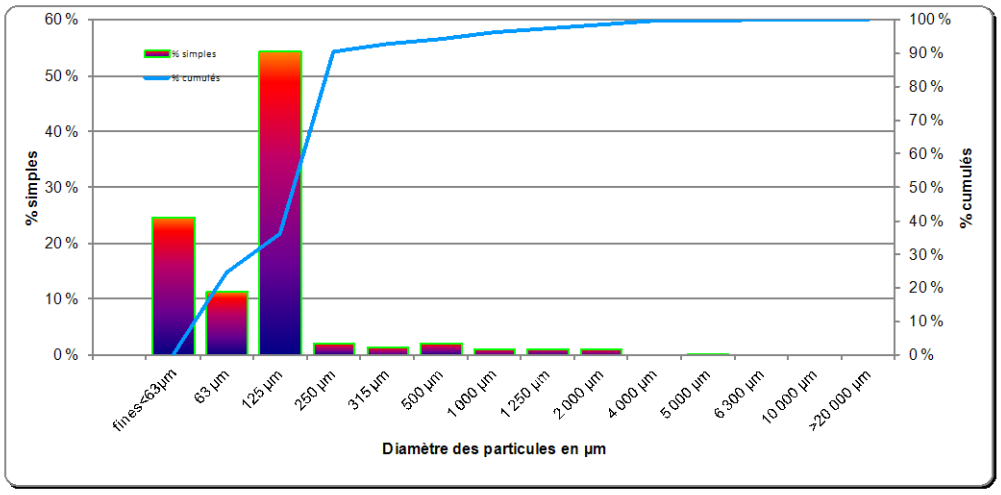
OCCIDENT 2000- PRELEVEMENT DU 30/04/11

Nom de l'échantillon : 4B

Masse totale : 271.90 g

Ouverture du tamis (en µm)	Masses simples (en g)	Masses cumulées (en g)	Fréquence simple en %	Fréquence cumulée en %
fines<63µm	67.00 g	67.00 g	24.64 %	0.00 %
63 µm	31.00 g	98.00 g	11.40 %	24.64 %
125 µm	148.00 g	246.00 g	54.43 %	36.04 %
250 µm	6.00 g	252.00 g	2.21 %	90.47 %
315 µm	4.00 g	256.00 g	1.47 %	92.68 %
500 µm	6.00 g	262.00 g	2.21 %	94.15 %
1 000 µm	3.00 g	265.00 g	1.10 %	96.36 %
1 250 µm	3.00 g	268.00 g	1.10 %	97.46 %
2 000 µm	3.00 g	271.00 g	1.10 %	98.57 %
4 000 µm	0.30 g	271.30 g	0.11 %	99.67 %
5 000 µm	0.60 g	271.90 g	0.22 %	99.78 %
6 300 µm	0.00 g	271.90 g	0.00 %	100.00 %
10 000 µm	0.00 g	271.90 g	0.00 %	100.00 %
>20 000 µm	0.00 g	271.90 g	0.00 %	100.00 %
				100.00 %





Mode (µm)	**125 µm**	**SABLES FINS**
D_{10} (µm)	< 63	
D_{16} µm ϕ	< 63	
D_{25} (µm)	65 µm	
Médiane D_{50} (µm)	**157 µm**	**SABLES FINS**
D_{75} (µm)	214 µm	
D_{84} µm ϕ	235 µm 2.09 Phi	
D_{90} (µm)	249 µm	
Diamètre moyen en ϕ	–	
Ecart-type en unité ϕ (sorting)	–	
Indice d'asymétrie (Skewness)	–	
Indice d'angulosité (Kurtosis)	–	
Teneur en fines (diamètre < 63 µm)	24.64 %	

Sources : IN VIVO Environnement – Janvier 2010

MORPHOSCOPIE DE L'ÉCHANTILLON 4B

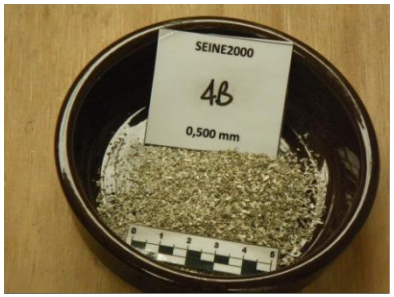


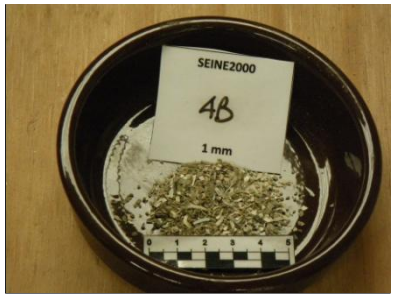


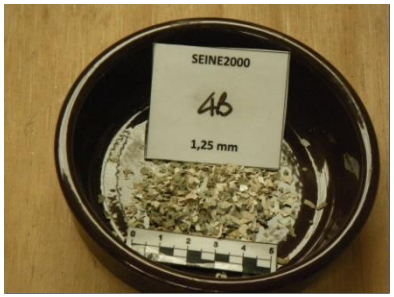


















Fraction inexistante

6,3 mm

Fraction inexistante

10 mm

Fraction inexistante

20 mm



Nom : 4B

Mode : 125 µm

Médiane : 157 µm **Faciès :** Sables fins

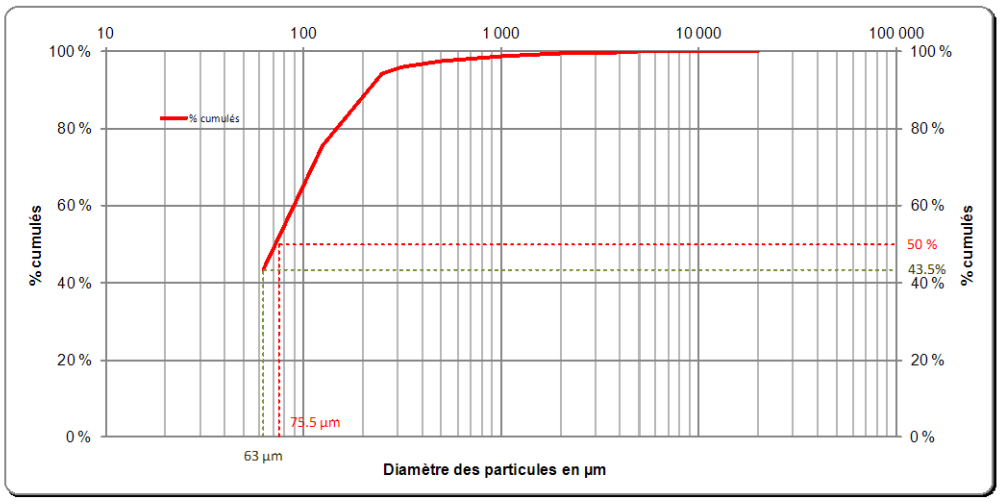
Sources : IN VIVO Environnement – Janvier 2010

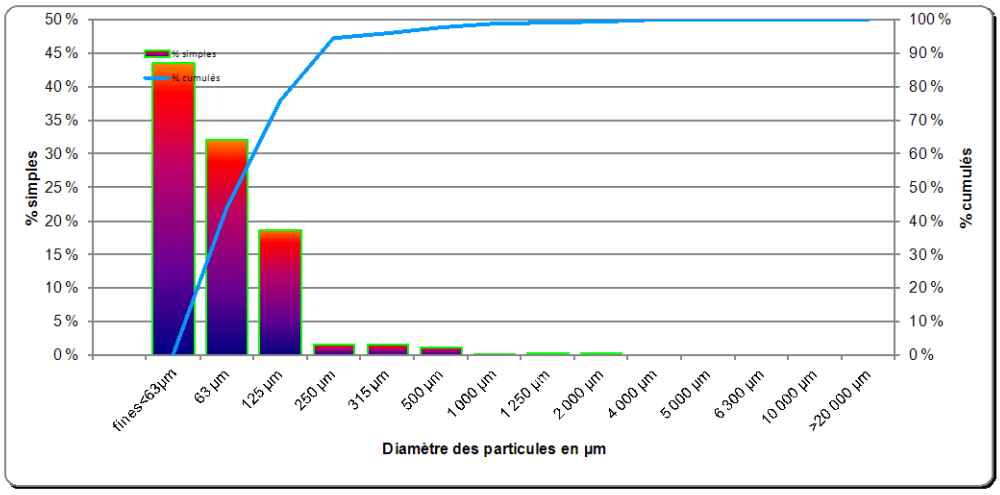
OCCIDENT 2000- PRELEVEMENT DU 30/04/11

Nom de l'échantillon : 5B

Masse totale : 245.90 g

Ouverture du tamis (en µm)	Masses simples (en g)	Masses cumulées (en g)	Fréquence simple en %	Fréquence cumulée en %
fines<63µm	107.00 g	107.00 g	43.51 %	0.00 %
63 µm	79.00 g	186.00 g	32.13 %	43.51 %
125 µm	46.00 g	232.00 g	18.71 %	75.64 %
250 µm	4.00 g	236.00 g	1.63 %	94.35 %
315 µm	4.00 g	240.00 g	1.63 %	95.97 %
500 µm	3.00 g	243.00 g	1.22 %	97.60 %
1 000 µm	0.60 g	243.60 g	0.24 %	98.82 %
1 250 µm	1.00 g	244.60 g	0.41 %	99.06 %
2 000 µm	1.00 g	245.60 g	0.41 %	99.47 %
4 000 µm	0.30 g	245.90 g	0.12 %	99.88 %
5 000 µm	0.00 g	245.90 g	0.00 %	100.00 %
6 300 µm	0.00 g	245.90 g	0.00 %	100.00 %
10 000 µm	0.00 g	245.90 g	0.00 %	100.00 %
>20 000 µm	0.00 g	245.90 g	0.00 %	100.00 %
				100.00 %





Mode (µm)	fines<63µm	**GRAVIERS**
$D_{4,3}$ (µm)	< 63 µm	
D_{10} (µm)	< 63 µm	
D_{-3} (µm)	< 63 µm	
Médiane D_{50} (µm)	76 µm	**SABLONS**
D_{75} (µm)	124 µm	
D_{84} (µm)	181 µm	
D_{90} (µm)	2.47 Phi	
	221 µm	
Diamètre moyen en ϕ	–	
Ecart-type en unité ϕ (sorting)	–	
Indice d'asymétrie (Skewness)	–	
Indice d'angulosité (Kurtosis)	–	
Teneur en fines (diamètre < 63 µm)	43.51 %	

Sources : IN VIVO Environnement – Janvier 2010

MORPHOSCOPIE DE L'ÉCHANTILLON 5B



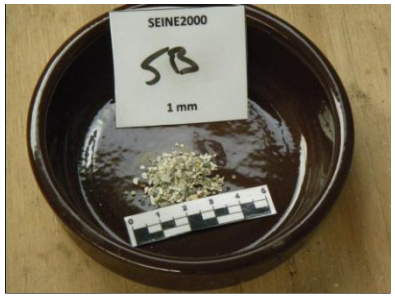






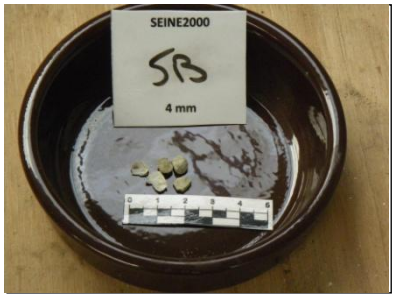












Fraction inexistante 5 mm	Fraction inexistante 6,3 mm	Fraction inexistante 10 mm	Fraction inexistante 20 mm	

Nom : 5B

Mode : < 63 µm

Médiane : 76 µm **Faciès :** sablons

Sources : IN VIVO Environnement – Janvier 2010

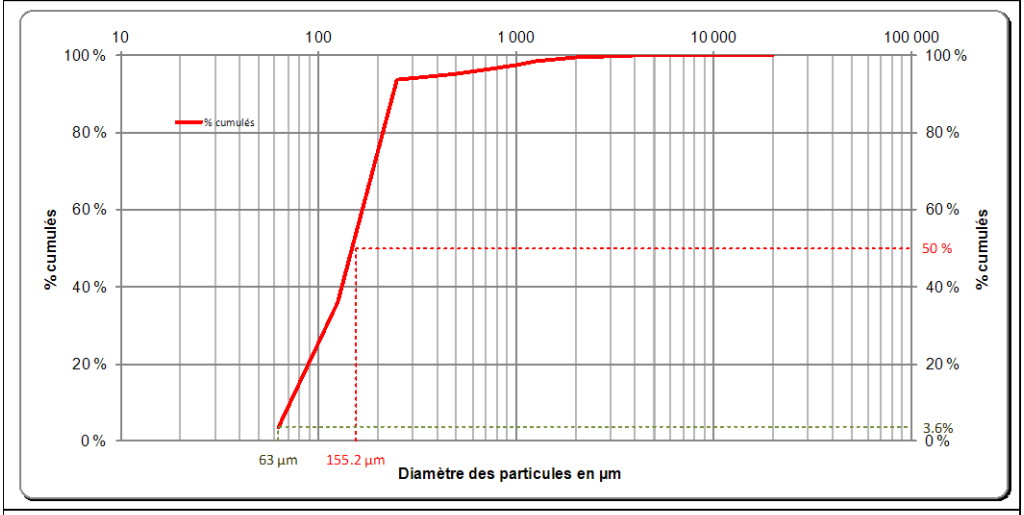
RÉSULTATS DE L'ANALYSE GRANULOMÉTRIQUE POUR L'ECHANTILLON 6B

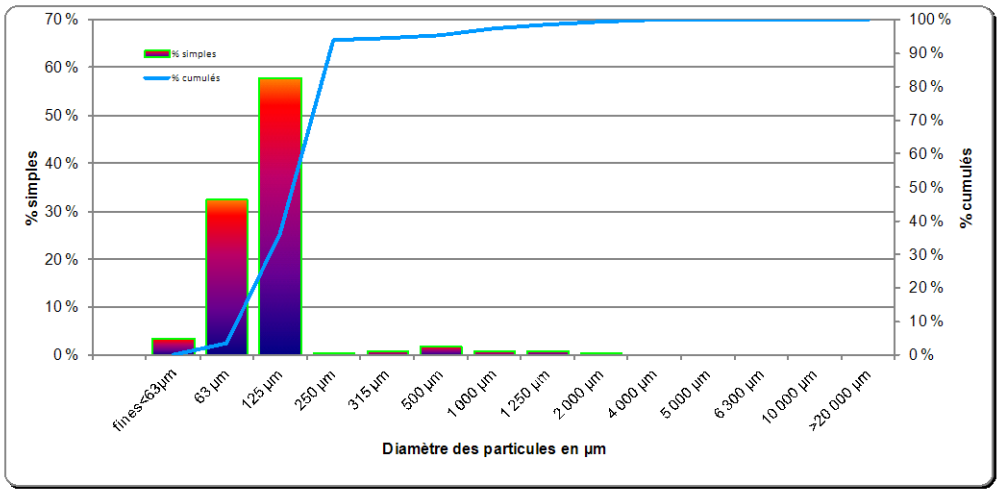
OCCIDENT 2000- PRELEVEMENT DU 30/04/11

Nom de l'échantillon : 6B

Masse totale : 197.00 g

Ouverture du tamis (en µm)	Masses simples (en g)	Masses cumulées (en g)	Fréquence simple en %	Fréquence cumulée en %
fines<63µm	7.00 g	7.00 g	3.55 %	0.00 %
63 µm	64.00 g	71.00 g	32.49 %	3.55 %
125 µm	114.00 g	185.00 g	57.87 %	36.04 %
250 µm	1.00 g	186.00 g	0.51 %	93.91 %
315 µm	2.00 g	188.00 g	1.02 %	94.42 %
500 µm	4.00 g	192.00 g	2.03 %	95.43 %
1 000 µm	2.00 g	194.00 g	1.02 %	97.46 %
1 250 µm	2.00 g	196.00 g	1.02 %	98.48 %
2 000 µm	1.00 g	197.00 g	0.51 %	99.49 %
4 000 µm	0.00 g	197.00 g	0.00 %	100.00 %
5 000 µm	0.00 g	197.00 g	0.00 %	100.00 %
6 300 µm	0.00 g	197.00 g	0.00 %	100.00 %
10 000 µm	0.00 g	197.00 g	0.00 %	100.00 %
>20 000 µm	0.00 g	197.00 g	0.00 %	100.00 %
				100.00 %





Mode (µm)	**125 µm**	**SABLES FINS**
D_{10} (µm)	75 µm	
D_{16} (µm)	87 µm	
µm ϕ	3.53 Phi	
D_{25} (µm)	104 µm	
Médiane D_{50} (µm)	**155 µm**	**SABLES FINS**
D_{75} (µm)	209 µm	
D_{84} (µm)	229 µm	
µm ϕ	2.13 Phi	
D_{90} (µm)	242 µm	
Diamètre moyen en ϕ	2.78 Phi	
Ecart-type en unité ϕ (sorting)	0.76 Phi	
Indice d'asymétrie (Skewness)	0.06	
Indice d'angulosité (Kurtosis)	1.09	
Teneur en fines (diamètre < 63 µm)	**3.55 %**	

Sources : IN VIVO Environnement – Janvier 2010

MORPHOSCOPIE DE L'ÉCHANTILLON 6B



















Fraction inexistante

4 mm

Fraction inexistante

5 mm

Fraction inexistante

6,3 mm

Fraction inexistante

10 mm

Fraction inexistante

20 mm



Nom : 6B

Mode : 125 µm

Médiane : 155 µm

Faciès : Sables fins

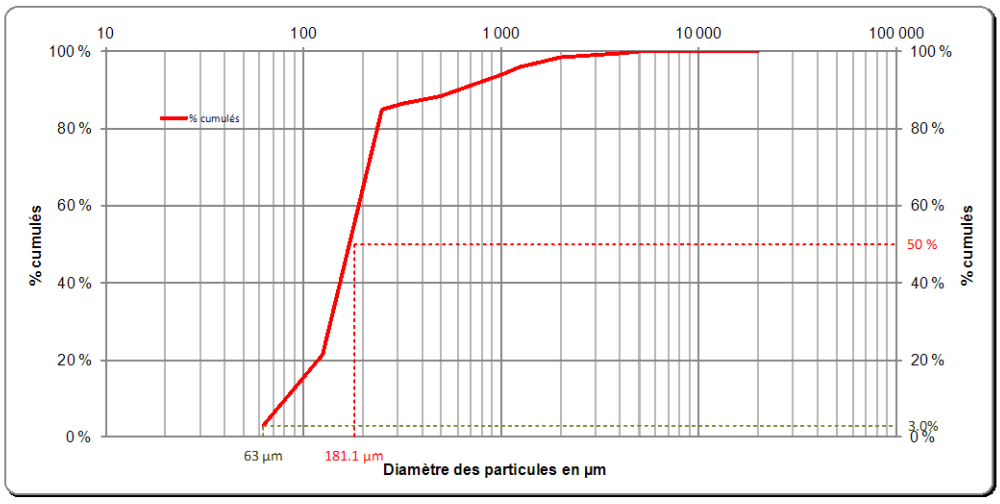
Sources : IN VIVO Environnement – Janvier 2010

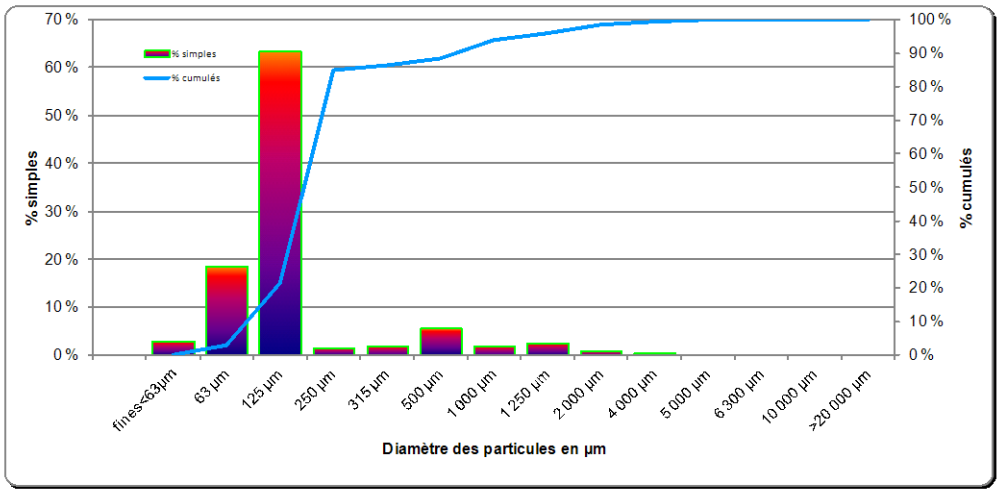
OCCIDENT 2000- PRELEVEMENT DU 19/05/11

Nom de l'échantillon : 7B

Masse totale : 200.00 g

Ouverture du tamis (en µm)	Masses simples (en g)	Masses cumulées (en g)	Fréquence simple en %	Fréquence cumulée en %
fines<63µm	6.00 g	6.00 g	3.00 %	0.00 %
63 µm	37.00 g	43.00 g	18.50 %	3.00 %
125 µm	127.00 g	170.00 g	63.50 %	21.50 %
250 µm	3.00 g	173.00 g	1.50 %	85.00 %
315 µm	4.00 g	177.00 g	2.00 %	86.50 %
500 µm	11.00 g	188.00 g	5.50 %	88.50 %
1 000 µm	4.00 g	192.00 g	2.00 %	94.00 %
1 250 µm	5.00 g	197.00 g	2.50 %	96.00 %
2 000 µm	2.00 g	199.00 g	1.00 %	98.50 %
4 000 µm	1.00 g	200.00 g	0.50 %	99.50 %
5 000 µm	0.00 g	200.00 g	0.00 %	100.00 %
6 300 µm	0.00 g	200.00 g	0.00 %	100.00 %
10 000 µm	0.00 g	200.00 g	0.00 %	100.00 %
>20 000 µm	0.00 g	200.00 g	0.00 %	100.00 %
				100.00 %





Mode (µm)	**125 µm**	**SABLES FINS**
D_{10} (µm)	86 µm	
D_{16} (µm)	107 µm	
ϕ	3.23 Phi	
D_{25} (µm)	132 µm	
Médiane D_{50} (µm)	**181 µm**	**SABLES FINS**
D_{75} (µm)	230 µm	
D_{84} (µm)	248 µm	
ϕ	2.01 Phi	
D_{90} (µm)	636 µm	
Diamètre moyen en ϕ	2.57 Phi	
Ecart-type en unité ϕ (sorting)	0.91 Phi	
Indice d'asymétrie (Skewness)	-0.03	
Indice d'angulosité (Kurtosis)	2.04	
Teneur en fines (diamètre < 63 µm)	**3.00 %**	

Sources : IN VIVO Environnement – Janvier 2010

MORPHOSCOPIE DE L'ÉCHANTILLON 7B





















Fraction inexistante 5 mm	Fraction inexistante 6,3 mm	Fraction inexistante 10 mm	Fraction inexistante 20 mm	

Nom : 7B

Mode : 125 µm

Médiane : 181 µm **Faciès :** Sables fins

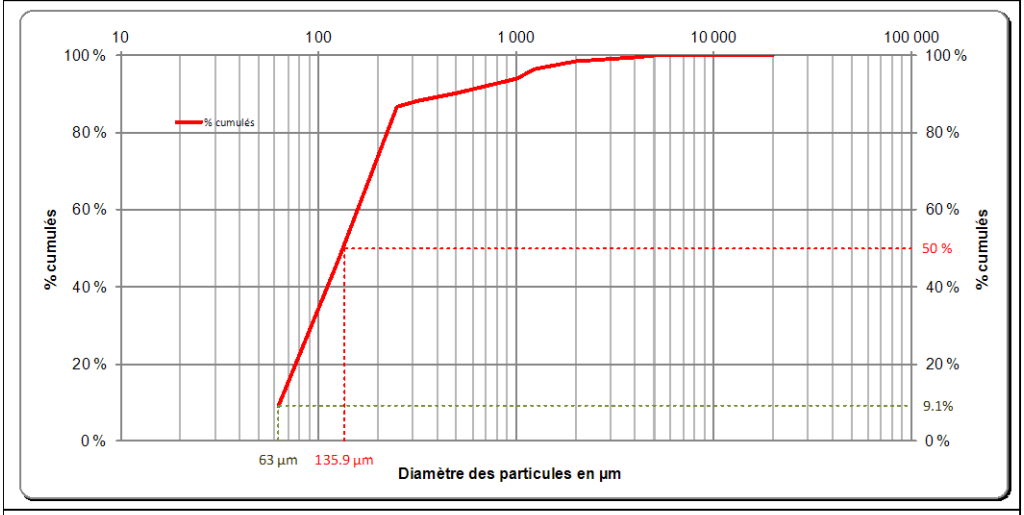
Sources : IN VIVO Environnement – Janvier 2010

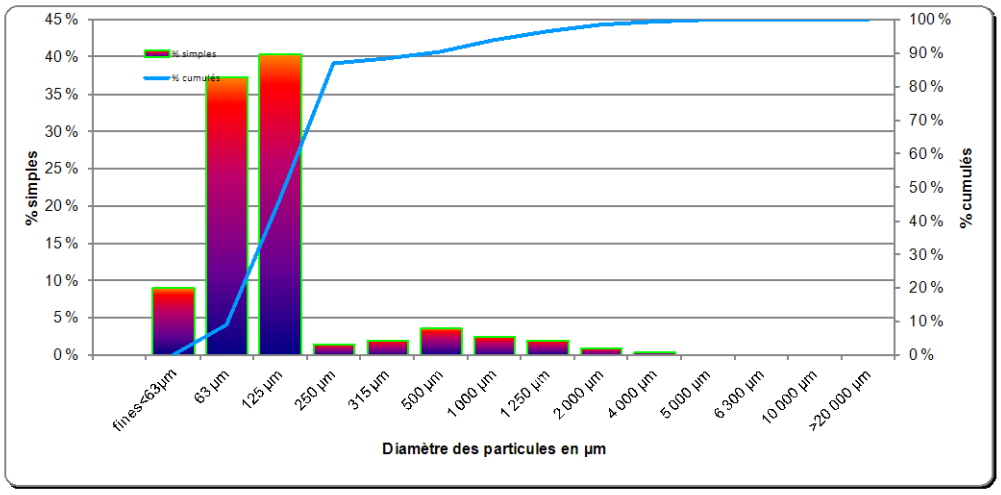
OCCIDENT 2000- PRELEVEMENT DU 30/04/11

Nom de l'échantillon : 8B

Masse totale : 198.00 g

Ouverture du tamis (en µm)	Masses simples (en g)	Masses cumulées (en g)	Fréquence simple en %	Fréquence cumulée en %
fines<63µm	18.00 g	18.00 g	9.09 %	0.00 %
63 µm	74.00 g	92.00 g	37.37 %	9.09 %
125 µm	80.00 g	172.00 g	40.40 %	46.46 %
250 µm	3.00 g	175.00 g	1.52 %	86.87 %
315 µm	4.00 g	179.00 g	2.02 %	88.38 %
500 µm	7.00 g	186.00 g	3.54 %	90.40 %
1 000 µm	5.00 g	191.00 g	2.53 %	93.94 %
1 250 µm	4.00 g	195.00 g	2.02 %	96.46 %
2 000 µm	2.00 g	197.00 g	1.01 %	98.48 %
4 000 µm	1.00 g	198.00 g	0.51 %	99.49 %
5 000 µm	0.00 g	198.00 g	0.00 %	100.00 %
6 300 µm	0.00 g	198.00 g	0.00 %	100.00 %
10 000 µm	0.00 g	198.00 g	0.00 %	100.00 %
>20 000 µm	0.00 g	198.00 g	0.00 %	100.00 %
				100.00 %





Mode (µm)	**125 µm**	**SABLES FINS**
D_{45} (µm)	65 µm	
D_{16} µm ϕ	74 µm 3.75 Phi	
D_{25} (µm)	89 µm	
Médiane D_{50} (µm)	**136 µm**	**SABLES FINS**
D_{75} (µm)	213 µm	
D_{84} µm ϕ	241 µm 2.05 Phi	
D_{95} (µm)	463 µm	
Diamètre moyen en ϕ	2.89 Phi	
Ecart-type en unité ϕ (sorting)	–	
Indice d'asymétrie (Skewness)	–	
Indice d'angulosité (Kurtosis)	–	
Teneur en fines (diamètre < 63 µm)	9.09 %	

Sources : IN VIVO Environnement – Janvier 2010





















Fraction inexistante 5 mm	Fraction inexistante 6,3 mm	Fraction inexistante 10 mm	Fraction inexistante 20 mm	

Nom : 8B

Mode : 125 µm

Médiane : 136 µm **Faciès :** Sables fins

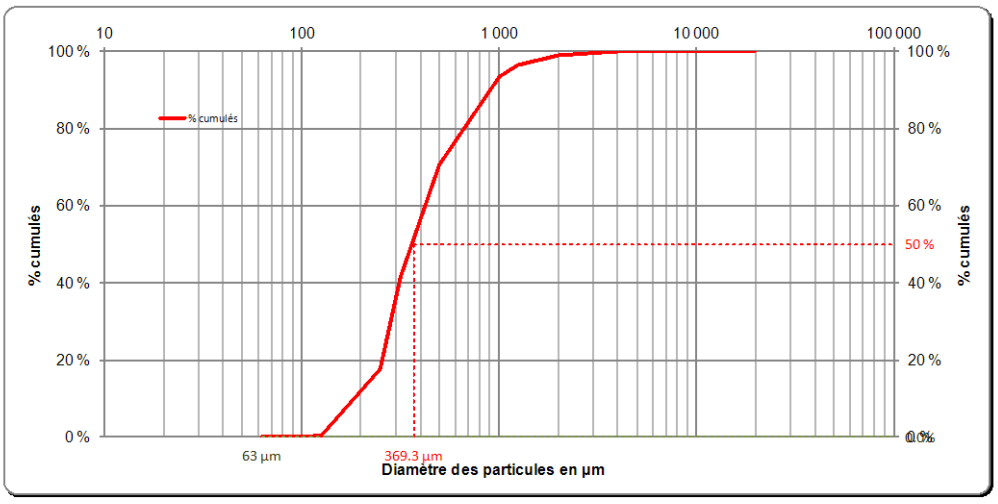
Sources : IN VIVO Environnement – Janvier 2010

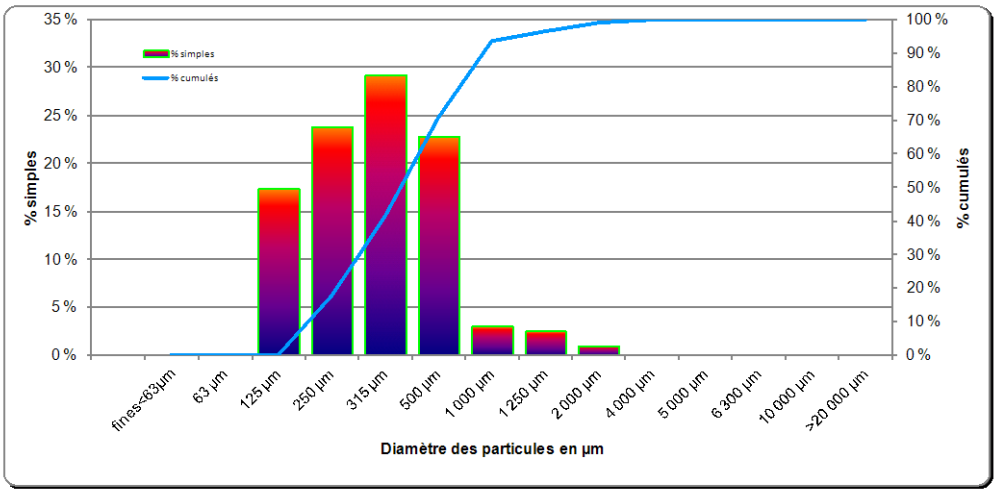
OCCIDENT 2000- PRELEVEMENT DU 30/04/11

Nom de l'échantillon : 11G

Masse totale : 201.35 g

Ouverture du tamis (en µm)	Masses simples (en g)	Masses cumulées (en g)	Fréquence simple en %	Fréquence cumulée en %
fines<63µm	0.05 g	0.05 g	0.02 %	0.00 %
63 µm	0.30 g	0.35 g	0.15 %	0.02 %
125 µm	35.00 g	35.35 g	17.38 %	0.17 %
250 µm	48.00 g	83.35 g	23.84 %	17.56 %
315 µm	59.00 g	142.35 g	29.30 %	41.40 %
500 µm	46.00 g	188.35 g	22.85 %	70.70 %
1 000 µm	6.00 g	194.35 g	2.98 %	93.54 %
1 250 µm	5.00 g	199.35 g	2.48 %	96.52 %
2 000 µm	2.00 g	201.35 g	0.99 %	99.01 %
4 000 µm	0.00 g	201.35 g	0.00 %	100.00 %
5 000 µm	0.00 g	201.35 g	0.00 %	100.00 %
6 300 µm	0.00 g	201.35 g	0.00 %	100.00 %
10 000 µm	0.00 g	201.35 g	0.00 %	100.00 %
>20 000 µm	0.00 g	201.35 g	0.00 %	100.00 %
				100.00 %

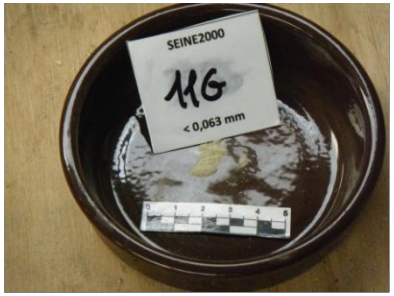


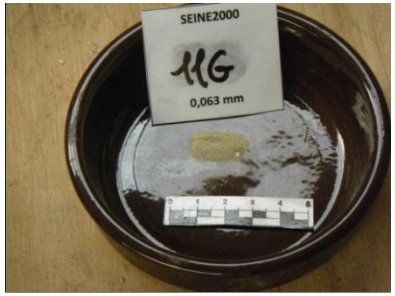


Mode (µm)	**315 µm**	**SABLES MOYENS**
D_{4n} (µm)	196 µm	
D_{16} µm ϕ	239 µm 2.07 Phi	
$D_{>x}$ (µm)	270 µm	
Médiane D_{50} (µm)	**369 µm**	**SABLES MOYENS**
D_{75} (µm)	594 µm	
D_{84} µm ϕ	791 µm 0.34 Phi	
D_{xn} (µm)	922 µm	
Diamètre moyen en ϕ	1.28 Phi	
Ecart-type en unité ϕ (sorting)	0.86 Phi	
Indice d'asymétrie (Skewness)	-0.21	
Indice d'angulosité (Kurtosis)	1.01	
Teneur en fines (diamètre < 63 µm)	0.02 %	

Sources : IN VIVO Environnement – Janvier 2010

MORPHOSCOPIE DE L'ÉCHANTILLON 11G



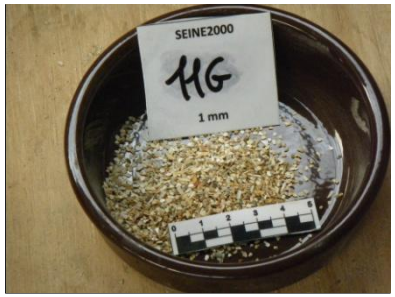


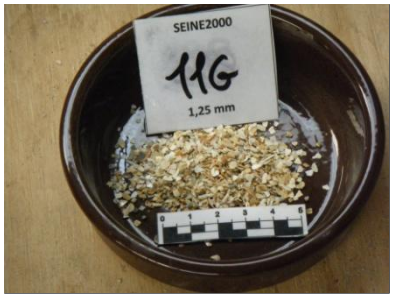














Fraction inexistante

4 mm

Fraction inexistante

5 mm

Fraction inexistante

6,3 mm

Fraction inexistante

10 mm

Fraction inexistante

20 mm



Nom : 11G

Mode : 315 µm

Médiane : 369 µm

Faciès : Sables moyens

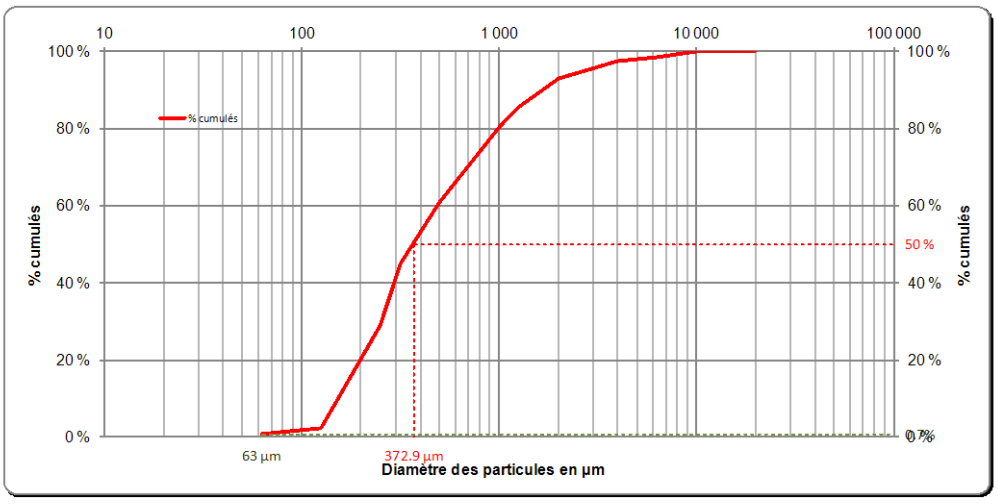
Sources : IN VIVO Environnement – Janvier 2010

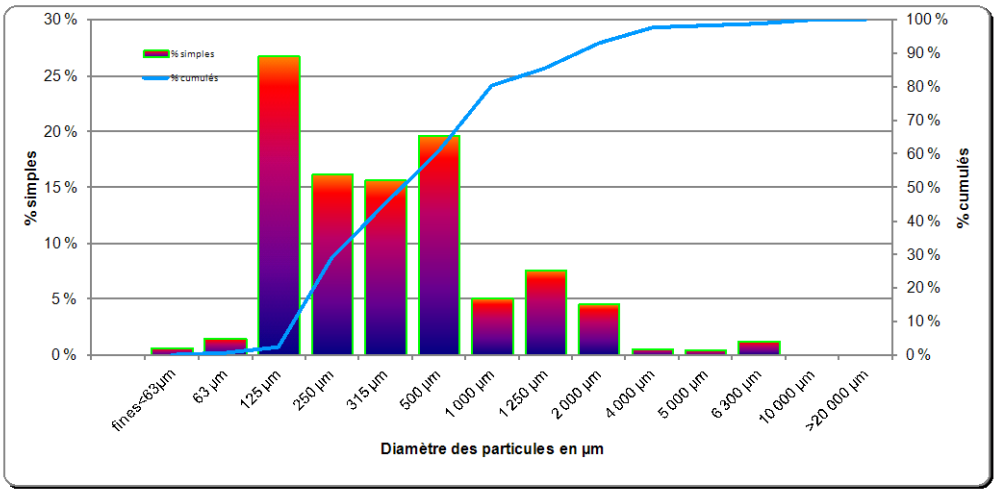
OCCIDENT 2000- PRELEVEMENT DU 30/04/11

Nom de l'échantillon : 12G

Masse totale : 198.20 g

Ouverture du tamis (en µm)	Masses simples (en g)	Masses cumulées (en g)	Fréquence simple en %	Fréquence cumulée en %
fines<63µm	1.40 g	1.40 g	0.71 %	0.00 %
63 µm	3.00 g	4.40 g	1.51 %	0.71 %
125 µm	53.00 g	57.40 g	26.74 %	2.22 %
250 µm	32.00 g	89.40 g	16.15 %	28.96 %
315 µm	31.00 g	120.40 g	15.64 %	45.11 %
500 µm	39.00 g	159.40 g	19.68 %	60.75 %
1 000 µm	10.00 g	169.40 g	5.05 %	80.42 %
1 250 µm	15.00 g	184.40 g	7.57 %	85.47 %
2 000 µm	9.00 g	193.40 g	4.54 %	93.04 %
4 000 µm	1.20 g	194.60 g	0.61 %	97.58 %
5 000 µm	1.00 g	195.60 g	0.50 %	98.18 %
6 300 µm	2.60 g	198.20 g	1.31 %	98.69 %
10 000 µm	0.00 g	198.20 g	0.00 %	100.00 %
>20 000 µm	0.00 g	198.20 g	0.00 %	100.00 %
				100.00 %





Mode (µm)	**125 µm**	**SABLES FINS**
D_{4n} (µm)	161 µm	
D_{16} µm ϕ	189 µm 2.40 Phi	
D_{2n} (µm)	231 µm	
Médiane D_{50} (µm)	**373 µm**	**SABLES MOYENS**
D_{75} (µm)	862 µm	
D_{84} µm ϕ	1 177 µm -0.24 Phi	
D_{9n} (µm)	1 699 µm	
Diamètre moyen en ϕ	1.20 Phi	
Ecart-type en unité ϕ (sorting)	1.32 Phi	
Indice d'asymétrie (Skewness)	-0.30	
Indice d'angulosité (Kurtosis)	0.95	
Teneur en fines (diamètre < 63 µm)	**0.71 %**	

Sources : IN VIVO Environnement – Janvier 2010

MORPHOSCOPIE DE L'ÉCHANTILLON 12G

























Fraction inexistante

10 mm

Fraction inexistante

20 mm



Nom : 12G

Mode : 125 µm

Médiane : 373 µm **Faciès :** Sables moyens

Sources : IN VIVO Environnement – Janvier 2010

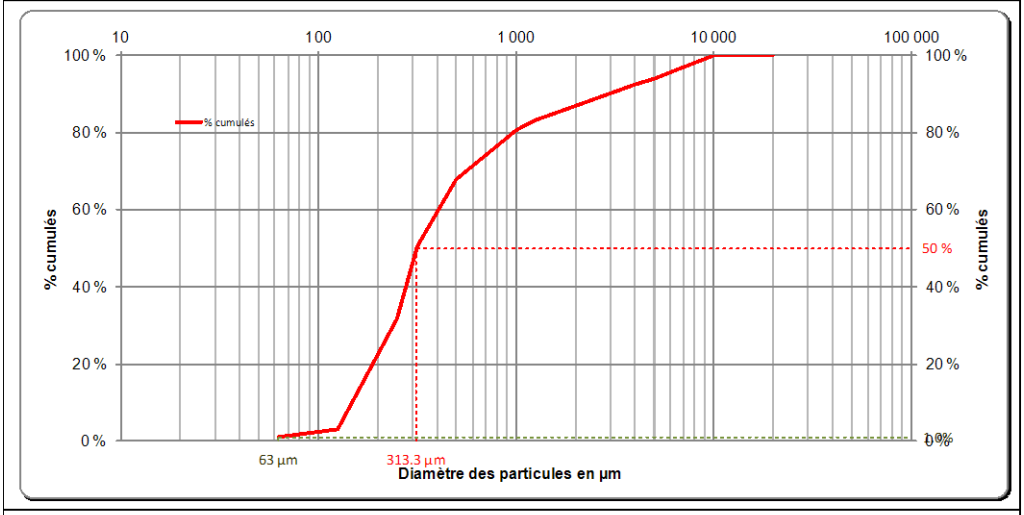
RÉSULTATS DE L'ANALYSE GRANULOMÉTRIQUE POUR L'ECHANTILLON 16B

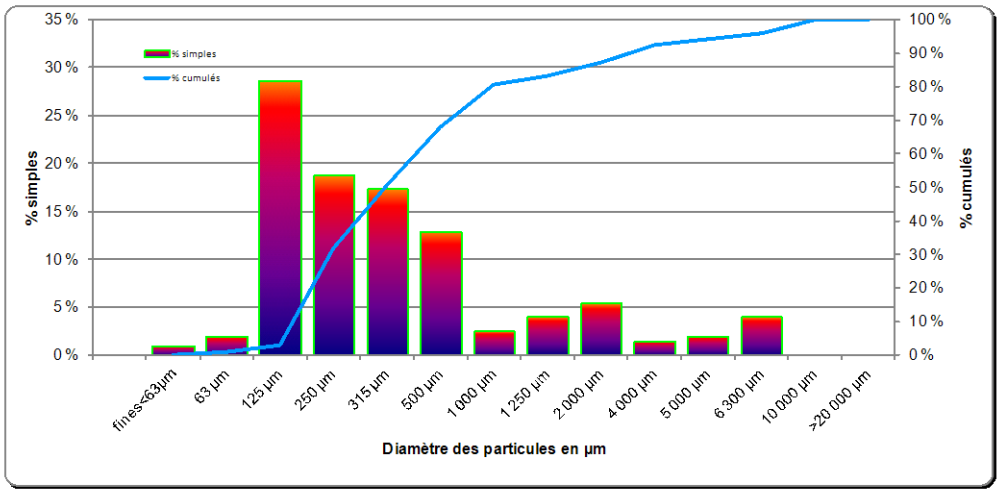
OCCIDENT 2000- PRELEVEMENT DU 30/04/11

Nom de l'échantillon : 16B

Masse totale : 202.00 g

Ouverture du tamis (en µm)	Masses simples (en g)	Masses cumulées (en g)	Fréquence simple en %	Fréquence cumulée en %
fines<63µm	2.00 g	2.00 g	0.99 %	0.00 %
63 µm	4.00 g	6.00 g	1.98 %	0.99 %
125 µm	58.00 g	64.00 g	28.71 %	2.97 %
250 µm	38.00 g	102.00 g	18.81 %	31.68 %
315 µm	35.00 g	137.00 g	17.33 %	50.50 %
500 µm	26.00 g	163.00 g	12.87 %	67.82 %
1 000 µm	5.00 g	168.00 g	2.48 %	80.69 %
1 250 µm	8.00 g	176.00 g	3.96 %	83.17 %
2 000 µm	11.00 g	187.00 g	5.45 %	87.13 %
4 000 µm	3.00 g	190.00 g	1.49 %	92.57 %
5 000 µm	4.00 g	194.00 g	1.98 %	94.06 %
6 300 µm	8.00 g	202.00 g	3.96 %	96.04 %
10 000 µm	0.00 g	202.00 g	0.00 %	100.00 %
>20 000 µm	0.00 g	202.00 g	0.00 %	100.00 %
				100.00 %





Mode (µm)	**125 µm**	**SABLES FINS**
D_{40} (µm)	156 µm	
D_{16} (µm) / ϕ	182 µm / 2.46 Phi	
D_{75} (µm)	221 µm	
Médiane D_{50} (µm)	**313 µm**	**SABLES MOYENS**
D_{75} (µm)	779 µm	
D_{84} (µm) / ϕ	1 408 µm / -0.49 Phi	
D_{95} (µm)	3 055 µm	
Diamètre moyen en ϕ	1.21 Phi	
Ecart-type en unité ϕ (sorting)	1.56 Phi	
Indice d'asymétrie (Skewness)	-0.51	
Indice d'angulosité (Kurtosis)	1.22	
Teneur en fines (diamètre < 63 µm)	0.99 %	

Sources : IN VIVO Environnement – Janvier 2010

MORPHOSCOPIE DE L'ÉCHANTILLON 16B

























Fraction inexistante

10 mm

Fraction inexistante

20 mm



Nom : 16B

Mode : 125 µm

Médiane : 313 µm **Faciès :** Sables moyens

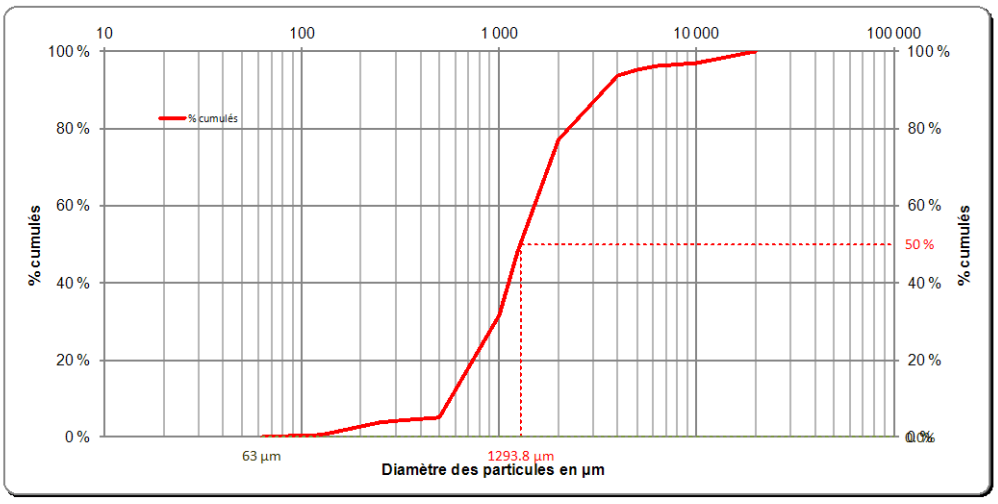
Sources : IN VIVO Environnement – Janvier 2010

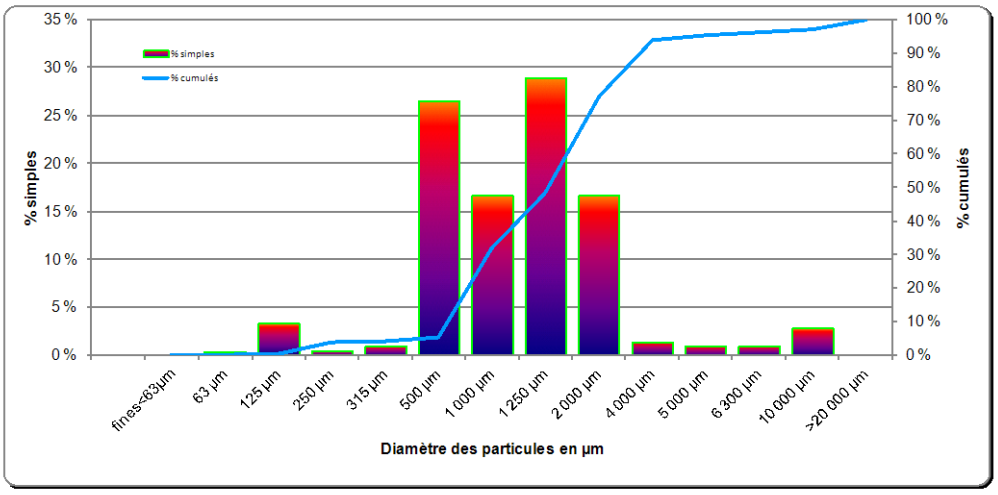
OCCIDENT 2000- PRELEVEMENT DU 30/04/11

Nom de l'échantillon : 17B

Masse totale : 210.88 g

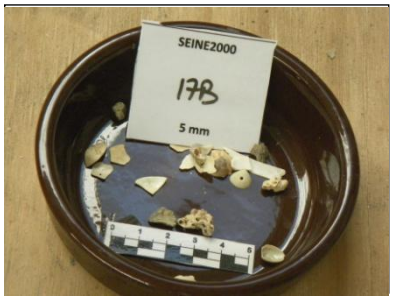
Ouverture du tamis (en µm)	Masses simples (en g)	Masses cumulées (en g)	Fréquence simple en %	Fréquence cumulée en %
fines<63µm	0.08 g	0.08 g	0.04 %	0.00 %
63 µm	0.80 g	0.88 g	0.38 %	0.04 %
125 µm	7.00 g	7.88 g	3.32 %	0.42 %
250 µm	1.00 g	8.88 g	0.47 %	3.74 %
315 µm	2.00 g	10.88 g	0.95 %	4.21 %
500 µm	56.00 g	66.88 g	26.56 %	5.16 %
1 000 µm	35.00 g	101.88 g	16.60 %	31.71 %
1 250 µm	61.00 g	162.88 g	28.93 %	48.31 %
2 000 µm	35.00 g	197.88 g	16.60 %	77.24 %
4 000 µm	3.00 g	200.88 g	1.42 %	93.84 %
5 000 µm	2.00 g	202.88 g	0.95 %	95.26 %
6 300 µm	2.00 g	204.88 g	0.95 %	96.21 %
10 000 µm	6.00 g	210.88 g	2.85 %	97.15 %
>20 000 µm	0.00 g	210.88 g	0.00 %	100.00 %
				100.00 %





Mode (µm)	**1 250 µm**	**SABLES TRES GROSSIERS**
D_{4n} (µm)	591 µm	
D_{16} (µm) / ϕ	704 µm / 0.51 Phi	
D_{2n} (µm)	874 µm	
Médiane D_{50} (µm)	**1 294 µm**	**SABLES TRES GROSSIERS**
D_{75} (µm)	1 942 µm	
D_{84} (µm) / ϕ	2 815 µm / -1.49 Phi	
D_{9n} (µm)	3 538 µm	
Diamètre moyen en ϕ	-0.45 Phi	
Ecart-type en unité ϕ (sorting)	1.01 Phi	
Indice d'asymétrie (Skewness)	-0.13	
Indice d'angulosité (Kurtosis)	1.20	
Teneur en fines (diamètre < 63 µm)	0.04 %	

Sources : IN VIVO Environnement – Janvier 2010

Fraction inexistante <0,063 mm	Fraction inexistante 0,063 mm	Fraction inexistante 0,125 mm	Fraction inexistante 0,250 mm	Fraction inexistante 0,315 mm
				
			Fraction inexistante 20 mm	

Nom : 17B

Mode : 1250 µm

Médiane : 1294 µm **Faciès :** Sables très grossiers

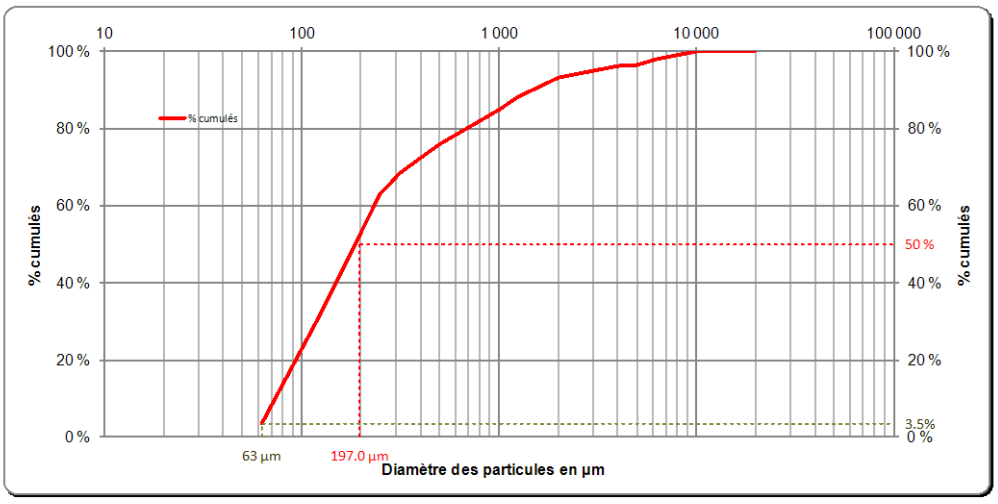
Sources : IN VIVO Environnement – Janvier 2010

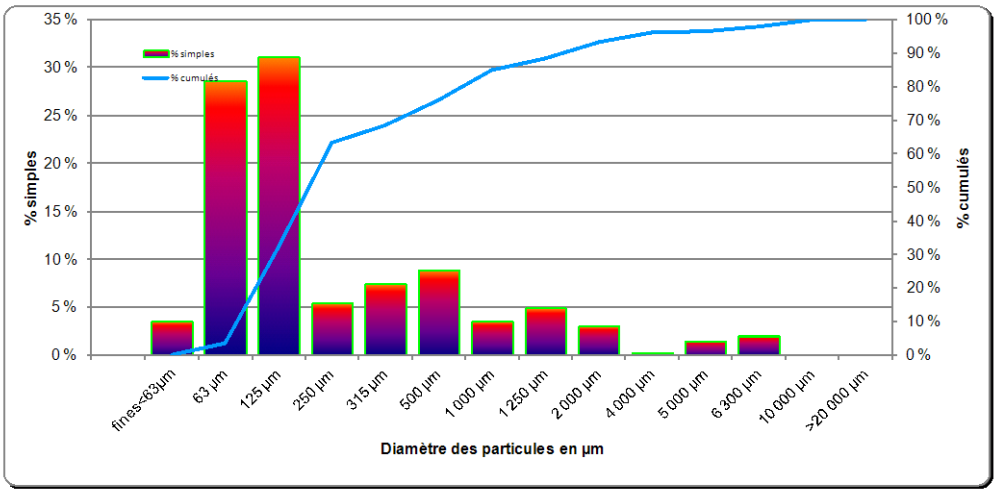
OCCIDENT 2000- PRELEVEMENT DU 30/04/11

Nom de l'échantillon : 18B

Masse totale : 202.60 g

Ouverture du tamis (en µm)	Masses simples (en g)	Masses cumulées (en g)	Fréquence simple en %	Fréquence cumulée en %
fines<63µm	7.00 g	7.00 g	3.46 %	0.00 %
63 µm	58.00 g	65.00 g	28.63 %	3.46 %
125 µm	63.00 g	128.00 g	31.10 %	32.08 %
250 µm	11.00 g	139.00 g	5.43 %	63.18 %
315 µm	15.00 g	154.00 g	7.40 %	68.61 %
500 µm	18.00 g	172.00 g	8.88 %	76.01 %
1 000 µm	7.00 g	179.00 g	3.46 %	84.90 %
1 250 µm	10.00 g	189.00 g	4.94 %	88.35 %
2 000 µm	6.00 g	195.00 g	2.96 %	93.29 %
4 000 µm	0.60 g	195.60 g	0.30 %	96.25 %
5 000 µm	3.00 g	198.60 g	1.48 %	96.54 %
6 300 µm	4.00 g	202.60 g	1.97 %	98.03 %
10 000 µm	0.00 g	202.60 g	0.00 %	100.00 %
>20 000 µm	0.00 g	202.60 g	0.00 %	100.00 %
				100.00 %





Mode (µm)	**125 µm**	**SABLES FINS**
D_{4n} (µm)	77 µm	
D_{16} µm ϕ	90 µm 3.47 Phi	
$D_{>x}$ (µm)	110 µm	
Médiane D_{50} (µm)	**197 µm**	**SABLES FINS**
D_{75} (µm)	475 µm	
D_{84} µm ϕ	950 µm 0.07 Phi	
$D_{>n}$ (µm)	1 501 µm	
Diamètre moyen en ϕ	1.96 Phi	
Ecart-type en unité ϕ (sorting)	1.69 Phi	
Indice d'asymétrie (Skewness)	-0.39	
Indice d'angulosité (Kurtosis)	1.08	
Teneur en fines (diamètre < 63 µm)	3.46 %	

Sources : IN VIVO Environnement – Janvier 2010

MORPHOSCOPIE DE L'ÉCHANTILLON 18B

























Fraction inexistante

10 mm

Fraction inexistante

20 mm



Nom : 18B

Mode : 125 µm

Médiane : 197 µm **Faciès :** Sables fins

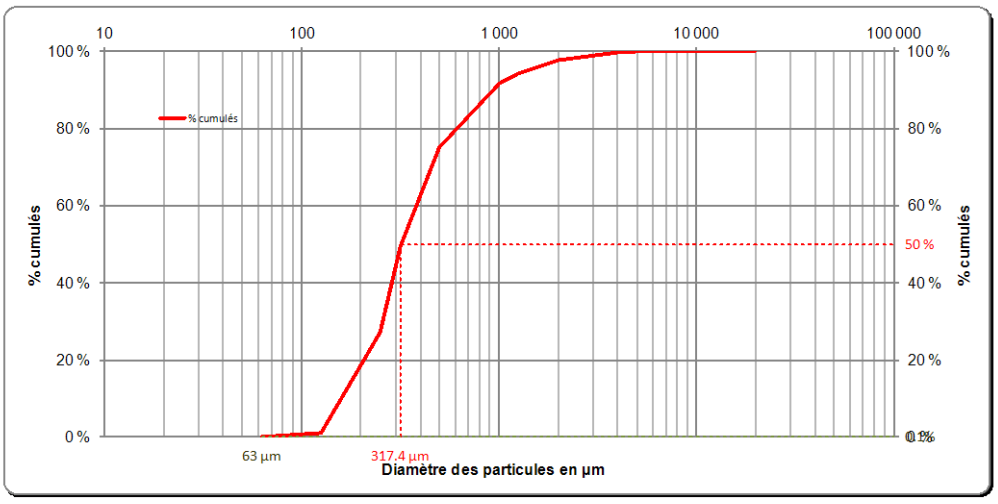
Sources : IN VIVO Environnement – Janvier 2010

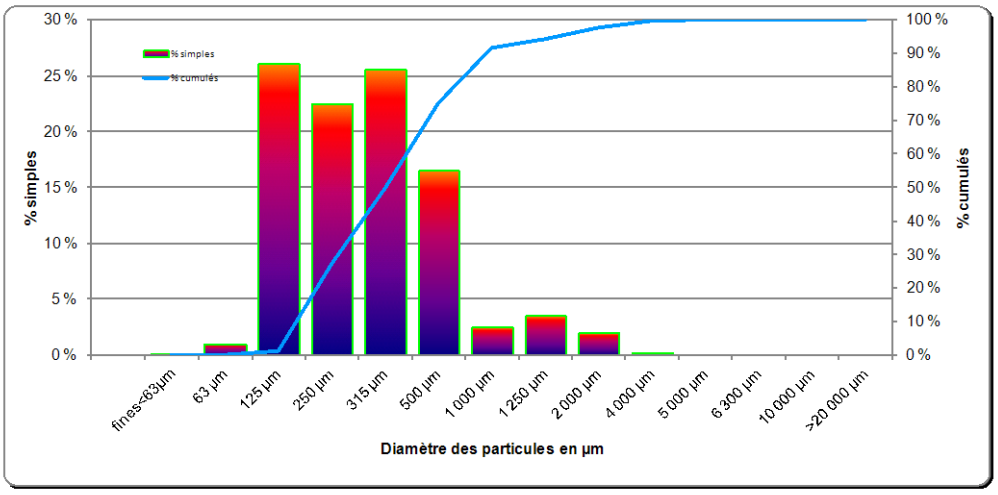
OCCIDENT 2000- PRELEVEMENT DU 30/04/11

Nom de l'échantillon : 21G

Masse totale : 199.70 g

Ouverture du tamis (en µm)	Masses simples (en g)	Masses cumulées (en g)	Fréquence simple en %	Fréquence cumulée en %
fines<63µm	0.20 g	0.20 g	0.10 %	0.00 %
63 µm	2.00 g	2.20 g	1.00 %	0.10 %
125 µm	52.00 g	54.20 g	26.04 %	1.10 %
250 µm	45.00 g	99.20 g	22.53 %	27.14 %
315 µm	51.00 g	150.20 g	25.54 %	49.67 %
500 µm	33.00 g	183.20 g	16.52 %	75.21 %
1 000 µm	5.00 g	188.20 g	2.50 %	91.74 %
1 250 µm	7.00 g	195.20 g	3.51 %	94.24 %
2 000 µm	4.00 g	199.20 g	2.00 %	97.75 %
4 000 µm	0.50 g	199.70 g	0.25 %	99.75 %
5 000 µm	0.00 g	199.70 g	0.00 %	100.00 %
6 300 µm	0.00 g	199.70 g	0.00 %	100.00 %
10 000 µm	0.00 g	199.70 g	0.00 %	100.00 %
>20 000 µm	0.00 g	199.70 g	0.00 %	100.00 %
				100.00 %





Mode (µm)	**125 µm**	**SABLES FINS**
D_{4n} (µm)	168 µm	
D_{16} µm ϕ	197 µm 2.35 Phi	
D_{2n} (µm)	240 µm	
Médiane D_{50} (µm)	**317 µm**	**SABLES MOYENS**
D_{75} (µm)	498 µm	
D_{84} µm ϕ	766 µm 0.38 Phi	
D_{9n} (µm)	947 µm	
Diamètre moyen en ϕ	1.46 Phi	
Ecart-type en unité ϕ (sorting)	0.99 Phi	
Indice d'asymétrie (Skewness)	-0.30	
Indice d'angulosité (Kurtosis)	1.28	
Teneur en fines (diamètre < 63 µm)	**0.10 %**	

Sources : IN VIVO Environnement – Janvier 2010

MORPHOSCOPIE DE L'ÉCHANTILLON 21G





















Fraction inexistante 5 mm	Fraction inexistante 6,3 mm	Fraction inexistante 10 mm	Fraction inexistante 20 mm	

Nom : 21G

Mode : 125 µm

Médiane : 317 µm **Faciès :** sables moyens

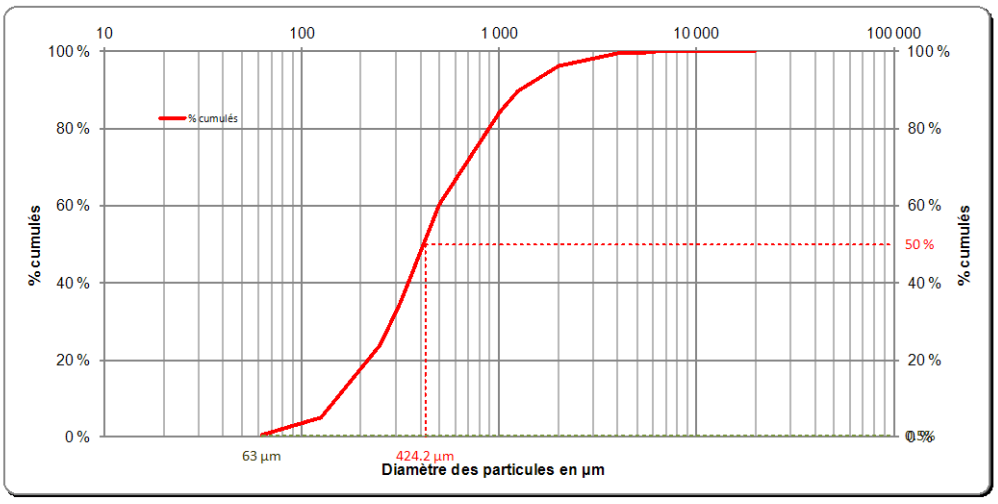
Sources : IN VIVO Environnement – Janvier 2010

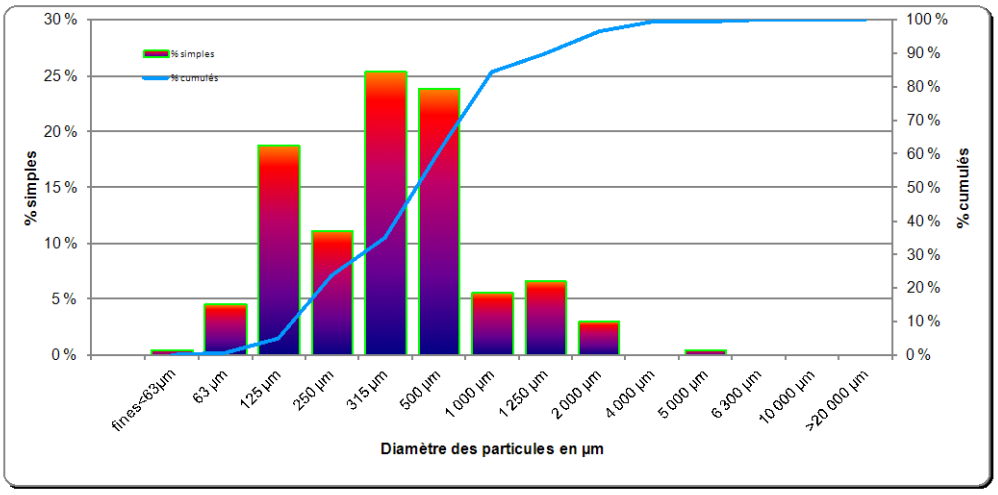
OCCIDENT 2000- PRELEVEMENT DU 30/04/11

Nom de l'échantillon : 23B

Masse totale : 197.00 g

Ouverture du tamis (en µm)	Masses simples (en g)	Masses cumulées (en g)	Fréquence simple en %	Fréquence cumulée en %
fines<63µm	1.00 g	1.00 g	0.51 %	0.00 %
63 µm	9.00 g	10.00 g	4.57 %	0.51 %
125 µm	37.00 g	47.00 g	18.78 %	5.08 %
250 µm	22.00 g	69.00 g	11.17 %	23.86 %
315 µm	50.00 g	119.00 g	25.38 %	35.03 %
500 µm	47.00 g	166.00 g	23.86 %	60.41 %
1 000 µm	11.00 g	177.00 g	5.58 %	84.26 %
1 250 µm	13.00 g	190.00 g	6.60 %	89.85 %
2 000 µm	6.00 g	196.00 g	3.05 %	96.45 %
4 000 µm	0.00 g	196.00 g	0.00 %	99.49 %
5 000 µm	1.00 g	197.00 g	0.51 %	99.49 %
6 300 µm	0.00 g	197.00 g	0.00 %	100.00 %
10 000 µm	0.00 g	197.00 g	0.00 %	100.00 %
>20 000 µm	0.00 g	197.00 g	0.00 %	100.00 %
				100.00 %





Mode (µm)	**315 µm**	**SABLES MOYENS**
D_{4n} (µm)	158 µm	
D_{16} µm ϕ	198 µm 2.34 Phi	
D_{2n} (µm)	257 µm	
Médiane D_{50} (µm)	**424 µm**	**SABLES MOYENS**
D_{75} (µm)	806 µm	
D_{84} µm ϕ	994 µm 0.01 Phi	
D_{9n} (µm)	1 267 µm	
Diamètre moyen en ϕ	1.19 Phi	
Ecart-type en unité ϕ (sorting)	1.17 Phi	
Indice d'asymétrie (Skewness)	-0.07	
Indice d'angulosité (Kurtosis)	0.97	
Teneur en fines (diamètre < 63 µm)	**0.51 %**	

Sources : IN VIVO Environnement – Janvier 2010



















Fraction inexistante

4 mm



Fraction inexistante

6,3 mm

Fraction inexistante

10 mm

Fraction inexistante

20 mm



Nom : 23B

Mode : 315 µm

Médiane : 424 µm

Faciès : Sables moyens

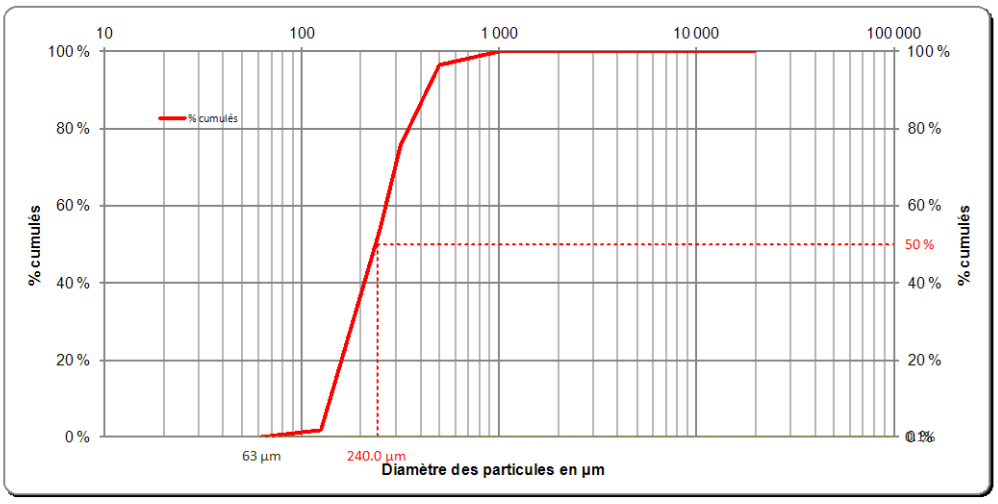
Sources : IN VIVO Environnement – Janvier 2010

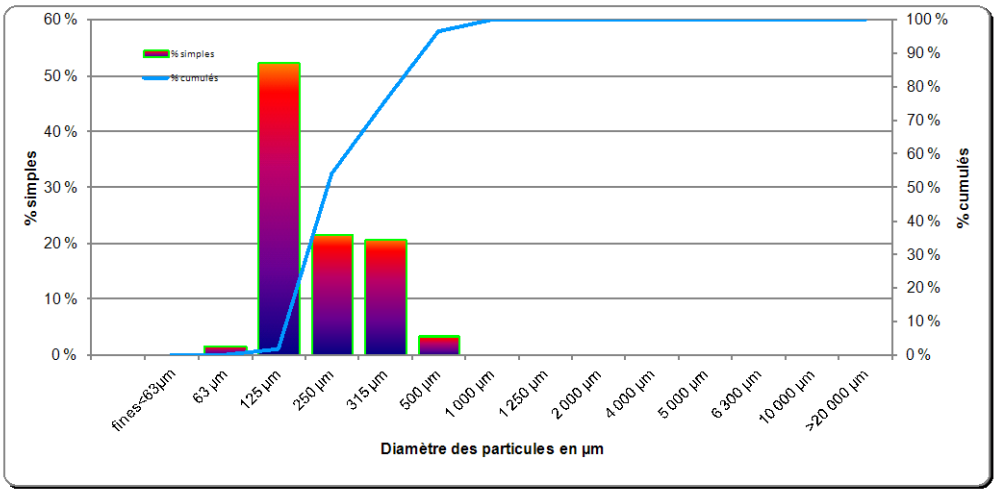
OCCIDENT 2000- PRELEVEMENT DU 01/05/11

Nom de l'échantillon : 25G

Masse totale : 231.30 g

Ouverture du tamis (en µm)	Masses simples (en g)	Masses cumulées (en g)	Fréquence simple en %	Fréquence cumulée en %
fines<63µm	0.30 g	0.30 g	0.13 %	0.00 %
63 µm	4.00 g	4.30 g	1.73 %	0.13 %
125 µm	121.00 g	125.30 g	52.31 %	1.86 %
250 µm	50.00 g	175.30 g	21.62 %	54.17 %
315 µm	48.00 g	223.30 g	20.75 %	75.79 %
500 µm	8.00 g	231.30 g	3.46 %	96.54 %
1 000 µm	0.00 g	231.30 g	0.00 %	100.00 %
1 250 µm	0.00 g	231.30 g	0.00 %	100.00 %
2 000 µm	0.00 g	231.30 g	0.00 %	100.00 %
4 000 µm	0.00 g	231.30 g	0.00 %	100.00 %
5 000 µm	0.00 g	231.30 g	0.00 %	100.00 %
6 300 µm	0.00 g	231.30 g	0.00 %	100.00 %
10 000 µm	0.00 g	231.30 g	0.00 %	100.00 %
>20 000 µm	0.00 g	231.30 g	0.00 %	100.00 %
				100.00 %



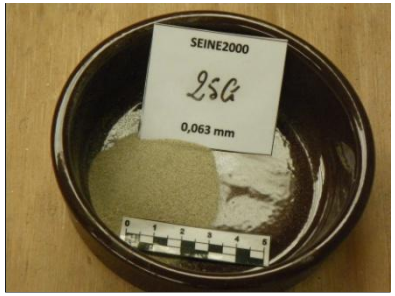


Mode (µm)	**125 µm**	**SABLES FINS**
D_{41} (µm)	144 µm	
D_{16} µm ϕ	159 µm 2.65 Phi	
$D_{>c}$ (µm)	180 µm	
Médiane D_{50} (µm)	**240 µm**	**SABLES FINS**
D_{75} (µm)	313 µm	
D_{84} µm ϕ	388 µm 1.37 Phi	
D_{95} (µm)	442 µm	
Diamètre moyen en ϕ	2.03 Phi	
Ecart-type en unité ϕ (sorting)	0.61 Phi	
Indice d'asymétrie (Skewness)	-0.08	
Indice d'angulosité (Kurtosis)	0.97	
Teneur en fines (diamètre < 63 µm)	**0.13 %**	

Sources : IN VIVO Environnement – Janvier 2010

MORPHOSCOPIE DE L'ÉCHANTILLON 25G

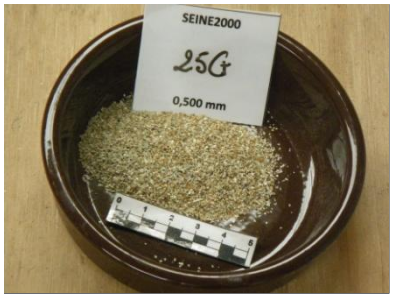












Fraction inexistante 1 mm	Fraction inexistante 1,25 mm	Fraction inexistante 2 mm	Fraction inexistante 4 mm
Fraction inexistante 5 mm	Fraction inexistante 6,3 mm	Fraction inexistante 10 mm	Fraction inexistante 20 mm



Nom : 25G

Mode : 125 µm

Médiane : 240 µm

Faciès : Sables fins

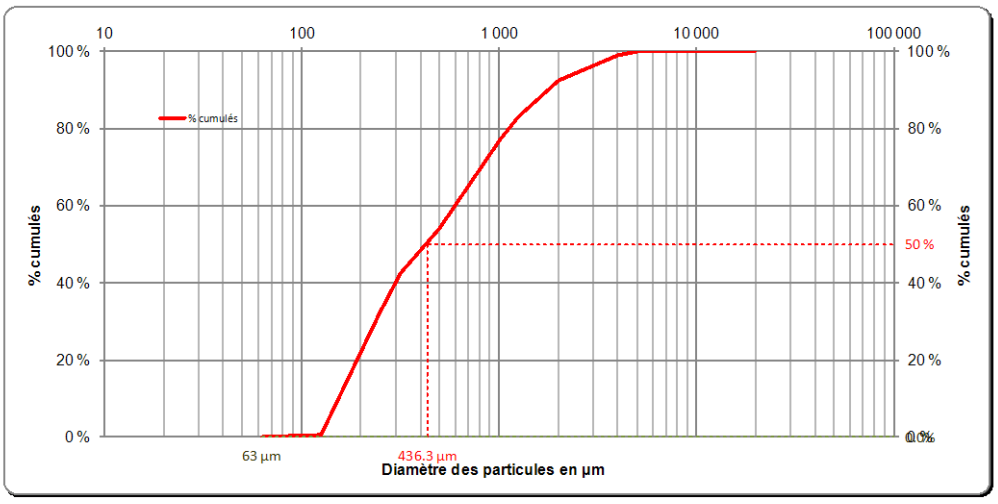
Sources : IN VIVO Environnement – Janvier 2010

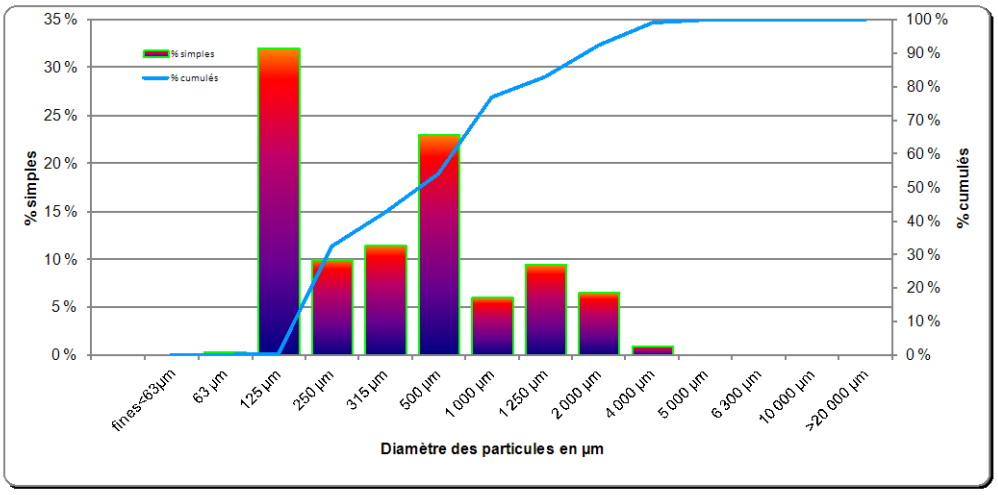
OCCIDENT 2000- PRELEVEMENT DU 19/05/11

Nom de l'échantillon : 26G

Masse totale : 199.84 g

Ouverture du tamis (en µm)	Masses simples (en g)	Masses cumulées (en g)	Fréquence simple en %	Fréquence cumulée en %
fines<63µm	0.07 g	0.07 g	0.04 %	0.00 %
63 µm	0.77 g	0.84 g	0.39 %	0.04 %
125 µm	64.00 g	64.84 g	32.03 %	0.42 %
250 µm	20.00 g	84.84 g	10.01 %	32.45 %
315 µm	23.00 g	107.84 g	11.51 %	42.45 %
500 µm	46.00 g	153.84 g	23.02 %	53.96 %
1 000 µm	12.00 g	165.84 g	6.00 %	76.98 %
1 250 µm	19.00 g	184.84 g	9.51 %	82.99 %
2 000 µm	13.00 g	197.84 g	6.51 %	92.49 %
4 000 µm	2.00 g	199.84 g	1.00 %	99.00 %
5 000 µm	0.00 g	199.84 g	0.00 %	100.00 %
6 300 µm	0.00 g	199.84 g	0.00 %	100.00 %
10 000 µm	0.00 g	199.84 g	0.00 %	100.00 %
>20 000 µm	0.00 g	199.84 g	0.00 %	100.00 %
				100.00 %





Mode (µm)	**125 µm**	**SABLES FINS**
D_{4n} (µm)	162 µm	
D_{16} µm / ϕ	186 µm / 2.43 Phi	
D_{2n} (µm)	221 µm	
Médiane D_{50} (µm)	**436 µm**	**SABLES MOYENS**
D_{75} (µm)	957 µm	
D_{84} µm / ϕ	1 330 µm / -0.41 Phi	
D_{9n} (µm)	1 803 µm	
Diamètre moyen en ϕ	1.07 Phi	
Ecart-type en unité ϕ (sorting)	1.36 Phi	
Indice d'asymétrie (Skewness)	-0.19	
Indice d'angulosité (Kurtosis)	0.83	
Teneur en fines (diamètre < 63 µm)	**0.04 %**	

Sources : IN VIVO Environnement – Janvier 2010





















Fraction inexistante 5 mm	Fraction inexistante 6,3 mm	Fraction inexistante 10 mm	Fraction inexistante 20 mm	

Nom : 26G

Mode : 125 µm

Médiane : 436 µm

Faciès : Sables moyens

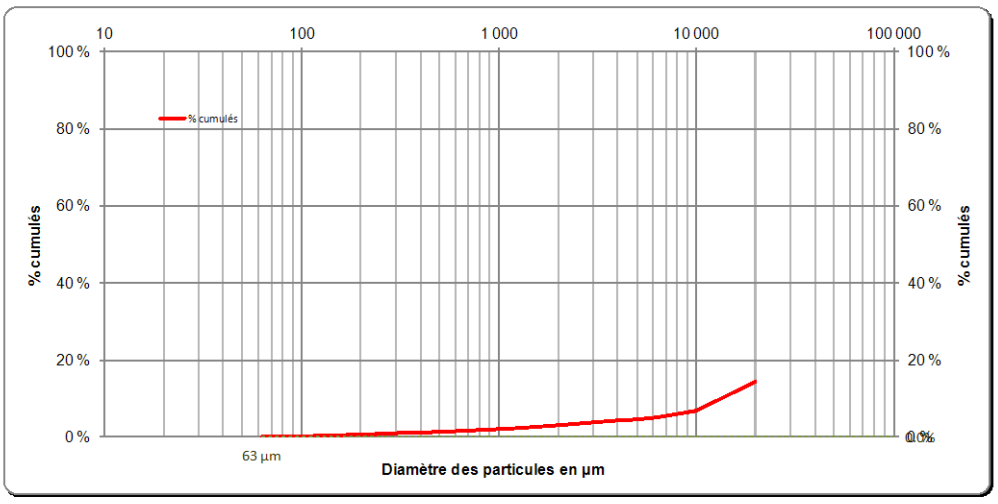
Sources : IN VIVO Environnement – Janvier 2010

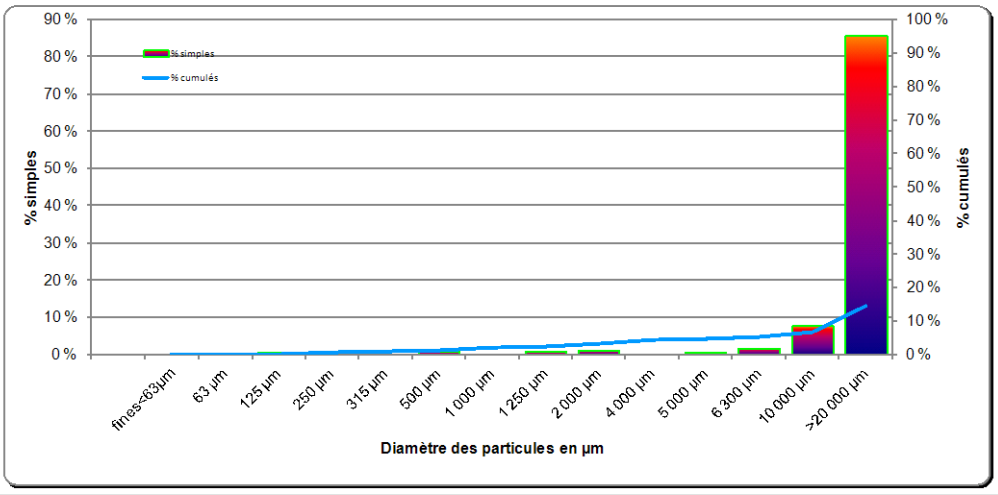
OCCIDENT 2000- PRELEVEMENT DU 30/04/11

Nom de l'échantillon : 27G

Masse totale : 355.21 g

Ouverture du tamis (en µm)	Masses simples (en g)	Masses cumulées (en g)	Fréquence simple en %	Fréquence cumulée en %
fines<63µm	0.13 g	0.13 g	0.04 %	0.00 %
63 µm	0.38 g	0.51 g	0.11 %	0.04 %
125 µm	2.00 g	2.51 g	0.56 %	0.14 %
250 µm	0.70 g	3.21 g	0.20 %	0.71 %
315 µm	1.00 g	4.21 g	0.28 %	0.90 %
500 µm	3.00 g	7.21 g	0.84 %	1.19 %
1 000 µm	1.00 g	8.21 g	0.28 %	2.03 %
1 250 µm	3.00 g	11.21 g	0.84 %	2.31 %
2 000 µm	4.00 g	15.21 g	1.13 %	3.16 %
4 000 µm	1.00 g	16.21 g	0.28 %	4.28 %
5 000 µm	2.00 g	18.21 g	0.56 %	4.56 %
6 300 µm	6.00 g	24.21 g	1.69 %	5.13 %
10 000 µm	27.00 g	51.21 g	7.60 %	6.82 %
>20 000 µm	304.00 g	355.21 g	85.58 %	14.42 %
				100.00 %





Mode (µm)	**> 20 000**	**GRAVIERS**
D_{4h} (µm)	14 189 µm	
D_{10} (µm)	> 20 000 µm	
D_{2K} (µm)	> 20 000 µm	
Médiane D_{50} (µm)	**> 20 000**	**GRAVIERS**
D_{7h} (µm)	> 20 000 µm	
D_{84} (µm)	> 20 000 µm	
D_{90} (µm)	> 20 000 µm	
Diamètre moyen en ϕ	–	
Ecart-type en unité ϕ (sorting)	–	
Indice d'asymétrie (Skewness)	–	
Indice d'angulosité (Kurtosis)	–	
Teneur en fines (diamètre < 63 µm)	0.04 %	

Sources : IN VIVO Environnement – Janvier 2010

Morphoscopie de l'échantillon 27G































Nom : 27G

Mode : > 20 000 µm

Médiane : > 20 000 µm **Faciès :** graviers

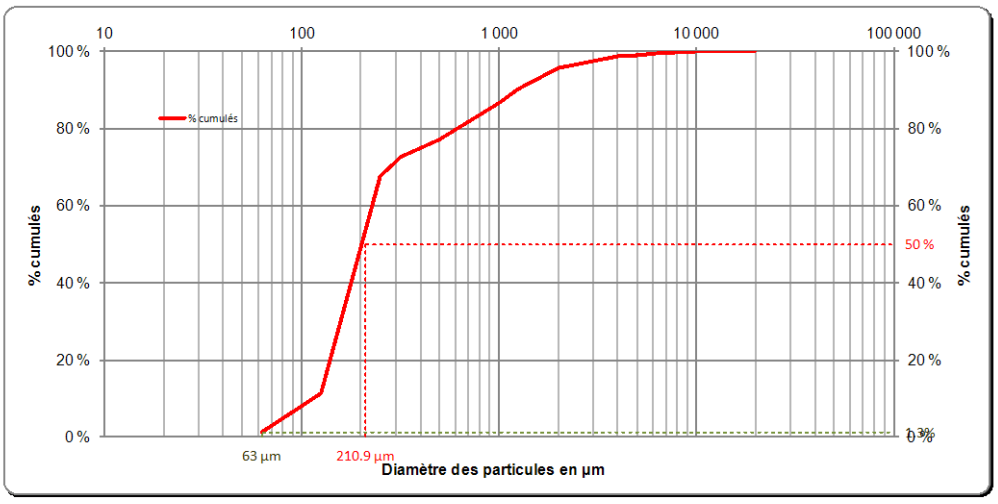
Sources : IN VIVO Environnement – Janvier 2010

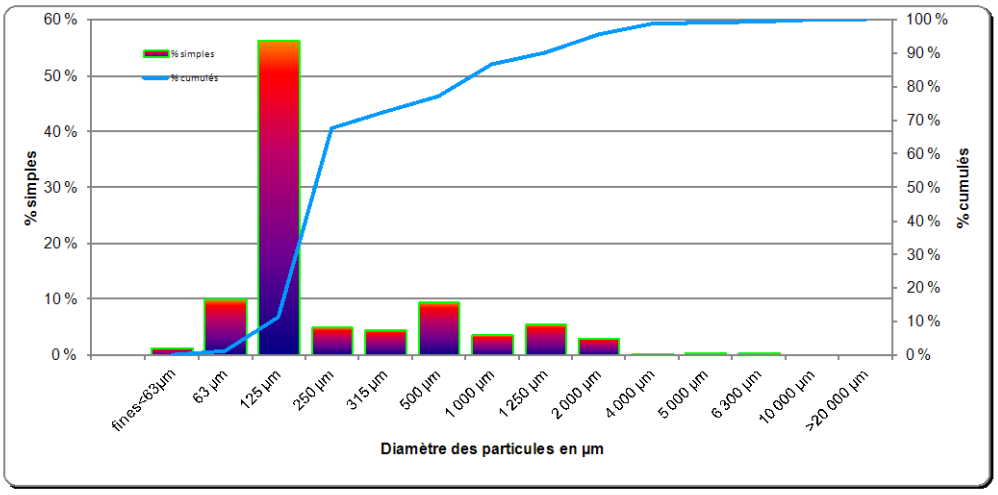
OCCIDENT 2000- PRELEVEMENT DU 30/04/11

Nom de l'échantillon : 28G

Masse totale : 198.90 g

Ouverture du tamis (en µm)	Masses simples (en g)	Masses cumulées (en g)	Fréquence simple en %	Fréquence cumulée en %
fines<63µm	2.50 g	2.50 g	1.26 %	0.00 %
63 µm	20.00 g	22.50 g	10.06 %	1.26 %
125 µm	112.00 g	134.50 g	56.31 %	11.31 %
250 µm	10.00 g	144.50 g	5.03 %	67.62 %
315 µm	9.00 g	153.50 g	4.52 %	72.65 %
500 µm	19.00 g	172.50 g	9.55 %	77.17 %
1 000 µm	7.00 g	179.50 g	3.52 %	86.73 %
1 250 µm	11.00 g	190.50 g	5.53 %	90.25 %
2 000 µm	6.00 g	196.50 g	3.02 %	95.78 %
4 000 µm	0.50 g	197.00 g	0.25 %	98.79 %
5 000 µm	0.90 g	197.90 g	0.45 %	99.04 %
6 300 µm	1.00 g	198.90 g	0.50 %	99.50 %
10 000 µm	0.00 g	198.90 g	0.00 %	100.00 %
>20 000 µm	0.00 g	198.90 g	0.00 %	100.00 %
				100.00 %





Mode (µm)	**125 µm**	**SABLES FINS**
D_{4n} (µm)	117 µm	
D_{16} µm ϕ	135 µm 2.88 Phi	
$D_{>x}$ (µm)	155 µm	
Médiane D_{50} (µm)	**211 µm**	**SABLES FINS**
D_{75} (µm)	411 µm	
D_{84} µm ϕ	857 µm 0.22 Phi	
$D_{>x}$ (µm)	1 233 µm	
Diamètre moyen en ϕ	1.78 Phi	
Ecart-type en unité ϕ (sorting)	1.34 Phi	
Indice d'asymétrie (Skewness)	-0.47	
Indice d'angulosité (Kurtosis)	1.30	
Teneur en fines (diamètre < 63 µm)	1.26 %	

Sources : IN VIVO Environnement – Janvier 2010

MORPHOSCOPIE DE L'ÉCHANTILLON 28G

























Fraction inexistante

10 mm

Fraction inexistante

20 mm



Nom : 28G

Mode : 125 µm

Médiane : 211 µm

Faciès : Sables fins

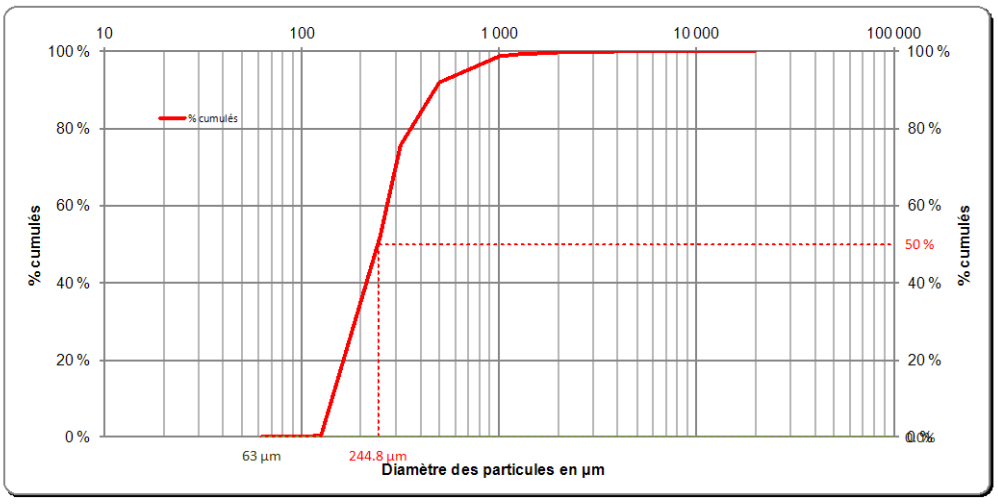
Sources : IN VIVO Environnement – Janvier 2010

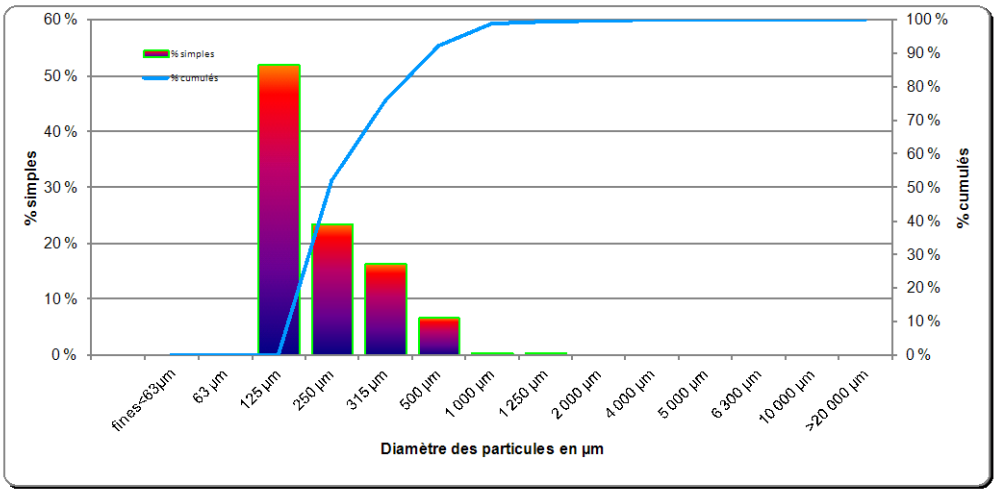
OCCIDENT 2000- PRELEVEMENT DU 01/05/11

Nom de l'échantillon : 29B

Masse totale : 207.70 g

Ouverture du tamis (en µm)	Masses simples (en g)	Masses cumulées (en g)	Fréquence simple en %	Fréquence cumulée en %
fines<63µm	0.00 g	0.00 g	0.00 %	0.00 %
63 µm	0.30 g	0.30 g	0.14 %	0.00 %
125 µm	108.00 g	108.30 g	52.00 %	0.14 %
250 µm	49.00 g	157.30 g	23.59 %	52.14 %
315 µm	34.00 g	191.30 g	16.37 %	75.73 %
500 µm	14.00 g	205.30 g	6.74 %	92.10 %
1 000 µm	1.00 g	206.30 g	0.48 %	98.84 %
1 250 µm	1.00 g	207.30 g	0.48 %	99.33 %
2 000 µm	0.40 g	207.70 g	0.19 %	99.81 %
4 000 µm	0.00 g	207.70 g	0.00 %	100.00 %
5 000 µm	0.00 g	207.70 g	0.00 %	100.00 %
6 300 µm	0.00 g	207.70 g	0.00 %	100.00 %
10 000 µm	0.00 g	207.70 g	0.00 %	100.00 %
>20 000 µm	0.00 g	207.70 g	0.00 %	100.00 %
				100.00 %





Mode (µm)	**125 µm**	**SABLES FINS**
D_{4n} (µm)	149 µm	
D_{16} µm ϕ	163 µm 2.62 Phi	
$D_{>x}$ (µm)	185 µm	
Médiane D_{50} (µm)	**245 µm**	**SABLES FINS**
D_{75} (µm)	313 µm	
D_{84} µm ϕ	408 µm 1.29 Phi	
D_{xn} (µm)	476 µm	
Diamètre moyen en ϕ	1.98 Phi	
Ecart-type en unité ϕ (sorting)	0.69 Phi	
Indice d'asymétrie (Skewness)	-0.21	
Indice d'angulosité (Kurtosis)	1.29	
Teneur en fines (diamètre < 63 µm)	**0.00 %**	

Sources : IN VIVO Environnement – Janvier 2010

MORPHOSCOPIE DE L'ÉCHANTILLON 29B

Fraction inexistante

<0,063 mm

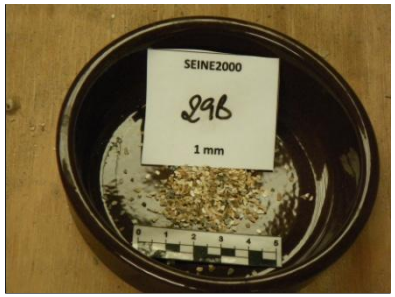




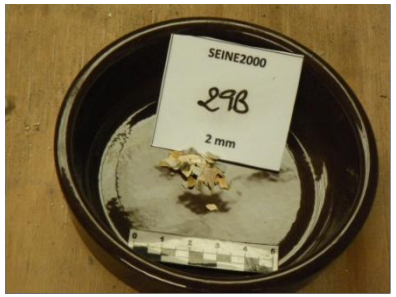












Fraction inexistante

4 mm

Fraction inexistante

5 mm

Fraction inexistante

6,3 mm

Fraction inexistante

10 mm

Fraction inexistante

20 mm



Nom : 29B

Mode : 125 µm

Médiane : 245 µm

Faciès : Sables fins

Sources : IN VIVO Environnement – Janvier 2010

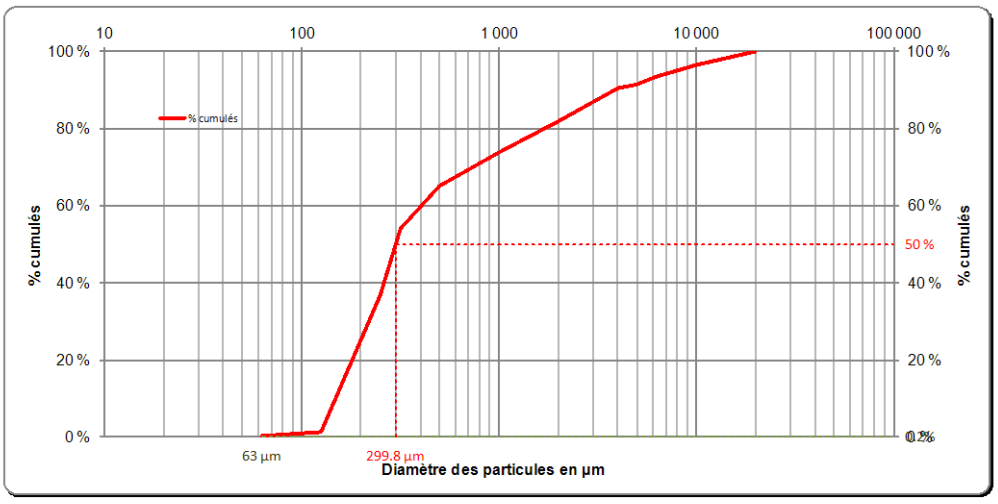
RÉSULTATS DE L'ANALYSE GRANULOMÉTRIQUE POUR L'ECHANTILLON 32B

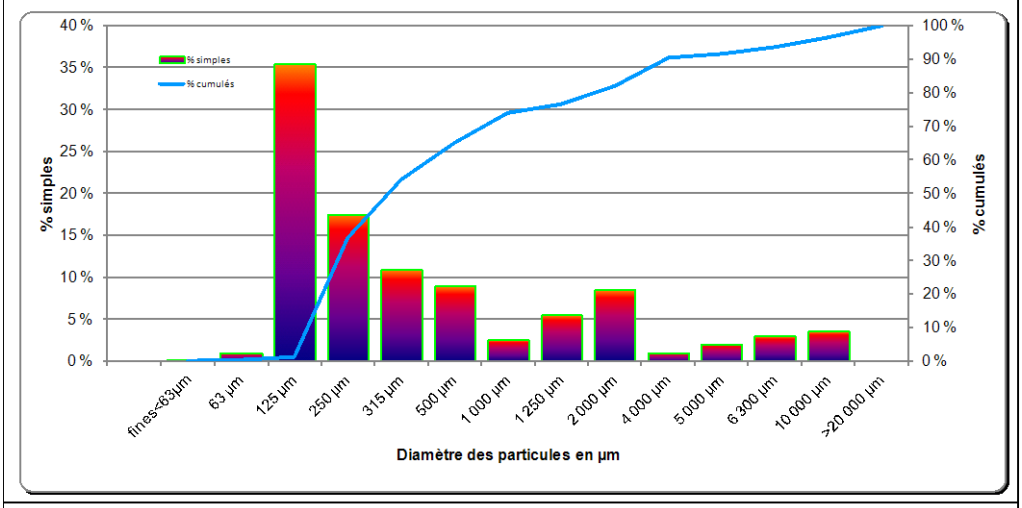
OCCIDENT 2000- PRELEVEMENT DU 19/05/11

Nom de l'échantillon : 32B

Masse totale : 200.40 g

Ouverture du tamis (en µm)	Masses simples (en g)	Masses cumulées (en g)	Fréquence simple en %	Fréquence cumulée en %
fines<63µm	0.40 g	0.40 g	0.20 %	0.00 %
63 µm	2.00 g	2.40 g	1.00 %	0.20 %
125 µm	71.00 g	73.40 g	35.43 %	1.20 %
250 µm	35.00 g	108.40 g	17.47 %	36.63 %
315 µm	22.00 g	130.40 g	10.98 %	54.09 %
500 µm	18.00 g	148.40 g	8.98 %	65.07 %
1 000 µm	5.00 g	153.40 g	2.50 %	74.05 %
1 250 µm	11.00 g	164.40 g	5.49 %	76.55 %
2 000 µm	17.00 g	181.40 g	8.48 %	82.04 %
4 000 µm	2.00 g	183.40 g	1.00 %	90.52 %
5 000 µm	4.00 g	187.40 g	2.00 %	91.52 %
6 300 µm	6.00 g	193.40 g	2.99 %	93.51 %
10 000 µm	7.00 g	200.40 g	3.49 %	96.51 %
>20 000 µm	0.00 g	200.40 g	0.00 %	100.00 %
				100.00 %

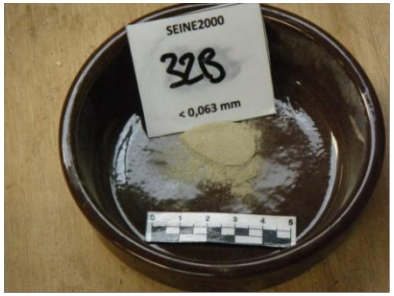


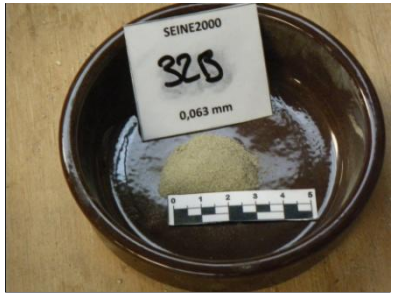


Mode (µm)	**125 µm**	**SABLES FINS**
D_{4n} (µm)	156 µm	
D_{16} µm ϕ	177 µm 2.50 Phi	
$D_{>c}$ (µm)	209 µm	
Médiane D_{50} (µm)	**300 µm**	**SABLES MOYENS**
D_{75} (µm)	1 095 µm	
D_{84} µm ϕ	2 463 µm -1.30 Phi	
$D_{>n}$ (µm)	3 878 µm	
Diamètre moyen en ϕ	0.98 Phi	
Ecart-type en unité ϕ (sorting)	1.84 Phi	
Indice d'asymétrie (Skewness)	-0.61	
Indice d'angulosité (Kurtosis)	1.01	
Teneur en fines (diamètre < 63 µm)	0.20 %	

Sources : IN VIVO Environnement – Janvier 2010

MORPHOSCOPIE DE L'ÉCHANTILLON 32B



























Fraction inexistante

20 mm



Nom : 32B

Mode : 125 µm

Médiane : 245 µm **Faciès :** Sables fins

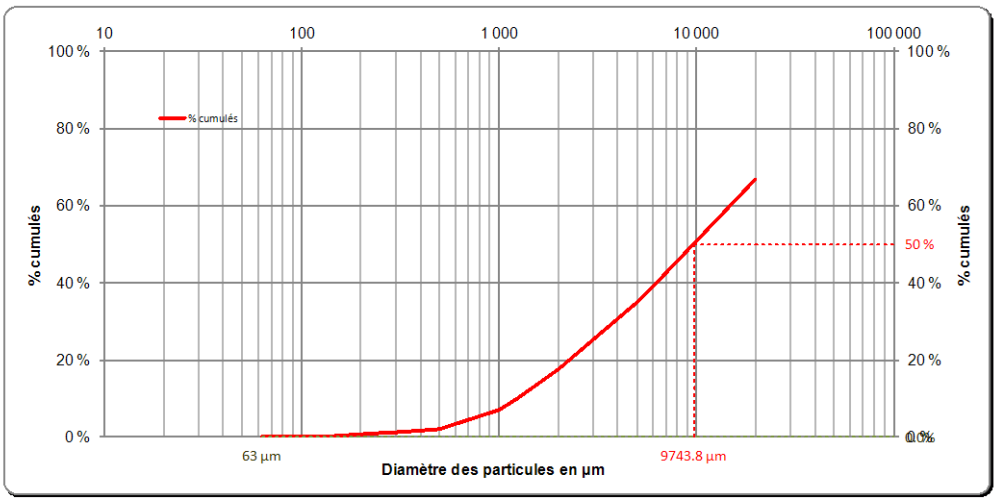
Sources : IN VIVO Environnement – Janvier 2010

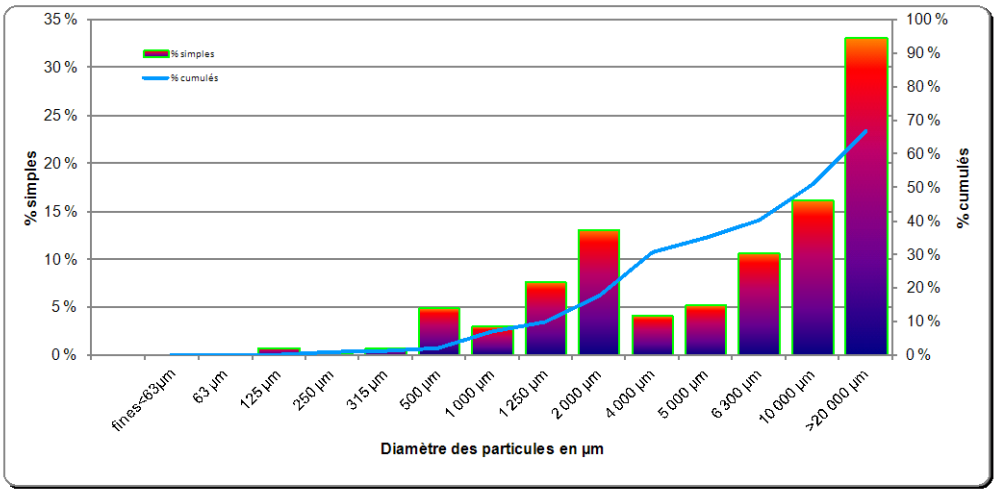
OCCIDENT 2000- PRELEVEMENT DU 30/04/11

Nom de l'échantillon : 34B

Masse totale : 365.40 g

Ouverture du tamis (en µm)	Masses simples (en g)	Masses cumulées (en g)	Fréquence simple en %	Fréquence cumulée en %
fines<63µm	0.00 g	0.00 g	0.00 %	0.00 %
63 µm	0.40 g	0.40 g	0.11 %	0.00 %
125 µm	3.00 g	3.40 g	0.82 %	0.11 %
250 µm	1.00 g	4.40 g	0.27 %	0.93 %
315 µm	3.00 g	7.40 g	0.82 %	1.20 %
500 µm	18.00 g	25.40 g	4.93 %	2.03 %
1 000 µm	11.00 g	36.40 g	3.01 %	6.95 %
1 250 µm	28.00 g	64.40 g	7.66 %	9.96 %
2 000 µm	48.00 g	112.40 g	13.14 %	17.62 %
4 000 µm	15.00 g	127.40 g	4.11 %	30.76 %
5 000 µm	19.00 g	146.40 g	5.20 %	34.87 %
6 300 µm	39.00 g	185.40 g	10.67 %	40.07 %
10 000 µm	59.00 g	244.40 g	16.15 %	50.74 %
>20 000 µm	121.00 g	365.40 g	33.11 %	66.89 %
				100.00 %





Mode (µm)	**10 000 µm**	**GRAVIERS**
D_{4n} (µm)	1 254 µm	
D_{16} µm ϕ	1 841 µm	
	-0.88 Phi	
$D_{>x}$ (µm)	3 123 µm	
Médiane D_{50} (µm)	**9 744 µm**	**GRAVIERS**
D_{75} (µm)	> 10 000	
D_{84} µm ϕ	> 10 000	
	–	
$D_{>n}$ (µm)	> 10 000	
Diamètre moyen en ϕ	–	
Ecart-type en unité ϕ (sorting)	–	
Indice d'asymétrie (Skewness)	–	
Indice d'angulosité (Kurtosis)	–	
Teneur en fines (diamètre < 63 µm)	0.00 %	

Sources : IN VIVO Environnement – Janvier 2010

MORPHOSCOPIE DE L'ÉCHANTILLON 34B

Fraction inexistante

<0,063 mm





























Nom : 34B

Mode : > 20 000 µm

Médiane : 9744 µm **Faciès :** graviers

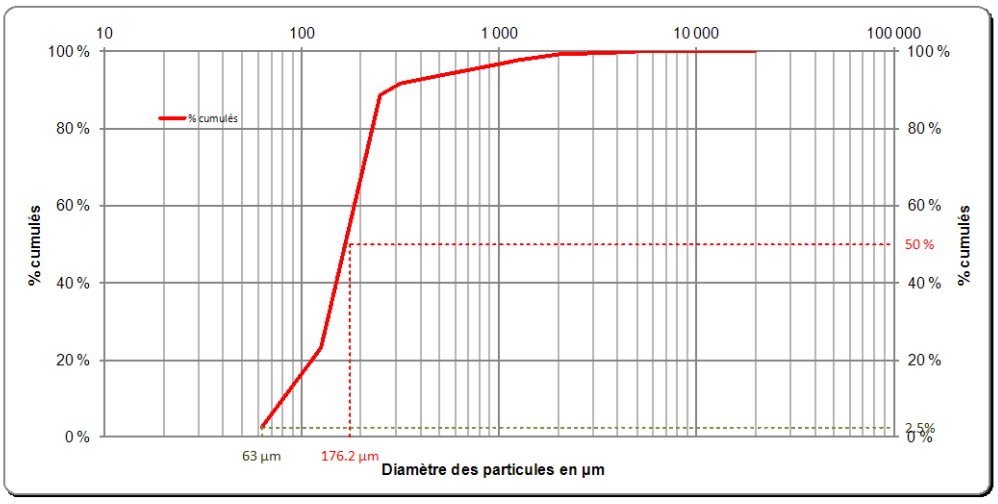
Sources : IN VIVO Environnement – Janvier 2010

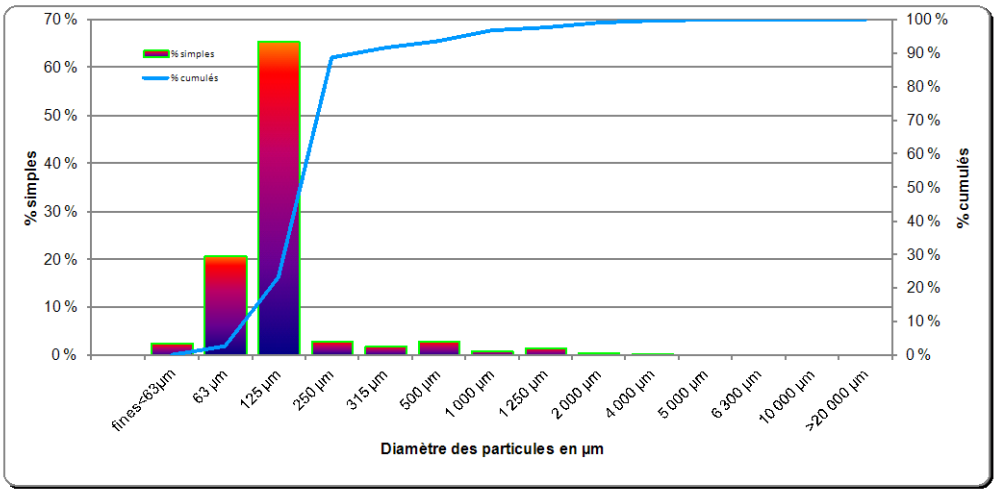
OCCIDENT 2000- PRELEVEMENT DU 30/04/11

Nom de l'échantillon : 37B

Masse totale : 198.50 g

Ouverture du tamis (en µm)	Masses simples (en g)	Masses cumulées (en g)	Fréquence simple en %	Fréquence cumulée en %
fines<63µm	5.00 g	5.00 g	2.52 %	0.00 %
63 µm	41.00 g	46.00 g	20.65 %	2.52 %
125 µm	130.00 g	176.00 g	65.49 %	23.17 %
250 µm	6.00 g	182.00 g	3.02 %	88.66 %
315 µm	4.00 g	186.00 g	2.02 %	91.69 %
500 µm	6.00 g	192.00 g	3.02 %	93.70 %
1 000 µm	2.00 g	194.00 g	1.01 %	96.73 %
1 250 µm	3.00 g	197.00 g	1.51 %	97.73 %
2 000 µm	1.00 g	198.00 g	0.50 %	99.24 %
4 000 µm	0.50 g	198.50 g	0.25 %	99.75 %
5 000 µm	0.00 g	198.50 g	0.00 %	100.00 %
6 300 µm	0.00 g	198.50 g	0.00 %	100.00 %
10 000 µm	0.00 g	198.50 g	0.00 %	100.00 %
>20 000 µm	0.00 g	198.50 g	0.00 %	100.00 %
				100.00 %





Mode (µm)	**125 µm**	**SABLES FINS**
D_{41} (µm)	85 µm	
D_{16} µm ϕ	103 µm 3.27 Phi	
D_{75} (µm)	128 µm	
Médiane D_{50} (µm)	**176 µm**	**SABLES FINS**
D_{75} (µm)	224 µm	
D_{84} µm ϕ	241 µm 2.05 Phi	
D_{95} (µm)	279 µm	
Diamètre moyen en ϕ	2.61 Phi	
Ecart-type en unité ϕ (sorting)	0.81 Phi	
Indice d'asymétrie (Skewness)	0.03	
Indice d'angulosité (Kurtosis)	1.71	
Teneur en fines (diamètre < 63 µm)	**2.52 %**	

Sources : IN VIVO Environnement – Janvier 2010

MORPHOSCOPIE DE L'ÉCHANTILLON 37B



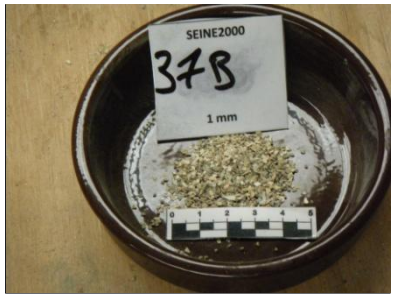


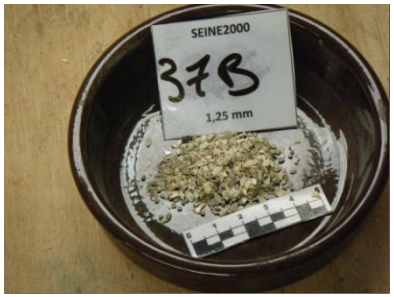
















Fraction inexistante 5 mm	Fraction inexistante 6,3 mm	Fraction inexistante 10 mm	Fraction inexistante 20 mm	

Nom : 37B

Mode : 125 µm

Médiane : 176 µm **Faciès :** Sables fins

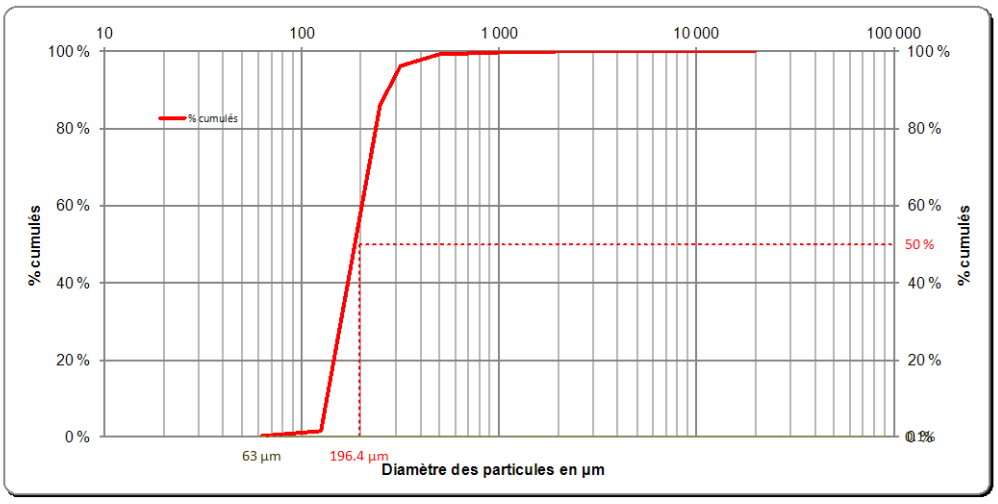
Sources : IN VIVO Environnement – Janvier 2010

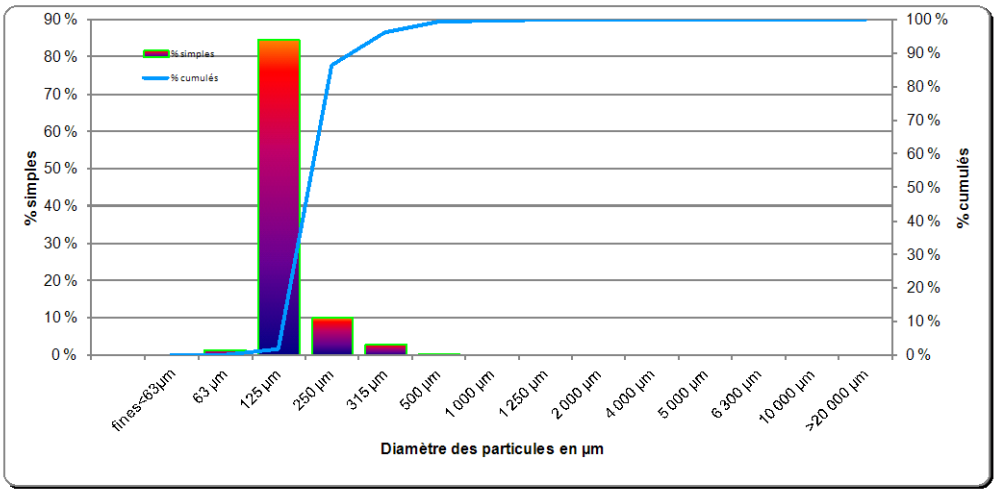
OCCIDENT 2000- PRELEVEMENT DU 01/05/11

Nom de l'échantillon : 39G

Masse totale : 200.70 g

Ouverture du tamis (en µm)	Masses simples (en g)	Masses cumulées (en g)	Fréquence simple en %	Fréquence cumulée en %
fines<63µm	0.30 g	0.30 g	0.15 %	0.00 %
63 µm	3.00 g	3.30 g	1.49 %	0.15 %
125 µm	170.00 g	173.30 g	84.70 %	1.64 %
250 µm	20.00 g	193.30 g	9.97 %	86.35 %
315 µm	6.00 g	199.30 g	2.99 %	96.31 %
500 µm	0.90 g	200.20 g	0.45 %	99.30 %
1 000 µm	0.20 g	200.40 g	0.10 %	99.75 %
1 250 µm	0.30 g	200.70 g	0.15 %	99.85 %
2 000 µm	0.00 g	200.70 g	0.00 %	100.00 %
4 000 µm	0.00 g	200.70 g	0.00 %	100.00 %
5 000 µm	0.00 g	200.70 g	0.00 %	100.00 %
6 300 µm	0.00 g	200.70 g	0.00 %	100.00 %
10 000 µm	0.00 g	200.70 g	0.00 %	100.00 %
>20 000 µm	0.00 g	200.70 g	0.00 %	100.00 %
				100.00 %





Mode (µm)	**125 µm**	**SABLES FINS**
D_{41} (µm)	137 µm	
D_{16} µm / ϕ	146 µm / 2.77 Phi	
D_{25} (µm)	159 µm	
Médiane D_{50} (µm)	**196 µm**	**SABLES FINS**
D_{75} (µm)	233 µm	
D_{84} µm / ϕ	247 µm / 2.02 Phi	
D_{95} (µm)	274 µm	
Diamètre moyen en ϕ	2.38 Phi	
Ecart-type en unité ϕ (sorting)	0.38 Phi	
Indice d'asymétrie (Skewness)	0.05	
Indice d'angulosité (Kurtosis)	0.92	
Teneur en fines (diamètre < 63 µm)	**0.15 %**	

Sources : IN VIVO Environnement – Janvier 2010

MORPHOSCOPIE DE L'ÉCHANTILLON 39G

















Fraction inexistante

2 mm

Fraction inexistante

4 mm

Fraction inexistante

5 mm

Fraction inexistante

6,3 mm

Fraction inexistante

10 mm

Fraction inexistante

20 mm



Nom : 39G

Mode : 125 µm

Médiane : 196 µm

Faciès : Sables fins

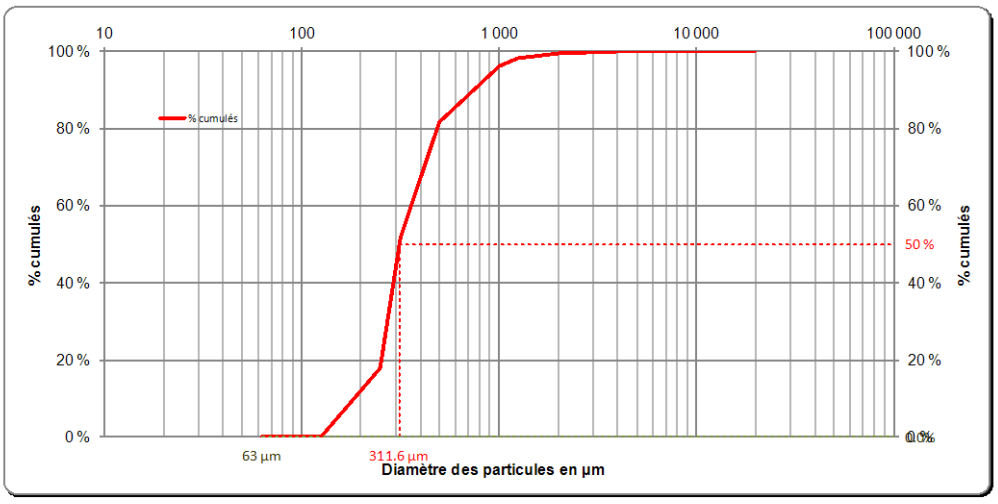
Sources : IN VIVO Environnement – Janvier 2010

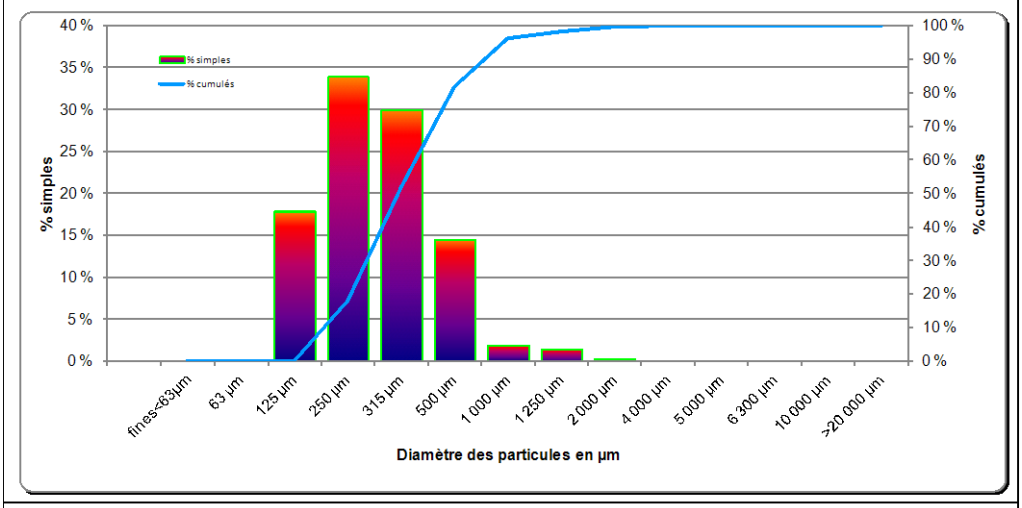
OCCIDENT 2000- PRELEVEMENT DU 01/05/11

Nom de l'échantillon : 40G

Masse totale : 206.70 g

Ouverture du tamis (en µm)	Masses simples (en g)	Masses cumulées (en g)	Fréquence simple en %	Fréquence cumulée en %
fines<63µm	0.00 g	0.00 g	0.00 %	0.00 %
63 µm	0.00 g	0.00 g	0.00 %	0.00 %
125 µm	37.00 g	37.00 g	17.90 %	0.00 %
250 µm	70.00 g	107.00 g	33.87 %	17.90 %
315 µm	62.00 g	169.00 g	30.00 %	51.77 %
500 µm	30.00 g	199.00 g	14.51 %	81.76 %
1 000 µm	4.00 g	203.00 g	1.94 %	96.27 %
1 250 µm	3.00 g	206.00 g	1.45 %	98.21 %
2 000 µm	0.70 g	206.70 g	0.34 %	99.66 %
4 000 µm	0.00 g	206.70 g	0.00 %	100.00 %
5 000 µm	0.00 g	206.70 g	0.00 %	100.00 %
6 300 µm	0.00 g	206.70 g	0.00 %	100.00 %
10 000 µm	0.00 g	206.70 g	0.00 %	100.00 %
>20 000 µm	0.00 g	206.70 g	0.00 %	100.00 %
				100.00 %





Mode (µm)	**250 µm**	**SABLES MOYENS**
D_{4n} (µm)	195 µm	
D_{16} µm ϕ	237 µm 2.08 Phi	
$D_{>x}$ (µm)	264 µm	
Médiane D_{50} (µm)	**312 µm**	**SABLES MOYENS**
D_{75} (µm)	458 µm	
D_{84} µm ϕ	577 µm 0.79 Phi	
$D_{>n}$ (µm)	784 µm	
Diamètre moyen en ϕ	1.52 Phi	
Ecart-type en unité ϕ (sorting)	0.71 Phi	
Indice d'asymétrie (Skewness)	-0.32	
Indice d'angulosité (Kurtosis)	1.33	
Teneur en fines (diamètre < 63 µm)	**0.00 %**	

Sources : IN VIVO Environnement – Janvier 2010

MORPHOSCOPIE DE L'ÉCHANTILLON 40G

Fraction inexistante <0,063 mm	Fraction inexistante 0,063 mm			
				Fraction inexistante 4 mm
Fraction inexistante 5 mm	Fraction inexistante 6,3 mm	Fraction inexistante 10 mm	Fraction inexistante 20 mm	

Nom : 40G

Mode : 250 µm

Médiane : 312 µm **Faciès :** Sables moyens

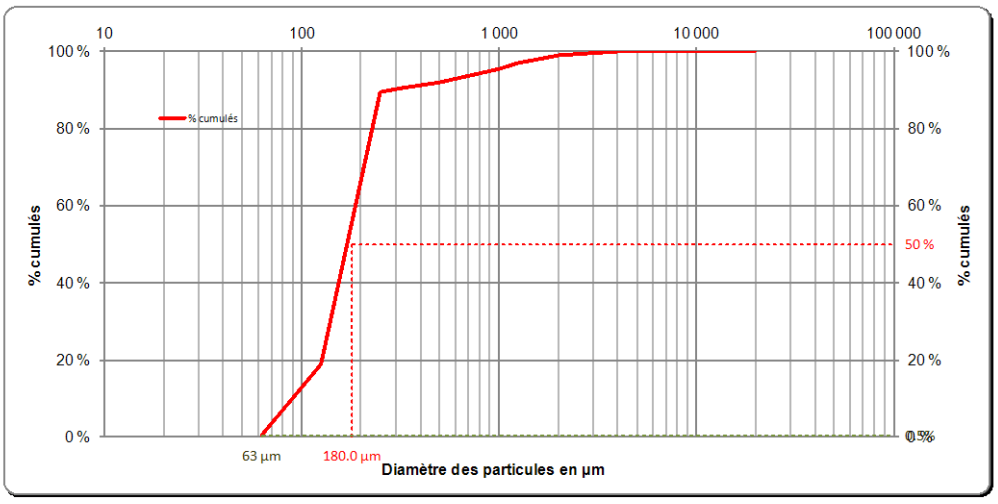
Sources : IN VIVO Environnement – Janvier 2010

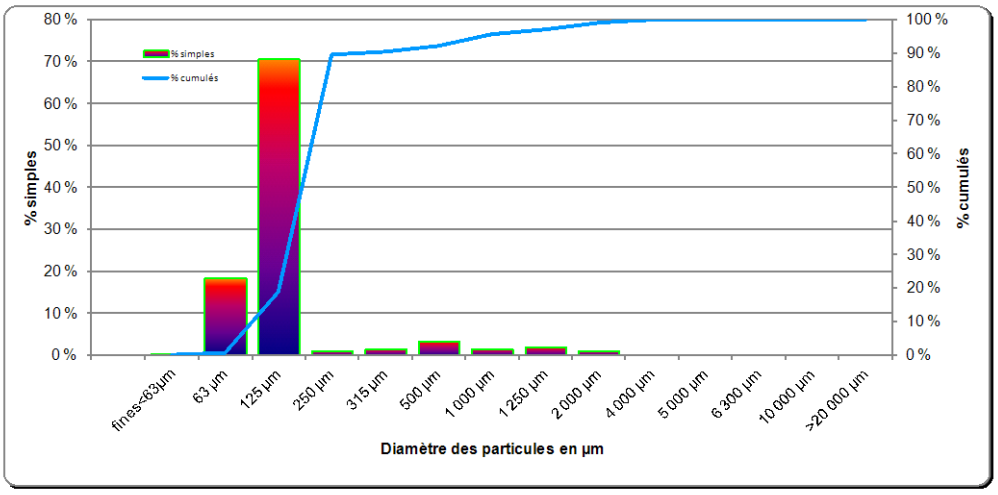
OCCIDENT 2000- PRELEVEMENT DU 30/04/11

Nom de l'échantillon : 41G

Masse totale : 201.00 g

Ouverture du tamis (en µm)	Masses simples (en g)	Masses cumulées (en g)	Fréquence simple en %	Fréquence cumulée en %
fines<63µm	1.00 g	1.00 g	0.50 %	0.00 %
63 µm	37.00 g	38.00 g	18.41 %	0.50 %
125 µm	142.00 g	180.00 g	70.65 %	18.91 %
250 µm	2.00 g	182.00 g	1.00 %	89.55 %
315 µm	3.00 g	185.00 g	1.49 %	90.55 %
500 µm	7.00 g	192.00 g	3.48 %	92.04 %
1 000 µm	3.00 g	195.00 g	1.49 %	95.52 %
1 250 µm	4.00 g	199.00 g	1.99 %	97.01 %
2 000 µm	2.00 g	201.00 g	1.00 %	99.00 %
4 000 µm	0.00 g	201.00 g	0.00 %	100.00 %
5 000 µm	0.00 g	201.00 g	0.00 %	100.00 %
6 300 µm	0.00 g	201.00 g	0.00 %	100.00 %
10 000 µm	0.00 g	201.00 g	0.00 %	100.00 %
>20 000 µm	0.00 g	201.00 g	0.00 %	100.00 %
				100.00 %





Mode (µm)	**125 µm**	**SABLES FINS**
D_{41} (µm)	95 µm	
D_{16} µm ϕ	115 µm 3.12 Phi	
D_{25} (µm)	136 µm	
Médiane D_{50} (µm)	**180 µm**	**SABLES FINS**
D_{75} (µm)	224 µm	
D_{84} µm ϕ	240 µm 2.06 Phi	
D_{95} (µm)	279 µm	
Diamètre moyen en ϕ	2.55 Phi	
Ecart-type en unité ϕ (sorting)	0.81 Phi	
Indice d'asymétrie (Skewness)	-0.05	
Indice d'angulosité (Kurtosis)	2.02	
Teneur en fines (diamètre < 63 µm)	**0.50 %**	

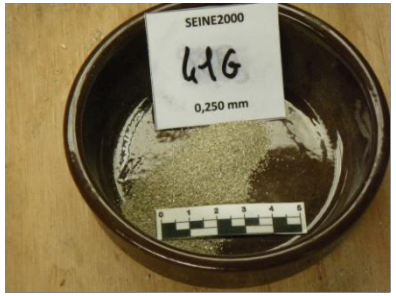
Sources : IN VIVO Environnement – Janvier 2010

MORPHOSCOPIE DE L'ÉCHANTILLON 41G



















Fraction inexistante

4 mm

Fraction inexistante

5 mm

Fraction inexistante

6,3 mm

Fraction inexistante

10 mm

Fraction inexistante

20 mm



Nom : 41G

Mode : 125 µm

Médiane : 180 µm **Faciès :** Sables fins

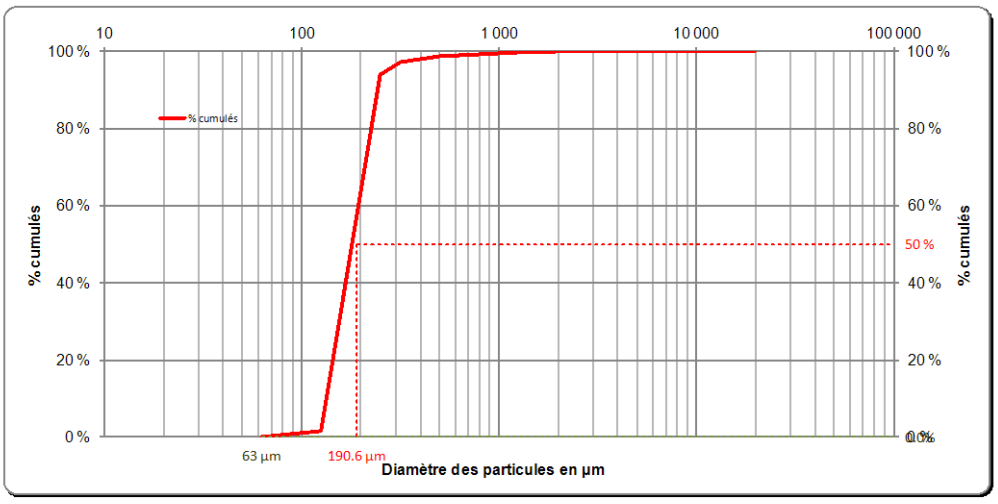
Sources : IN VIVO Environnement – Janvier 2010

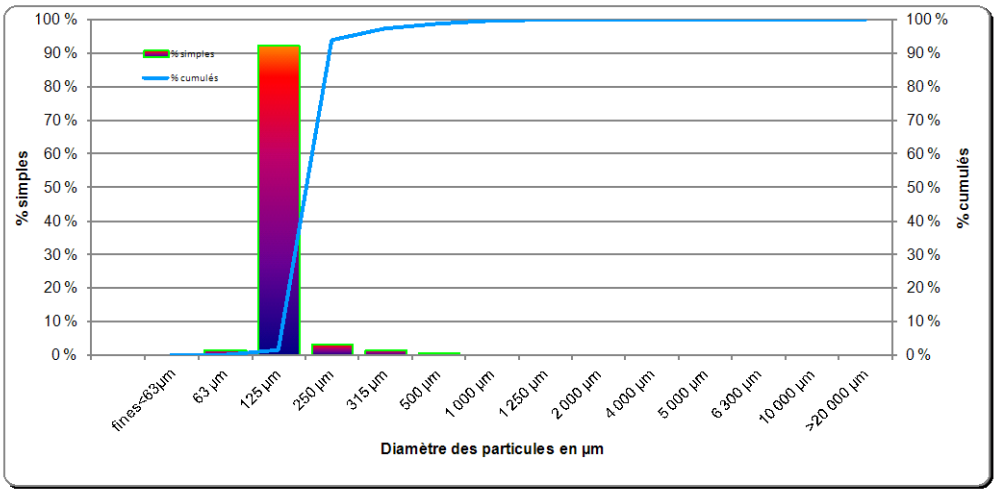
OCCIDENT 2000- PRELEVEMENT DU 01/05/11

Nom de l'échantillon : 42G

Masse totale : 200.10 g

Ouverture du tamis (en µm)	Masses simples (en g)	Masses cumulées (en g)	Fréquence simple en %	Fréquence cumulée en %
fines<63µm	0.00 g	0.00 g	0.00 %	0.00 %
63 µm	3.00 g	3.00 g	1.50 %	0.00 %
125 µm	185.00 g	188.00 g	92.45 %	1.50 %
250 µm	7.00 g	195.00 g	3.50 %	93.95 %
315 µm	3.00 g	198.00 g	1.50 %	97.45 %
500 µm	1.50 g	199.50 g	0.75 %	98.95 %
1 000 µm	0.30 g	199.80 g	0.15 %	99.70 %
1 250 µm	0.30 g	200.10 g	0.15 %	99.85 %
2 000 µm	0.00 g	200.10 g	0.00 %	100.00 %
4 000 µm	0.00 g	200.10 g	0.00 %	100.00 %
5 000 µm	0.00 g	200.10 g	0.00 %	100.00 %
6 300 µm	0.00 g	200.10 g	0.00 %	100.00 %
10 000 µm	0.00 g	200.10 g	0.00 %	100.00 %
>20 000 µm	0.00 g	200.10 g	0.00 %	100.00 %
				100.00 %





Mode (µm)	**125 µm**	**SABLES FINS**
D_{41} (µm)	136 µm	
D_{16} µm / ϕ	145 µm / 2.79 Phi	
D_{25} (µm)	157 µm	
Médiane D_{50} (µm)	**191 µm**	**SABLES FINS**
D_{75} (µm)	224 µm	
D_{84} µm / ϕ	237 µm / 2.08 Phi	
D_{95} (µm)	245 µm	
Diamètre moyen en ϕ	2.42 Phi	
Ecart-type en unité ϕ (sorting)	0.34 Phi	
Indice d'asymétrie (Skewness)	0.09	
Indice d'angulosité (Kurtosis)	0.84	
Teneur en fines (diamètre < 63 µm)	**0.00 %**	

Sources : IN VIVO Environnement – Janvier 2010

MORPHOSCOPIE DE L'ÉCHANTILLON 42G

Fraction inexistante <0,063 mm				
			Fraction inexistante 2 mm	Fraction inexistante 4 mm
Fraction inexistante 5 mm	Fraction inexistante 6,3 mm	Fraction inexistante 10 mm	Fraction inexistante 20 mm	

Nom : 42G

Mode : 125 µm

Médiane : 191 µm

Faciès : Sables fins

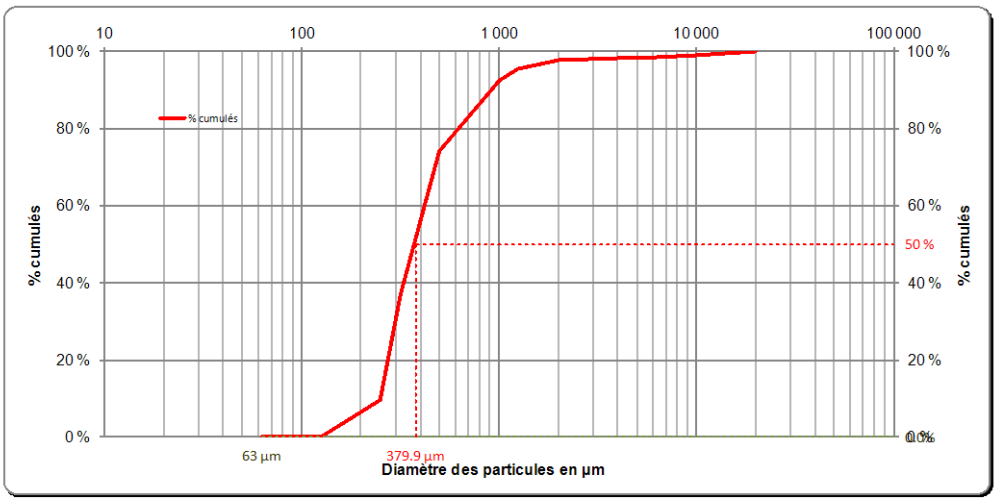
Sources : IN VIVO Environnement – Janvier 2010

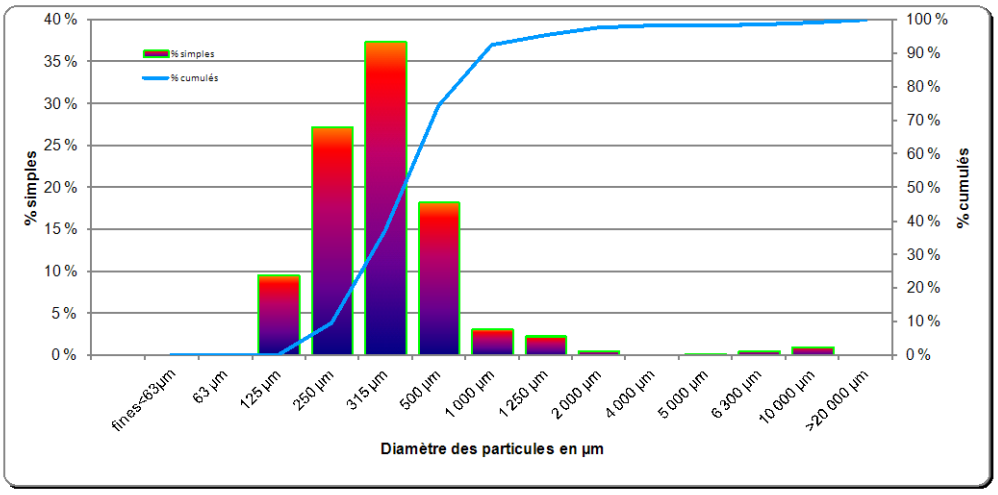
OCCIDENT 2000- PRELEVEMENT DU 01/05/11

Nom de l'échantillon : 46B

Masse totale : 198.10 g

Ouverture du tamis (en µm)	Masses simples (en g)	Masses cumulées (en g)	Fréquence simple en %	Fréquence cumulée en %
fines<63µm	0.00 g	0.00 g	0.00 %	0.00 %
63 µm	0.10 g	0.10 g	0.05 %	0.00 %
125 µm	19.00 g	19.10 g	9.59 %	0.05 %
250 µm	54.00 g	73.10 g	27.26 %	9.64 %
315 µm	74.00 g	147.10 g	37.35 %	36.90 %
500 µm	36.00 g	183.10 g	18.17 %	74.26 %
1 000 µm	6.00 g	189.10 g	3.03 %	92.43 %
1 250 µm	4.60 g	193.70 g	2.32 %	95.46 %
2 000 µm	1.00 g	194.70 g	0.50 %	97.78 %
4 000 µm	0.00 g	194.70 g	0.00 %	98.28 %
5 000 µm	0.40 g	195.10 g	0.20 %	98.28 %
6 300 µm	1.00 g	196.10 g	0.50 %	98.49 %
10 000 µm	2.00 g	198.10 g	1.01 %	98.99 %
>20 000 µm	0.00 g	198.10 g	0.00 %	100.00 %
				100.00 %





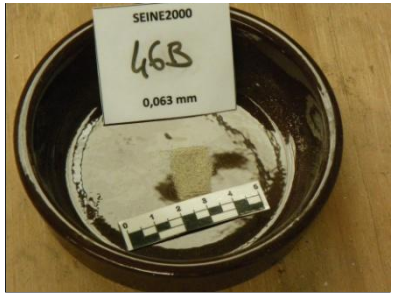
Mode (µm)	**315 µm**	**SABLES MOYENS**
$D_{4,3}$ (µm)	251 µm	
D_{16} µm / ϕ	265 µm / 1.92 Phi	
$D_{>x}$ (µm)	287 µm	
Médiane D_{50} (µm)	**380 µm**	**SABLES MOYENS**
D_{75} (µm)	520 µm	
D_{84} µm / ϕ	768 µm / 0.38 Phi	
$D_{>x}$ (µm)	933 µm	
Diamètre moyen en ϕ	1.23 Phi	
Ecart-type en unité ϕ (sorting)	0.79 Phi	
Indice d'asymétrie (Skewness)	-0.29	
Indice d'angulosité (Kurtosis)	1.27	
Teneur en fines (diamètre < 63 µm)	**0.00 %**	

Sources : IN VIVO Environnement – Janvier 2010

MORPHOSCOPIE DE L'ÉCHANTILLON 46B

Fraction inexistante

<0,063 mm



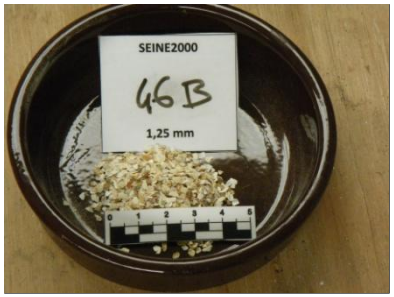














Fraction inexistante

4 mm







Fraction inexistante

20 mm



Nom : 46B

Mode : 315 µm

Médiane : 380 µm

Faciès : Sables moyens

Sources : IN VIVO Environnement – Janvier 2010

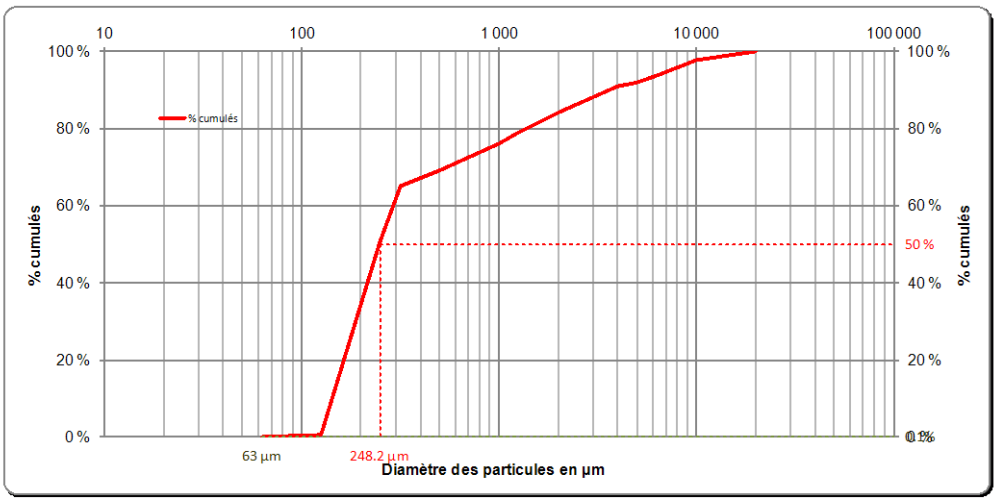
RÉSULTATS DE L'ANALYSE GRANULOMÉTRIQUE POUR L'ECHANTILLON 47B

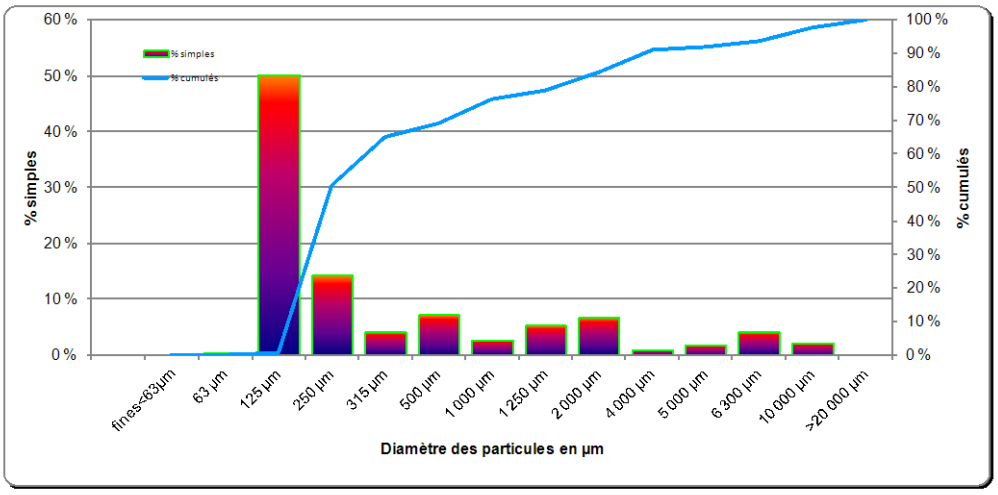
OCCIDENT 2000- PRELEVEMENT DU 01/05/11

Nom de l'échantillon : 47B

Masse totale : 223.20 g

Ouverture du tamis (en µm)	Masses simples (en g)	Masses cumulées (en g)	Fréquence simple en %	Fréquence cumulée en %
fines<63µm	0.20 g	0.20 g	0.09 %	0.00 %
63 µm	1.00 g	1.20 g	0.45 %	0.09 %
125 µm	112.00 g	113.20 g	50.18 %	0.54 %
250 µm	32.00 g	145.20 g	14.34 %	50.72 %
315 µm	9.00 g	154.20 g	4.03 %	65.05 %
500 µm	16.00 g	170.20 g	7.17 %	69.09 %
1 000 µm	6.00 g	176.20 g	2.69 %	76.25 %
1 250 µm	12.00 g	188.20 g	5.38 %	78.94 %
2 000 µm	15.00 g	203.20 g	6.72 %	84.32 %
4 000 µm	2.00 g	205.20 g	0.90 %	91.04 %
5 000 µm	4.00 g	209.20 g	1.79 %	91.94 %
6 300 µm	9.00 g	218.20 g	4.03 %	93.73 %
10 000 µm	5.00 g	223.20 g	2.24 %	97.76 %
>20 000 µm	0.00 g	223.20 g	0.00 %	100.00 %
				100.00 %





Mode (µm)	**125 µm**	**SABLES FINS**
D_{41} (µm)	149 µm	
D_{16} µm ϕ	164 µm 2.61 Phi	
D_{25} (µm)	186 µm	
Médiane D_{50} (µm)	**248 µm**	**SABLES FINS**
D_{75} (µm)	912 µm	
D_{84} µm ϕ	1 956 µm -0.97 Phi	
D_{95} (µm)	3 691 µm	
Diamètre moyen en ϕ	1.22 Phi	
Ecart-type en unité ϕ (sorting)	1.77 Phi	
Indice d'asymétrie (Skewness)	-0.68	
Indice d'angulosité (Kurtosis)	1.03	
Teneur en fines (diamètre < 63 µm)	**0.09 %**	

Sources : IN VIVO Environnement – Janvier 2010

Morphoscopie de l'échantillon 47B











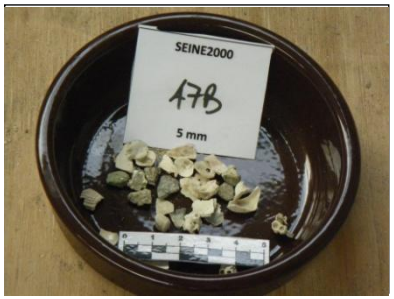
















Fraction inexistante

20 mm



Nom : 47B

Mode : 125 µm

Médiane : 248 µm **Faciès :** Sables fins

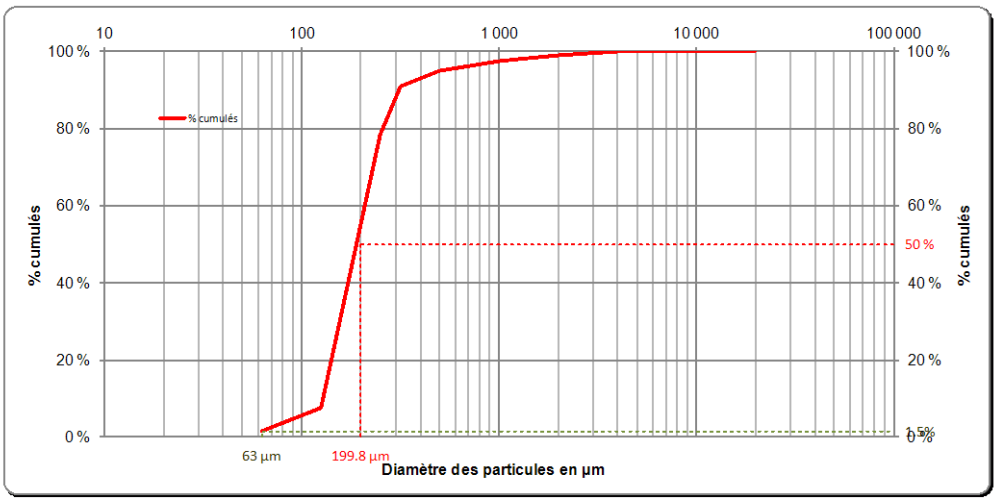
Sources : IN VIVO Environnement – Janvier 2010

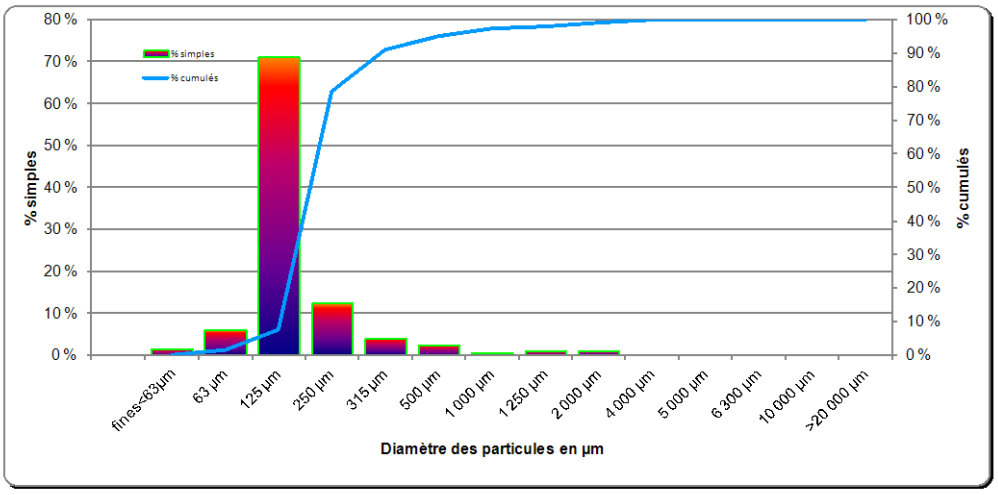
OCCIDENT 2000- PRELEVEMENT DU 19/05/11

Nom de l'échantillon : 48B

Masse totale : 200.00 g

Ouverture du tamis (en µm)	Masses simples (en g)	Masses cumulées (en g)	Fréquence simple en %	Fréquence cumulée en %
fines<63µm	3.00 g	3.00 g	1.50 %	0.00 %
63 µm	12.00 g	15.00 g	6.00 %	1.50 %
125 µm	142.00 g	157.00 g	71.00 %	7.50 %
250 µm	25.00 g	182.00 g	12.50 %	78.50 %
315 µm	8.00 g	190.00 g	4.00 %	91.00 %
500 µm	5.00 g	195.00 g	2.50 %	95.00 %
1 000 µm	1.00 g	196.00 g	0.50 %	97.50 %
1 250 µm	2.00 g	198.00 g	1.00 %	98.00 %
2 000 µm	2.00 g	200.00 g	1.00 %	99.00 %
4 000 µm	0.00 g	200.00 g	0.00 %	100.00 %
5 000 µm	0.00 g	200.00 g	0.00 %	100.00 %
6 300 µm	0.00 g	200.00 g	0.00 %	100.00 %
10 000 µm	0.00 g	200.00 g	0.00 %	100.00 %
>20 000 µm	0.00 g	200.00 g	0.00 %	100.00 %
				100.00 %





Mode (µm)	**125 µm**	**SABLES FINS**
D_{4n} (µm)	129 µm	
D_{16} µm ϕ	140 µm 2.84 Phi	
$D_{>x}$ (µm)	156 µm	
Médiane D_{50} (µm)	**200 µm**	**SABLES FINS**
D_{75} (µm)	244 µm	
D_{84} µm ϕ	279 µm 1.84 Phi	
$D_{>x}$ (µm)	310 µm	
Diamètre moyen en ϕ	2.33 Phi	
Ecart-type en unité ϕ (sorting)	0.60 Phi	
Indice d'asymétrie (Skewness)	-0.05	
Indice d'angulosité (Kurtosis)	1.48	
Teneur en fines (diamètre < 63 µm)	**1.50 %**	

Sources : IN VIVO Environnement – Janvier 2010

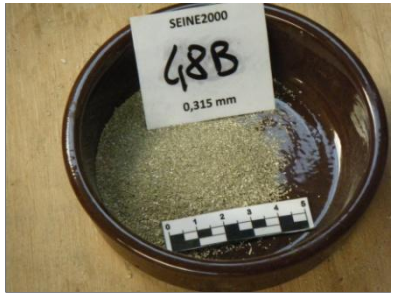
MORPHOSCOPIE DE L'ÉCHANTILLON 48B



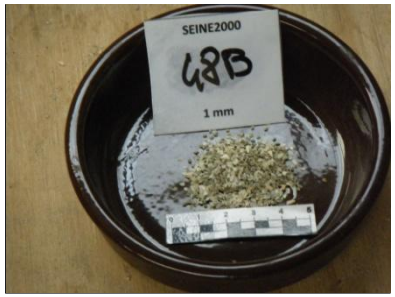
















Fraction inexistante

4 mm

Fraction inexistante

5 mm

Fraction inexistante

6,3 mm

Fraction inexistante

10 mm

Fraction inexistante

20 mm



Nom : 48B

Mode : 125 µm

Médiane : 200 µm

Faciès : Sables fins

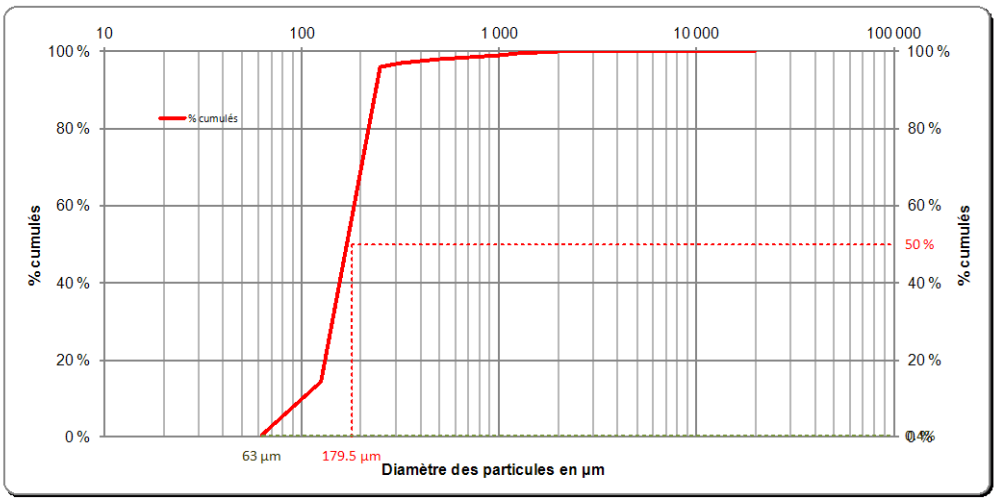
Sources : IN VIVO Environnement – Janvier 2010

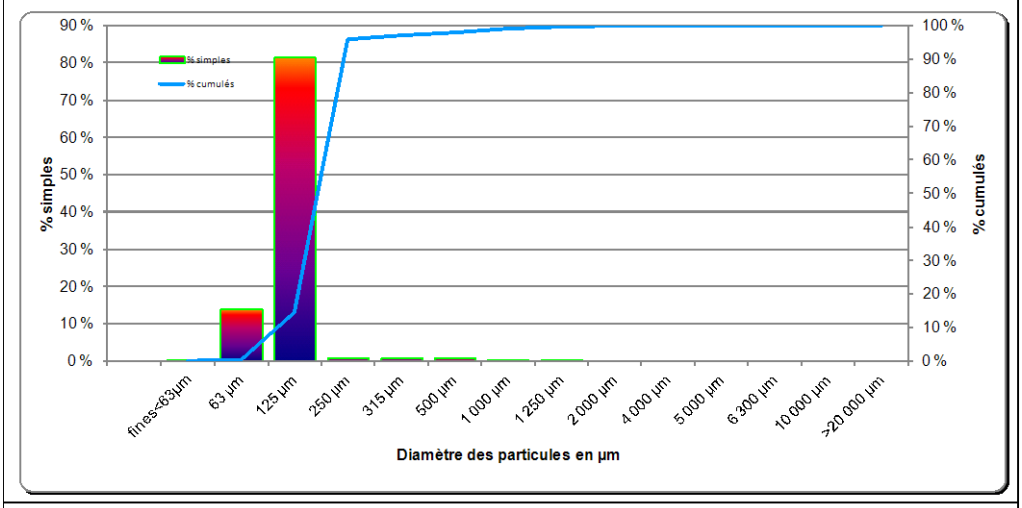
OCCIDENT 2000- PRELEVEMENT DU U 30/04/11

Nom de l'échantillon : 52B

Masse totale : 199.70 g

Ouverture du tamis (en µm)	Masses simples (en g)	Masses cumulées (en g)	Fréquence simple en %	Fréquence cumulée en %
fines<63µm	0.80 g	0.80 g	0.40 %	0.00 %
63 µm	28.00 g	28.80 g	14.02 %	0.40 %
125 µm	163.00 g	191.80 g	81.62 %	14.42 %
250 µm	2.00 g	193.80 g	1.00 %	96.04 %
315 µm	2.00 g	195.80 g	1.00 %	97.05 %
500 µm	2.00 g	197.80 g	1.00 %	98.05 %
1 000 µm	1.00 g	198.80 g	0.50 %	99.05 %
1 250 µm	0.90 g	199.70 g	0.45 %	99.55 %
2 000 µm	0.00 g	199.70 g	0.00 %	100.00 %
4 000 µm	0.00 g	199.70 g	0.00 %	100.00 %
5 000 µm	0.00 g	199.70 g	0.00 %	100.00 %
6 300 µm	0.00 g	199.70 g	0.00 %	100.00 %
10 000 µm	0.00 g	199.70 g	0.00 %	100.00 %
>20 000 µm	0.00 g	199.70 g	0.00 %	100.00 %
				100.00 %



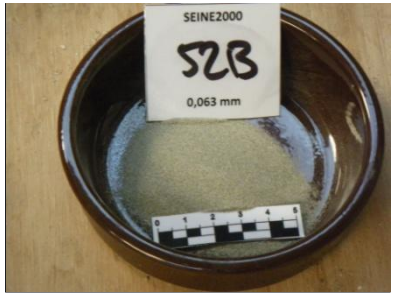


Mode (µm)	**125 µm**	**SABLES FINS**
D_{41} (µm)	105 µm	
D_{16} µm ϕ	127 µm 2.97 Phi	
D_{95} (µm)	141 µm	
Médiane D_{50} (µm)	**179 µm**	**SABLES FINS**
D_{75} (µm)	218 µm	
D_{84} µm ϕ	232 µm 2.11 Phi	
D_{95} (µm)	241 µm	
Diamètre moyen en ϕ	2.52 Phi	
Ecart-type en unité ϕ (sorting)	0.45 Phi	
Indice d'asymétrie (Skewness)	0.28	
Indice d'angulosité (Kurtosis)	1.03	
Teneur en fines (diamètre < 63 µm)	**0.40 %**	

Sources : IN VIVO Environnement – Janvier 2010

MORPHOSCOPIE DE L'ÉCHANTILLON 52B

















Fraction inexistante

2 mm

Fraction inexistante

4 mm

Fraction inexistante

5 mm

Fraction inexistante

6,3 mm

Fraction inexistante

10 mm

Fraction inexistante

20 mm



Nom : 52B

Mode : 125 µm

Médiane : 179 µm

Faciès : Sables fins

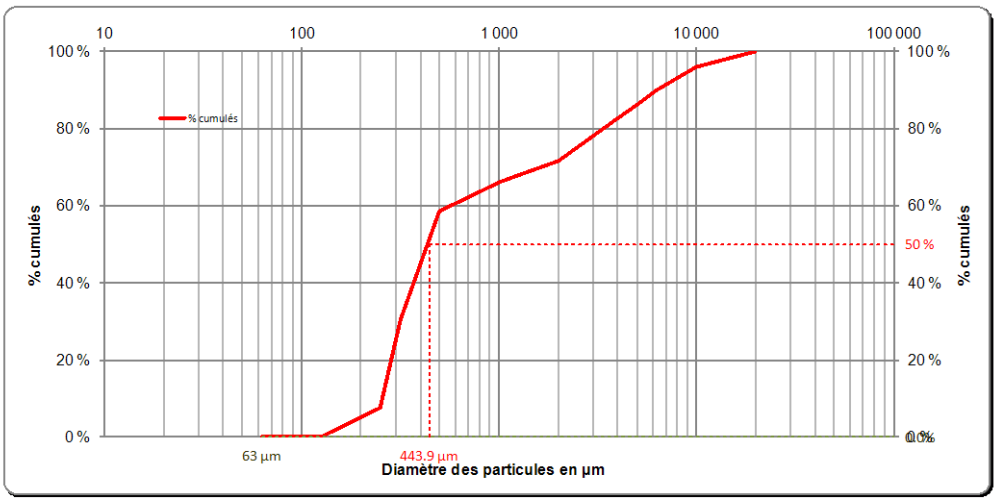
Sources : IN VIVO Environnement – Janvier 2010

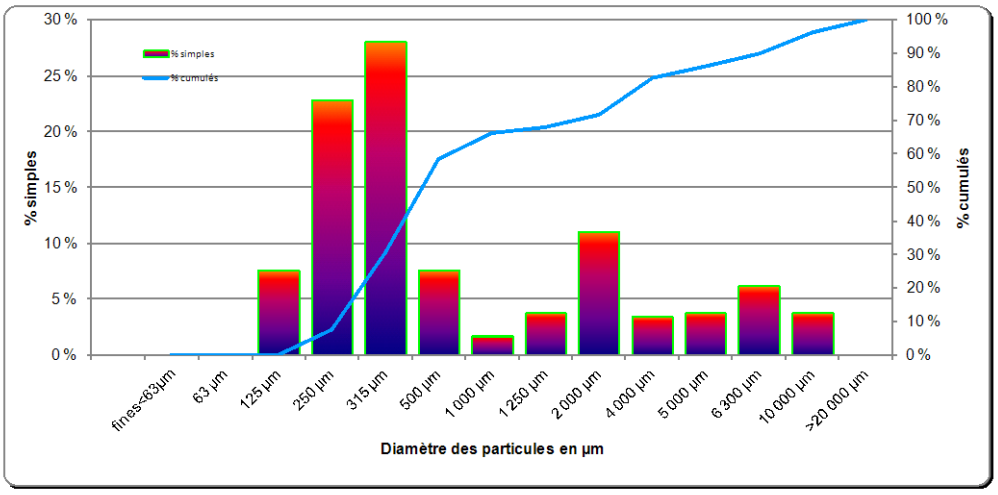
OCCIDENT 2000- PRELEVEMENT DU 01/05/11

Nom de l'échantillon : 54G

Masse totale : 289.10 g

Ouverture du tamis (en µm)	Masses simples (en g)	Masses cumulées (en g)	Fréquence simple en %	Fréquence cumulée en %
fines<63µm	0.00 g	0.00 g	0.00 %	0.00 %
63 µm	0.10 g	0.10 g	0.03 %	0.00 %
125 µm	22.00 g	22.10 g	7.61 %	0.03 %
250 µm	66.00 g	88.10 g	22.83 %	7.64 %
315 µm	81.00 g	169.10 g	28.02 %	30.47 %
500 µm	22.00 g	191.10 g	7.61 %	58.49 %
1 000 µm	5.00 g	196.10 g	1.73 %	66.10 %
1 250 µm	11.00 g	207.10 g	3.80 %	67.83 %
2 000 µm	32.00 g	239.10 g	11.07 %	71.64 %
4 000 µm	10.00 g	249.10 g	3.46 %	82.70 %
5 000 µm	11.00 g	260.10 g	3.80 %	86.16 %
6 300 µm	18.00 g	278.10 g	6.23 %	89.97 %
10 000 µm	11.00 g	289.10 g	3.80 %	96.20 %
>20 000 µm	0.00 g	289.10 g	0.00 %	100.00 %
				100.00 %





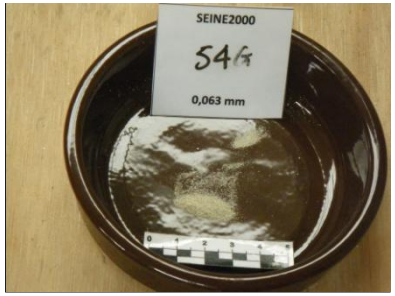
Mode (µm)	**315 µm**	**SABLES MOYENS**
D_{4n} (µm)	257 µm	
D_{16} (µm)	274 µm	
ϕ	1.87 Phi	
D_{2n} (µm)	299 µm	
Médiane D_{50} (µm)	**444 µm**	**SABLES MOYENS**
D_{75} (µm)	2 608 µm	
D_{84} (µm)	4 374 µm	
ϕ	-2.13 Phi	
D_{9n} (µm)	6 319 µm	
Diamètre moyen en ϕ	0.30 Phi	
Ecart-type en unité ϕ (sorting)	1.83 Phi	
Indice d'asymétrie (Skewness)	-0.62	
Indice d'angulosité (Kurtosis)	0.72	
Teneur en fines (diamètre < 63 µm)	**0.00 %**	

Sources : IN VIVO Environnement – Janvier 2010

MORPHOSCOPIE DE L'ÉCHANTILLON 54G

Fraction inexistante

<0,063 mm

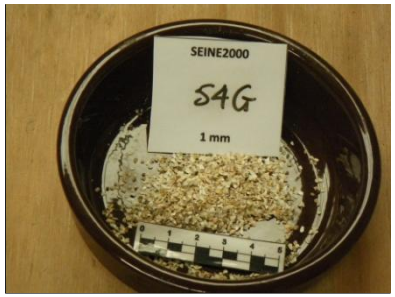
























Fraction inexistante

20 mm



Nom : 54G

Mode : 315 µm

Médiane : 444 µm

Faciès : Sables moyens

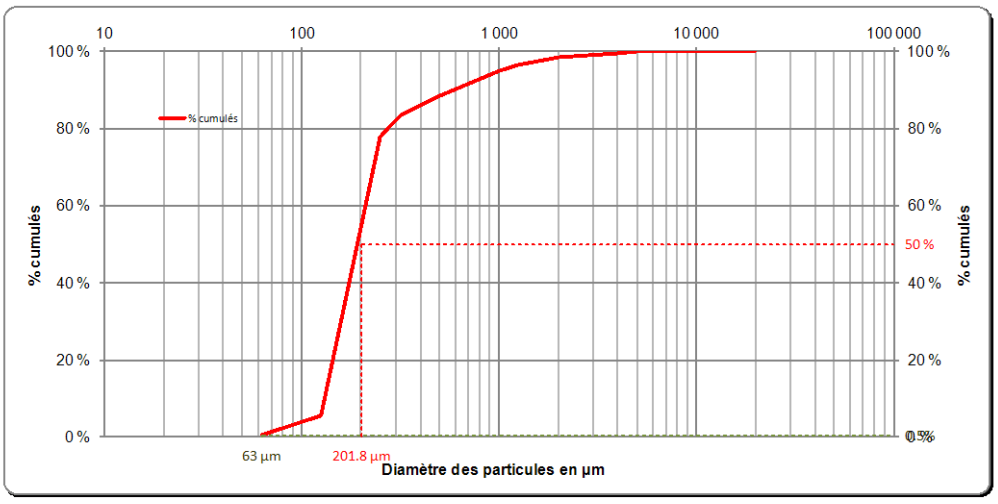
Sources : IN VIVO Environnement – Janvier 2010

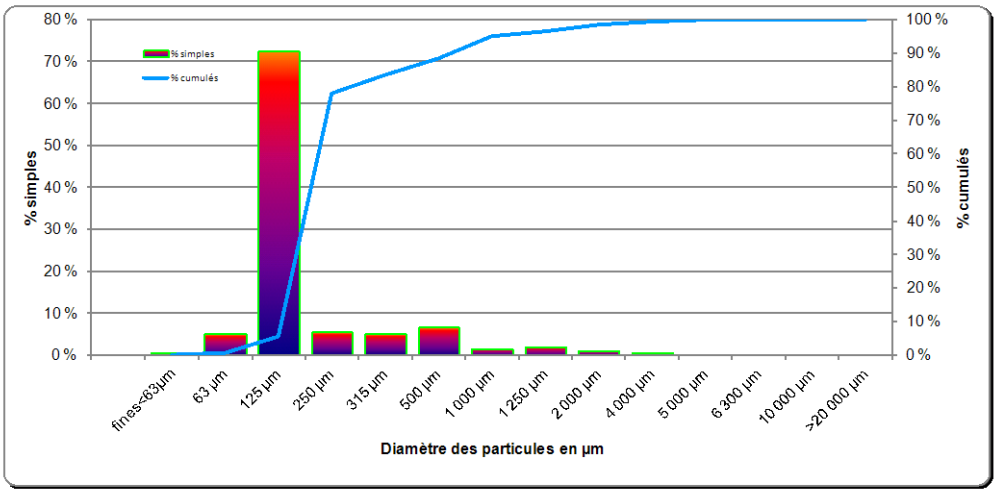
OCCIDENT 2000- PRELEVEMENT DU 29/04/11

Nom de l'échantillon : 55B

Masse totale : 199.00 g

Ouverture du tamis (en µm)	Masses simples (en g)	Masses cumulées (en g)	Fréquence simple en %	Fréquence cumulée en %
fines<63µm	1.00 g	1.00 g	0.50 %	0.00 %
63 µm	10.00 g	11.00 g	5.03 %	0.50 %
125 µm	144.00 g	155.00 g	72.36 %	5.53 %
250 µm	11.00 g	166.00 g	5.53 %	77.89 %
315 µm	10.00 g	176.00 g	5.03 %	83.42 %
500 µm	13.00 g	189.00 g	6.53 %	88.44 %
1 000 µm	3.00 g	192.00 g	1.51 %	94.97 %
1 250 µm	4.00 g	196.00 g	2.01 %	96.48 %
2 000 µm	2.00 g	198.00 g	1.01 %	98.49 %
4 000 µm	1.00 g	199.00 g	0.50 %	99.50 %
5 000 µm	0.00 g	199.00 g	0.00 %	100.00 %
6 300 µm	0.00 g	199.00 g	0.00 %	100.00 %
10 000 µm	0.00 g	199.00 g	0.00 %	100.00 %
>20 000 µm	0.00 g	199.00 g	0.00 %	100.00 %
				100.00 %





Mode (µm)	**125 µm**	**SABLES FINS**
D_{41} (µm)	133 µm	
D_{16} (µm) / ϕ	143 µm / 2.81 Phi	
D_{25} (µm)	159 µm	
Médiane D_{50} (µm)	**202 µm**	**SABLES FINS**
D_{75} (µm)	245 µm	
D_{84} (µm) / ϕ	336 µm / 1.57 Phi	
D_{95} (µm)	619 µm	
Diamètre moyen en ϕ	2.23 Phi	
Ecart-type en unité ϕ (sorting)	0.78 Phi	
Indice d'asymétrie (Skewness)	-0.35	
Indice d'angulosité (Kurtosis)	2.01	
Teneur en fines (diamètre < 63 µm)	**0.50 %**	

Sources : IN VIVO Environnement – Janvier 2010

MORPHOSCOPIE DE L'ÉCHANTILLON 55B



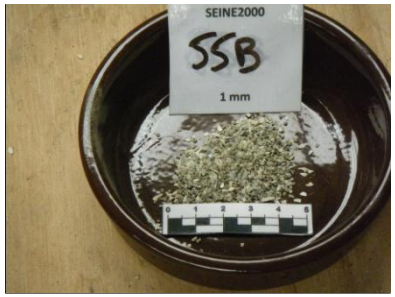






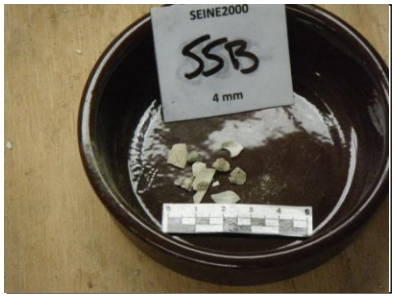












Fraction inexistante 5 mm	Fraction inexistante 6,3 mm	Fraction inexistante 10 mm	Fraction inexistante 20 mm	

Nom : 55B

Mode : 125 µm

Médiane : 202 µm

Faciès : Sables fins

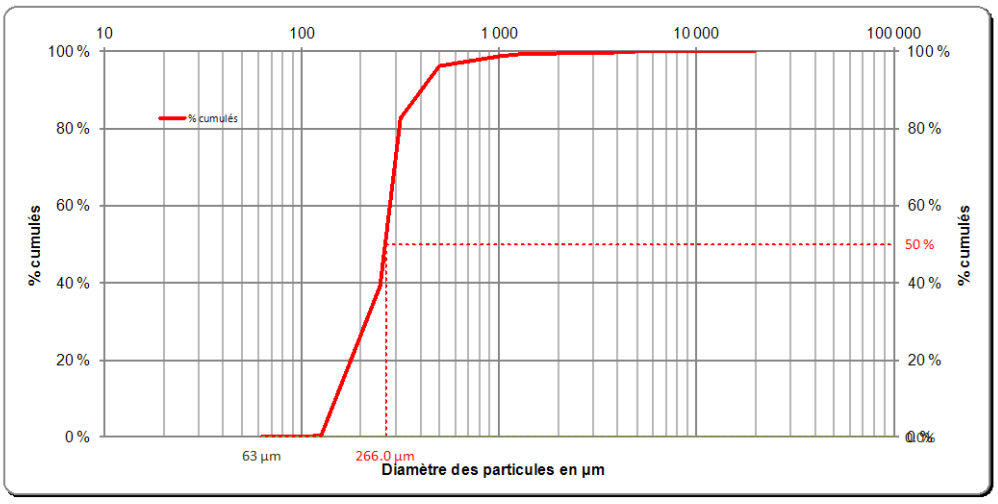
Sources : IN VIVO Environnement – Janvier 2010

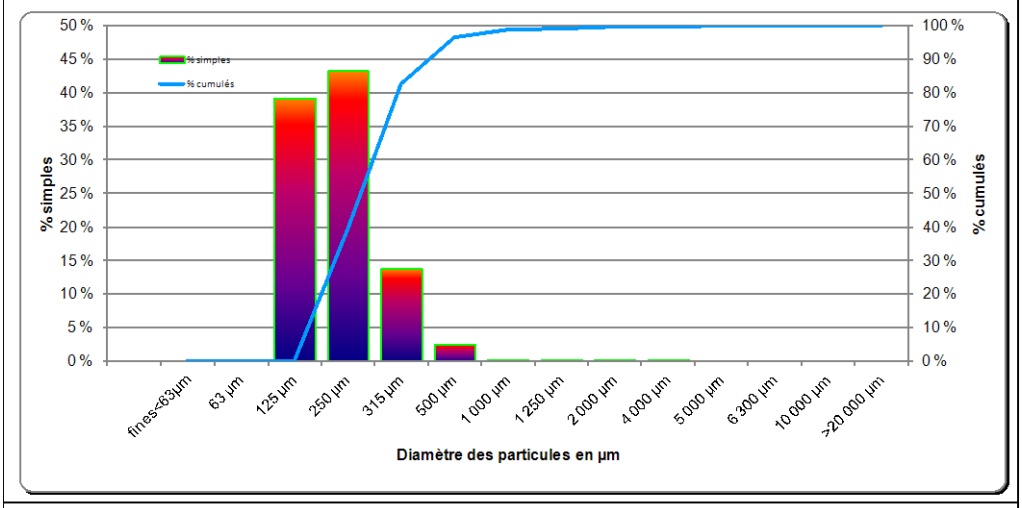
OCCIDENT 2000- PRELEVEMENT DU 01/05/11

Nom de l'échantillon : 56G

Masse totale : 196.40 g

Ouverture du tamis (en µm)	Masses simples (en g)	Masses cumulées (en g)	Fréquence simple en %	Fréquence cumulée en %
fines<63µm	0.00 g	0.00 g	0.00 %	0.00 %
63 µm	0.30 g	0.30 g	0.15 %	0.00 %
125 µm	77.00 g	77.30 g	39.21 %	0.15 %
250 µm	85.00 g	162.30 g	43.28 %	39.36 %
315 µm	27.00 g	189.30 g	13.75 %	82.64 %
500 µm	5.00 g	194.30 g	2.55 %	96.38 %
1 000 µm	0.60 g	194.90 g	0.31 %	98.93 %
1 250 µm	0.60 g	195.50 g	0.31 %	99.24 %
2 000 µm	0.40 g	195.90 g	0.20 %	99.54 %
4 000 µm	0.50 g	196.40 g	0.25 %	99.75 %
5 000 µm	0.00 g	196.40 g	0.00 %	100.00 %
6 300 µm	0.00 g	196.40 g	0.00 %	100.00 %
10 000 µm	0.00 g	196.40 g	0.00 %	100.00 %
>20 000 µm	0.00 g	196.40 g	0.00 %	100.00 %
				100.00 %

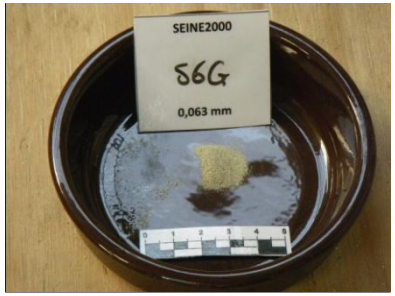
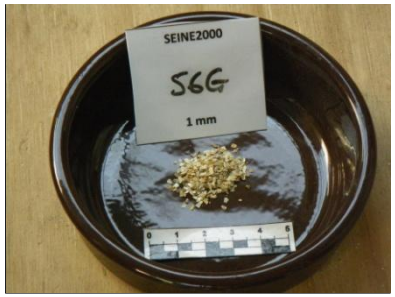




Mode (µm)	**250 µm**	**SABLES MOYENS**
$D_{4\phi}$ (µm)	156 µm	
D_{16} µm ϕ	176 µm 2.51 Phi	
$D_{2\phi}$ (µm)	204 µm	
Médiane D_{50} (µm)	**266 µm**	**SABLES MOYENS**
D_{75} (µm)	304 µm	
D_{84} µm ϕ	333 µm 1.58 Phi	
$D_{1\phi}$ (µm)	414 µm	
Diamètre moyen en ϕ	2.00 Phi	
Ecart-type en unité ϕ (sorting)	0.50 Phi	
Indice d'asymétrie (Skewness)	0.17	
Indice d'angulosité (Kurtosis)	1.27	
Teneur en fines (diamètre < 63 µm)	**0.00 %**	

Sources : IN VIVO Environnement – Janvier 2010

MORPHOSCOPIE DE L'ÉCHANTILLON 56G

Fraction inexistante <0,063 mm				
				
Fraction inexistante 5 mm	Fraction inexistante 6,3 mm	Fraction inexistante 10 mm	Fraction inexistante 20 mm	

Nom : 56G

Mode : 250 µm

Médiane : 266 µm **Faciès :** Sables moyens

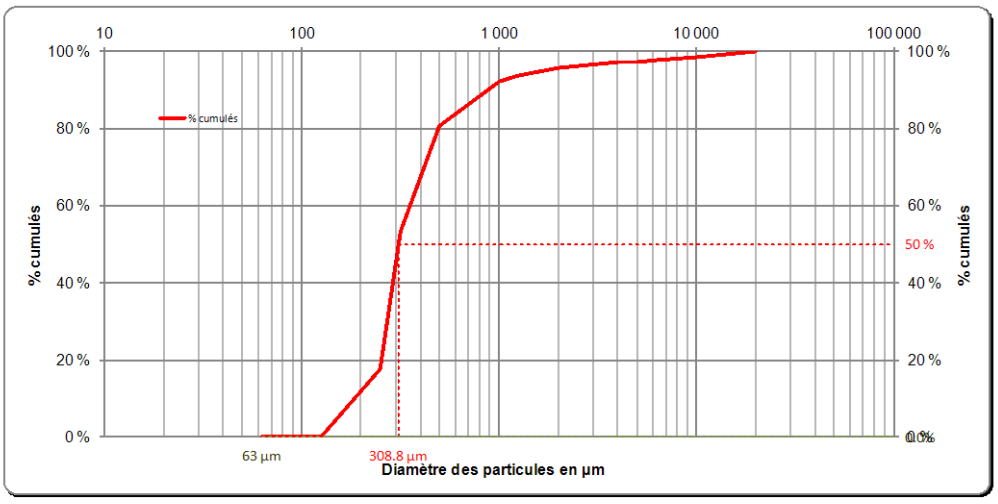
Sources : IN VIVO Environnement – Janvier 2010

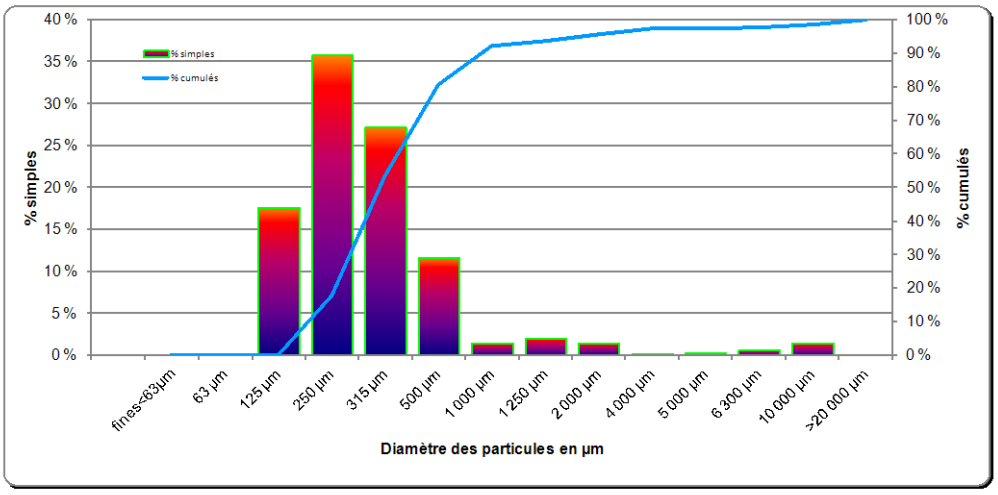
OCCIDENT 2000- PRELEVEMENT DU 01/05/11

Nom de l'échantillon : 59G

Masse totale : 198.40 g

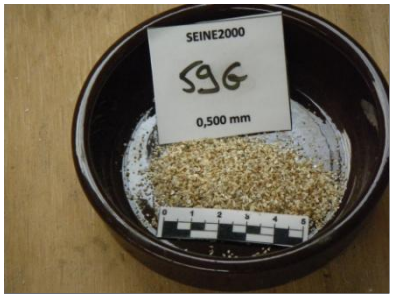
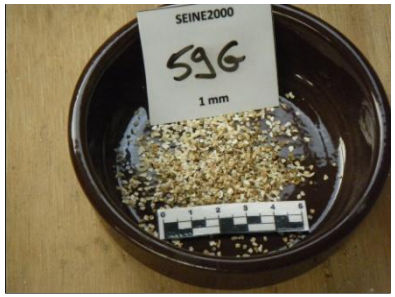
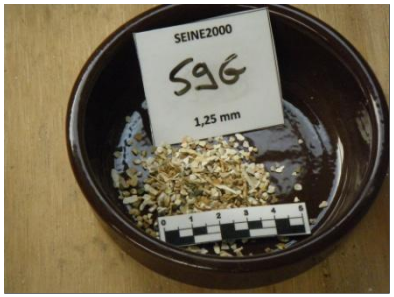
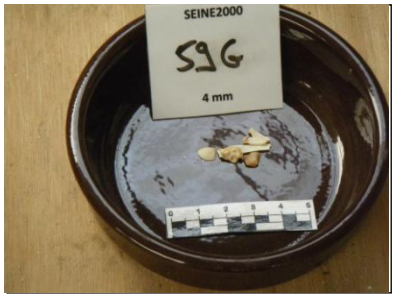
Ouverture du tamis (en µm)	Masses simples (en g)	Masses cumulées (en g)	Fréquence simple en %	Fréquence cumulée en %
fines<63µm	0.00 g	0.00 g	0.00 %	0.00 %
63 µm	0.00 g	0.00 g	0.00 %	0.00 %
125 µm	35.00 g	35.00 g	17.64 %	0.00 %
250 µm	71.00 g	106.00 g	35.79 %	17.64 %
315 µm	54.00 g	160.00 g	27.22 %	53.43 %
500 µm	23.00 g	183.00 g	11.59 %	80.65 %
1 000 µm	3.00 g	186.00 g	1.51 %	92.24 %
1 250 µm	4.00 g	190.00 g	2.02 %	93.75 %
2 000 µm	3.00 g	193.00 g	1.51 %	95.77 %
4 000 µm	0.30 g	193.30 g	0.15 %	97.28 %
5 000 µm	0.69 g	193.99 g	0.35 %	97.43 %
6 300 µm	1.41 g	195.40 g	0.71 %	97.78 %
10 000 µm	3.00 g	198.40 g	1.51 %	98.49 %
>20 000 µm	0.00 g	198.40 g	0.00 %	100.00 %
				100.00 %





Mode (µm)	**250 µm**	**SABLES MOYENS**
D_{4n} (µm)	196 µm	
D_{16} (µm) / ϕ	238 µm / 2.07 Phi	
D_{2n} (µm)	263 µm	
Médiane D_{50} (µm)	**309 µm**	**SABLES MOYENS**
D_{75} (µm)	462 µm	
D_{84} (µm) / ϕ	645 µm / 0.63 Phi	
D_{9n} (µm)	903 µm	
Diamètre moyen en ϕ	1.47 Phi	
Ecart-type en unité ϕ (sorting)	0.88 Phi	
Indice d'asymétrie (Skewness)	-0.46	
Indice d'angulosité (Kurtosis)	1.73	
Teneur en fines (diamètre < 63 µm)	**0.00 %**	

Sources : IN VIVO Environnement – Janvier 2010

Fraction inexistante <0,063 mm	Fraction inexistante 0,063 mm			
				
			Fraction inexistante 20 mm	

Nom : 59G

Mode : 250 µm

Médiane : 309 µm **Faciès :** Sables moyens

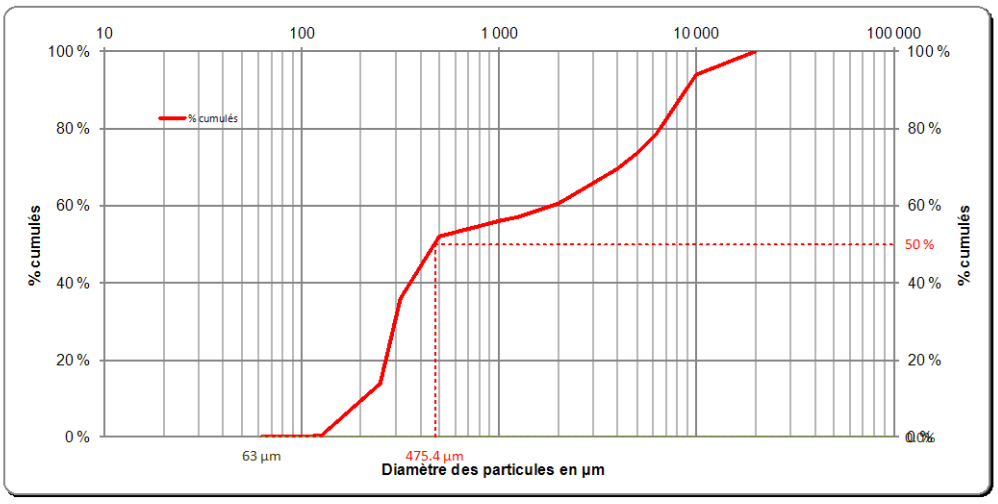
Sources : IN VIVO Environnement – Janvier 2010

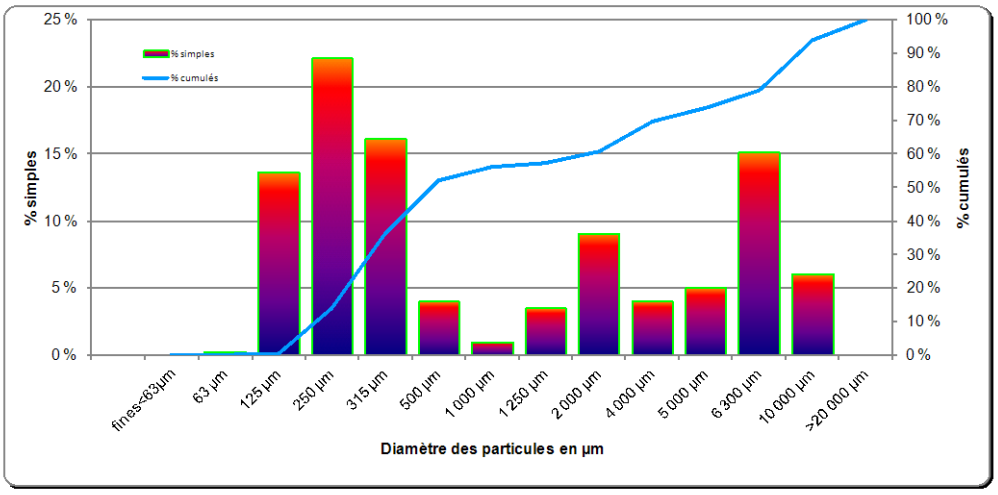
OCCIDENT 2000- PRELEVEMENT DU 01/05/11

Nom de l'échantillon : 60B

Masse totale : 198.50 g

Ouverture du tamis (en µm)	Masses simples (en g)	Masses cumulées (en g)	Fréquence simple en %	Fréquence cumulée en %
fines<63µm	0.00 g	0.00 g	0.00 %	0.00 %
63 µm	0.50 g	0.50 g	0.25 %	0.00 %
125 µm	27.00 g	27.50 g	13.60 %	0.25 %
250 µm	44.00 g	71.50 g	22.17 %	13.85 %
315 µm	32.00 g	103.50 g	16.12 %	36.02 %
500 µm	8.00 g	111.50 g	4.03 %	52.14 %
1 000 µm	2.00 g	113.50 g	1.01 %	56.17 %
1 250 µm	7.00 g	120.50 g	3.53 %	57.18 %
2 000 µm	18.00 g	138.50 g	9.07 %	60.71 %
4 000 µm	8.00 g	146.50 g	4.03 %	69.77 %
5 000 µm	10.00 g	156.50 g	5.04 %	73.80 %
6 300 µm	30.00 g	186.50 g	15.11 %	78.84 %
10 000 µm	12.00 g	198.50 g	6.05 %	93.95 %
>20 000 µm	0.00 g	198.50 g	0.00 %	100.00 %
				100.00 %





Mode (µm)	**250 µm**	**SABLES MOYENS**
$D_{4\eta}$ (µm)	215 µm	
D_{16} (µm)	256 µm	
ϕ	1.96 Phi	
$D_{>\infty}$ (µm)	283 µm	
Médiane D_{50} (µm)	**475 µm**	**SABLES MOYENS**
D_{75} (µm)	5 309 µm	
D_{84} (µm)	7 563 µm	
ϕ	-2.92 Phi	
$D_{>\infty}$ (µm)	9 032 µm	
Diamètre moyen en ϕ	0.04 Phi	
Ecart-type en unité ϕ (sorting)	2.15 Phi	
Indice d'asymétrie (Skewness)	-0.57	
Indice d'angulosité (Kurtosis)	0.59	
Teneur en fines (diamètre < 63 µm)	**0.00 %**	

Sources : IN VIVO Environnement – Janvier 2010

MORPHOSCOPIE DE L'ÉCHANTILLON 60B

Fraction inexistante

<0,063 mm

























Fraction inexistante

20 mm



Nom : 60B

Mode : 250 µm

Médiane : 475 µm

Faciès : Sables moyens

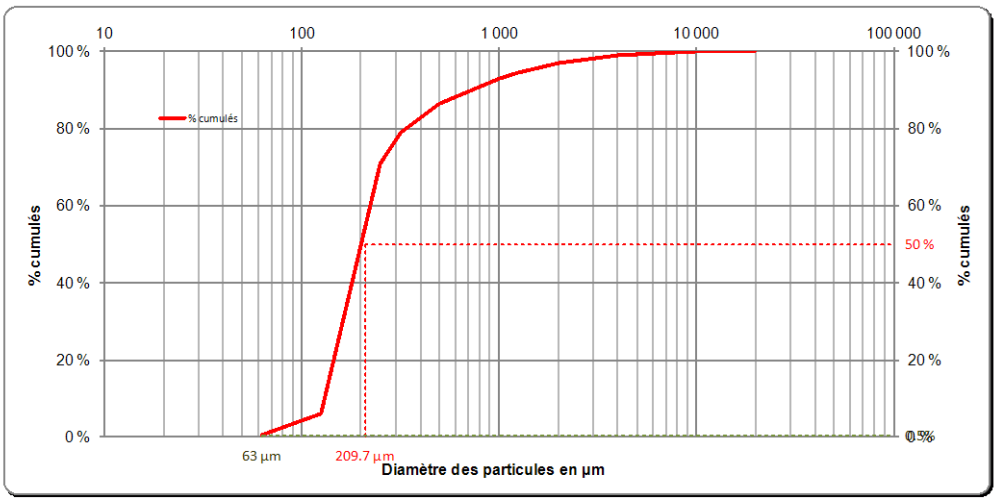
Sources : IN VIVO Environnement – Janvier 2010

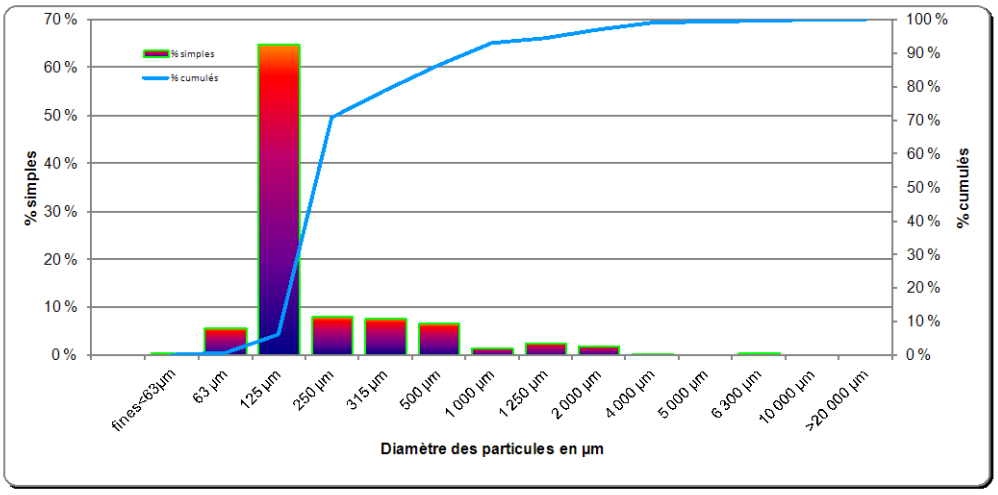
OCCIDENT 2000- PRELEVEMENT DU 29/04/11

Nom de l'échantillon : 61G

Masse totale : 198.80 g

Ouverture du tamis (en µm)	Masses simples (en g)	Masses cumulées (en g)	Fréquence simple en %	Fréquence cumulée en %
fines<63µm	1.00 g	1.00 g	0.50 %	0.00 %
63 µm	11.00 g	12.00 g	5.53 %	0.50 %
125 µm	129.00 g	141.00 g	64.89 %	6.04 %
250 µm	16.00 g	157.00 g	8.05 %	70.93 %
315 µm	15.00 g	172.00 g	7.55 %	78.97 %
500 µm	13.00 g	185.00 g	6.54 %	86.52 %
1 000 µm	3.00 g	188.00 g	1.51 %	93.06 %
1 250 µm	5.00 g	193.00 g	2.52 %	94.57 %
2 000 µm	4.00 g	197.00 g	2.01 %	97.08 %
4 000 µm	0.60 g	197.60 g	0.30 %	99.09 %
5 000 µm	0.30 g	197.90 g	0.15 %	99.40 %
6 300 µm	0.90 g	198.80 g	0.45 %	99.55 %
10 000 µm	0.00 g	198.80 g	0.00 %	100.00 %
>20 000 µm	0.00 g	198.80 g	0.00 %	100.00 %
				100.00 %





Mode (µm)	**125 µm**	**SABLES FINS**
D_{4n} (µm)	133 µm	
D_{16} µm ϕ	144 µm 2.79 Phi	
$D_{>x}$ (µm)	162 µm	
Médiane D_{50} (µm)	**210 µm**	**SABLES FINS**
D_{75} (µm)	283 µm	
D_{84} µm ϕ	438 µm 1.19 Phi	
D_{x4} (µm)	766 µm	
Diamètre moyen en ϕ	2.08 Phi	
Ecart-type en unité ϕ (sorting)	0.95 Phi	
Indice d'asymétrie (Skewness)	-0.42	
Indice d'angulosité (Kurtosis)	1.83	
Teneur en fines (diamètre < 63 µm)	**0.50 %**	

Sources : IN VIVO Environnement – Janvier 2010

MORPHOSCOPIE DE L'ÉCHANTILLON 61G

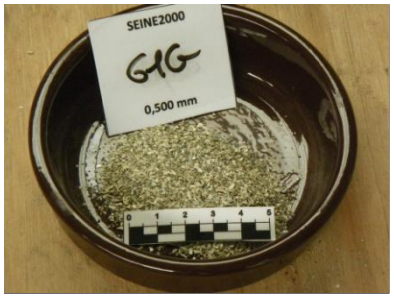


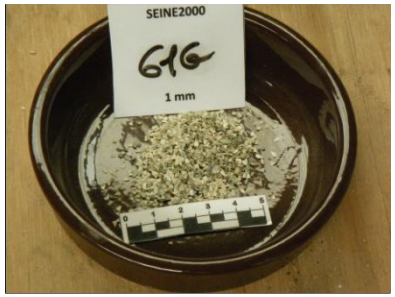






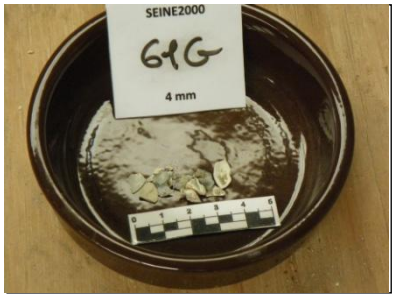


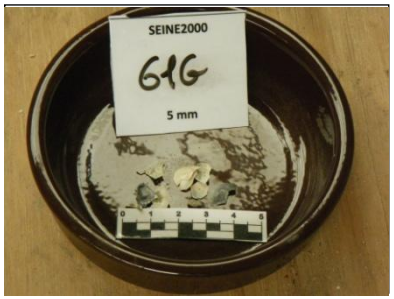














Fraction inexistante

10 mm

Fraction inexistante

20 mm



Nom : 61G

Mode : 125 µm

Médiane : 210 µm

Faciès : Sables fins

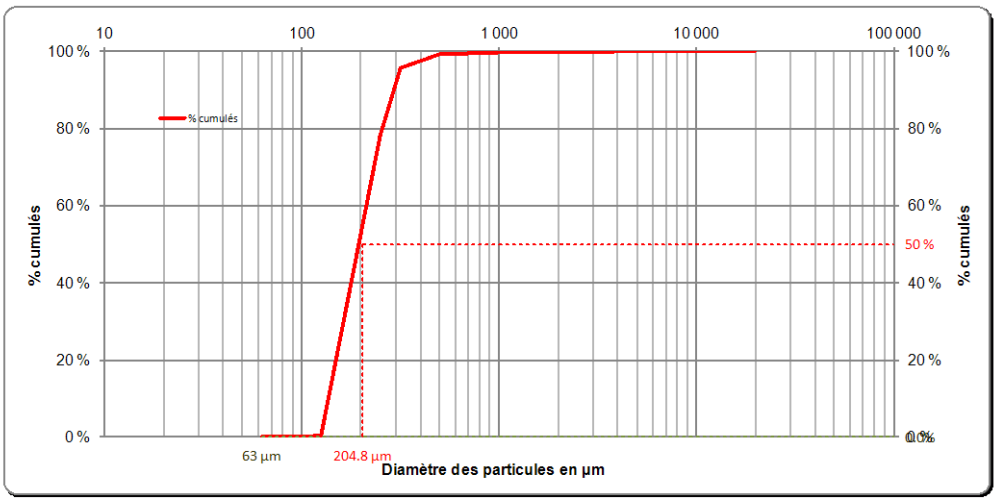
Sources : IN VIVO Environnement – Janvier 2010

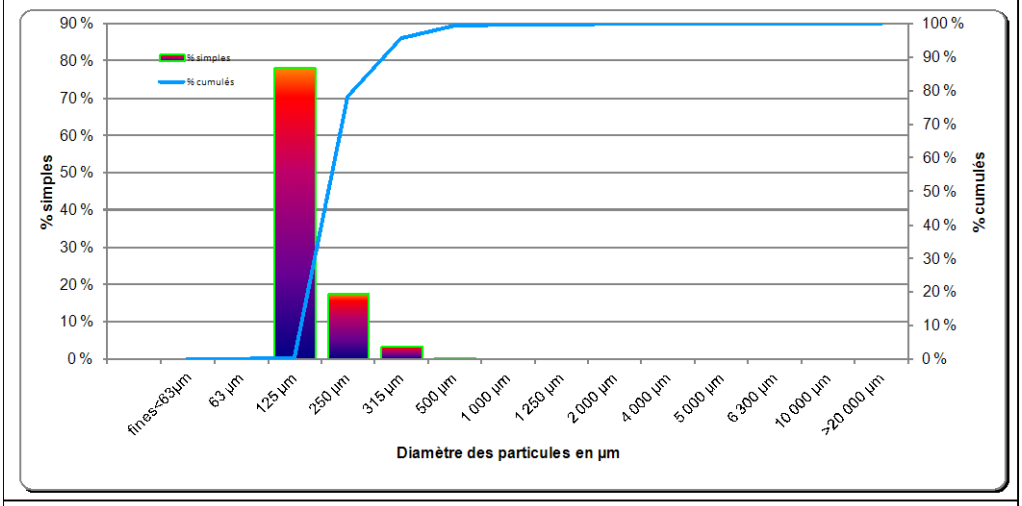
OCCIDENT 2000- PRELEVEMENT DU 19/05/11

Nom de l'échantillon : 62B

Masse totale : 199.90 g

Ouverture du tamis (en µm)	Masses simples (en g)	Masses cumulées (en g)	Fréquence simple en %	Fréquence cumulée en %
fines<63µm	0.00 g	0.00 g	0.00 %	0.00 %
63 µm	0.40 g	0.40 g	0.20 %	0.00 %
125 µm	156.00 g	156.40 g	78.04 %	0.20 %
250 µm	35.00 g	191.40 g	17.51 %	78.24 %
315 µm	7.00 g	198.40 g	3.50 %	95.75 %
500 µm	1.00 g	199.40 g	0.50 %	99.25 %
1 000 µm	0.10 g	199.50 g	0.05 %	99.75 %
1 250 µm	0.20 g	199.70 g	0.10 %	99.80 %
2 000 µm	0.20 g	199.90 g	0.10 %	99.90 %
4 000 µm	0.00 g	199.90 g	0.00 %	100.00 %
5 000 µm	0.00 g	199.90 g	0.00 %	100.00 %
6 300 µm	0.00 g	199.90 g	0.00 %	100.00 %
10 000 µm	0.00 g	199.90 g	0.00 %	100.00 %
>20 000 µm	0.00 g	199.90 g	0.00 %	100.00 %
				100.00 %

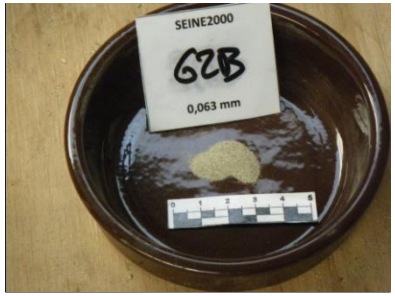
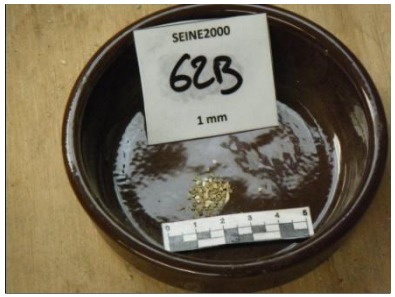
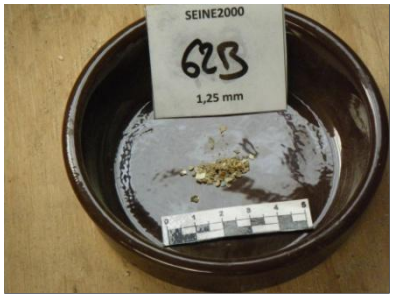
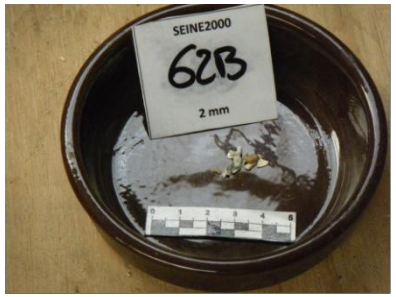




Mode (µm)	**125 µm**	**SABLES FINS**
D_{4n} (µm)	141 µm	
D_{16} µm ϕ	150 µm 2.73 Phi	
D_{25} (µm)	165 µm	
Médiane D_{50} (µm)	**205 µm**	**SABLES FINS**
D_{75} (µm)	245 µm	
D_{84} µm ϕ	271 µm 1.88 Phi	
D_{95} (µm)	294 µm	
Diamètre moyen en ϕ	2.30 Phi	
Ecart-type en unité ϕ (sorting)	0.40 Phi	
Indice d'asymétrie (Skewness)	0.03	
Indice d'angulosité (Kurtosis)	0.89	
Teneur en fines (diamètre < 63 µm)	**0.00 %**	

Sources : IN VIVO Environnement – Janvier 2010

MORPHOSCOPIE DE L'ÉCHANTILLON 62B

Fraction inexistante <0,063 mm				
				Fraction inexistante 4 mm
Fraction inexistante 5 mm	Fraction inexistante 6,3 mm	Fraction inexistante 10 mm	Fraction inexistante 10 mm	

Nom : 62B

Mode : 125 µm

Médiane : 205 µm **Faciès :** Sables fins

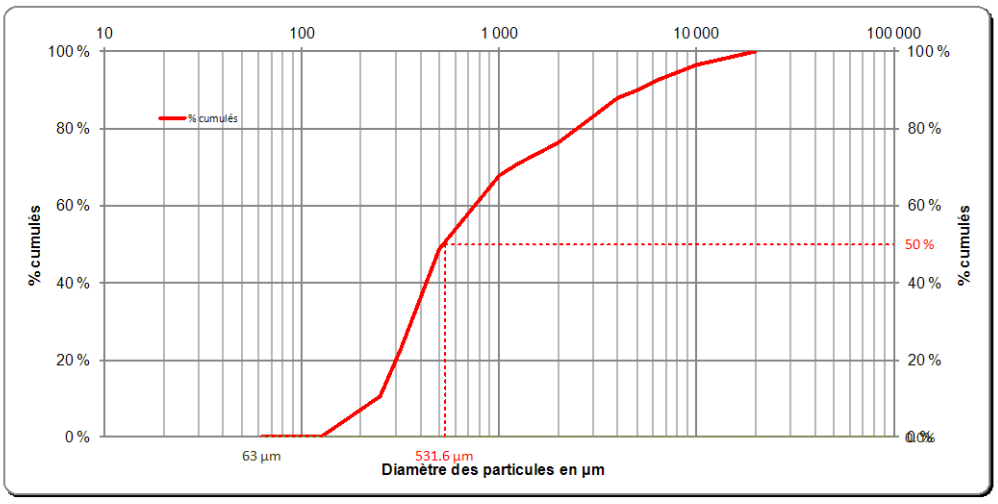
Sources : IN VIVO Environnement – Janvier 2010

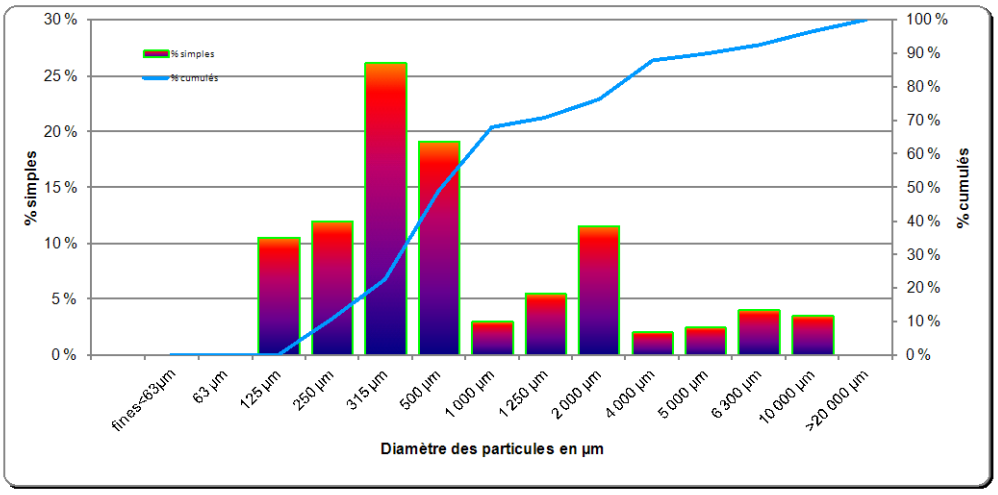
OCCIDENT 2000- PRELEVEMENT DU 01/05/11

Nom de l'échantillon : 64B

Masse totale : 199.20 g

Ouverture du tamis (en µm)	Masses simples (en g)	Masses cumulées (en g)	Fréquence simple en %	Fréquence cumulée en %
fines<63µm	0.00 g	0.00 g	0.00 %	0.00 %
63 µm	0.20 g	0.20 g	0.10 %	0.00 %
125 µm	21.00 g	21.20 g	10.54 %	0.10 %
250 µm	24.00 g	45.20 g	12.05 %	10.64 %
315 µm	52.00 g	97.20 g	26.10 %	22.69 %
500 µm	38.00 g	135.20 g	19.08 %	48.80 %
1 000 µm	6.00 g	141.20 g	3.01 %	67.87 %
1 250 µm	11.00 g	152.20 g	5.52 %	70.88 %
2 000 µm	23.00 g	175.20 g	11.55 %	76.41 %
4 000 µm	4.00 g	179.20 g	2.01 %	87.95 %
5 000 µm	5.00 g	184.20 g	2.51 %	89.96 %
6 300 µm	8.00 g	192.20 g	4.02 %	92.47 %
10 000 µm	7.00 g	199.20 g	3.51 %	96.49 %
>20 000 µm	0.00 g	199.20 g	0.00 %	100.00 %
				100.00 %





Mode (µm)	**315 µm**	**SABLES MOYENS**
D_{4n} (µm)	242 µm	
D_{16} µm ϕ	279 µm 1.84 Phi	
$D_{>x}$ (µm)	331 µm	
Médiane D_{50} (µm)	**532 µm**	**SABLES GROSSIERS**
D_{75} (µm)	1 809 µm	
D_{84} µm ϕ	3 315 µm -1.73 Phi	
$D_{>n}$ (µm)	5 021 µm	
Diamètre moyen en ϕ	0.34 Phi	
Ecart-type en unité ϕ (sorting)	1.74 Phi	
Indice d'asymétrie (Skewness)	-0.46	
Indice d'angulosité (Kurtosis)	0.93	
Teneur en fines (diamètre < 63 µm)	**0.00 %**	

Sources : IN VIVO Environnement – Janvier 2010

MORPHOSCOPIE DE L'ÉCHANTILLON 64B

Fraction inexistante

<0,063 mm

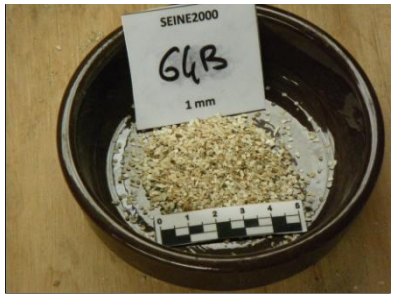
























Fraction inexistante

20 mm



Nom : 64B

Mode : 315 µm

Médiane : 532 µm

Faciès : Sables grossiers

Sources : IN VIVO Environnement – Janvier 2010

MORPHOSCOPIE DE L'ÉCHANTILLON 66G

Fraction inexistante <0,063 mm				
				Fraction inexistante 4 mm
Fraction inexistante 5 mm	Fraction inexistante 6,3 mm	Fraction inexistante 10 mm	Fraction inexistante 20 mm	

Nom : 66G

Mode : 125 µm

Médiane : 255 µm **Faciès :** Sables moyens

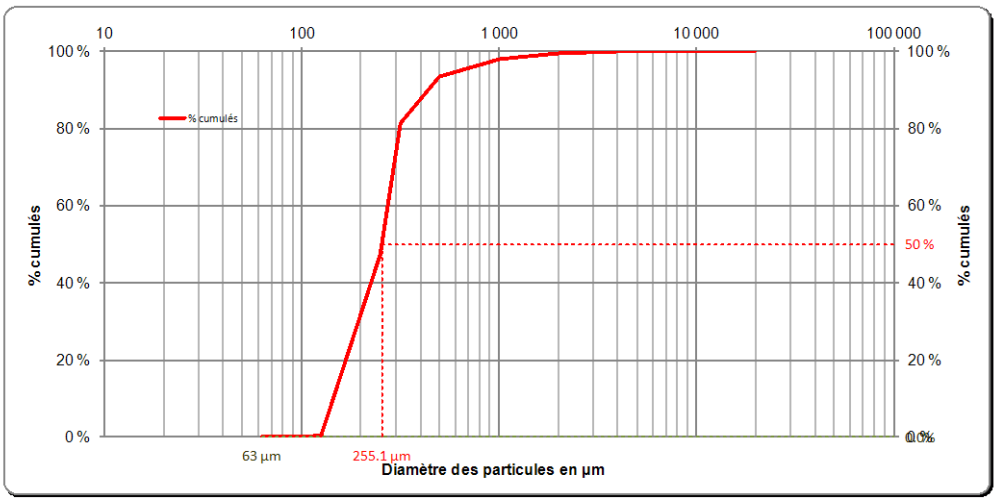
Sources : IN VIVO Environnement – Janvier 2010

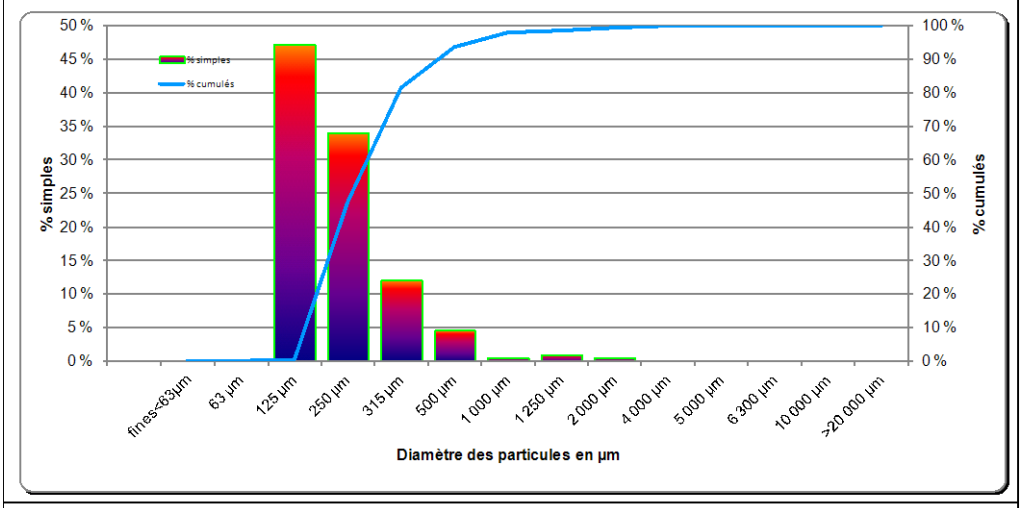
OCCIDENT 2000- PRELEVEMENT DU 19/05/11

Nom de l'échantillon : 66G

Masse totale : 199.42 g

Ouverture du tamis (en µm)	Masses simples (en g)	Masses cumulées (en g)	Fréquence simple en %	Fréquence cumulée en %
fines<63µm	0.00 g	0.00 g	0.00 %	0.00 %
63 µm	0.42 g	0.42 g	0.21 %	0.00 %
125 µm	94.00 g	94.42 g	47.14 %	0.21 %
250 µm	68.00 g	162.42 g	34.10 %	47.35 %
315 µm	24.00 g	186.42 g	12.03 %	81.45 %
500 µm	9.00 g	195.42 g	4.51 %	93.48 %
1 000 µm	1.00 g	196.42 g	0.50 %	97.99 %
1 250 µm	2.00 g	198.42 g	1.00 %	98.50 %
2 000 µm	1.00 g	199.42 g	0.50 %	99.50 %
4 000 µm	0.00 g	199.42 g	0.00 %	100.00 %
5 000 µm	0.00 g	199.42 g	0.00 %	100.00 %
6 300 µm	0.00 g	199.42 g	0.00 %	100.00 %
10 000 µm	0.00 g	199.42 g	0.00 %	100.00 %
>20 000 µm	0.00 g	199.42 g	0.00 %	100.00 %
				100.00 %





Mode (µm)	**125 µm**	**SABLES FINS**
D_{4n} (µm)	151 µm	
D_{16} µm ϕ	167 µm 2.58 Phi	
D_{25} (µm)	191 µm	
Médiane D_{50} (µm)	**255 µm**	**SABLES MOYENS**
D_{75} (µm)	303 µm	
D_{84} µm ϕ	354 µm 1.50 Phi	
D_{95} (µm)	446 µm	
Diamètre moyen en ϕ	2.02 Phi	
Ecart-type en unité ϕ (sorting)	0.62 Phi	
Indice d'asymétrie (Skewness)	-0.05	
Indice d'angulosité (Kurtosis)	1.40	
Teneur en fines (diamètre < 63 µm)	**0.00 %**	

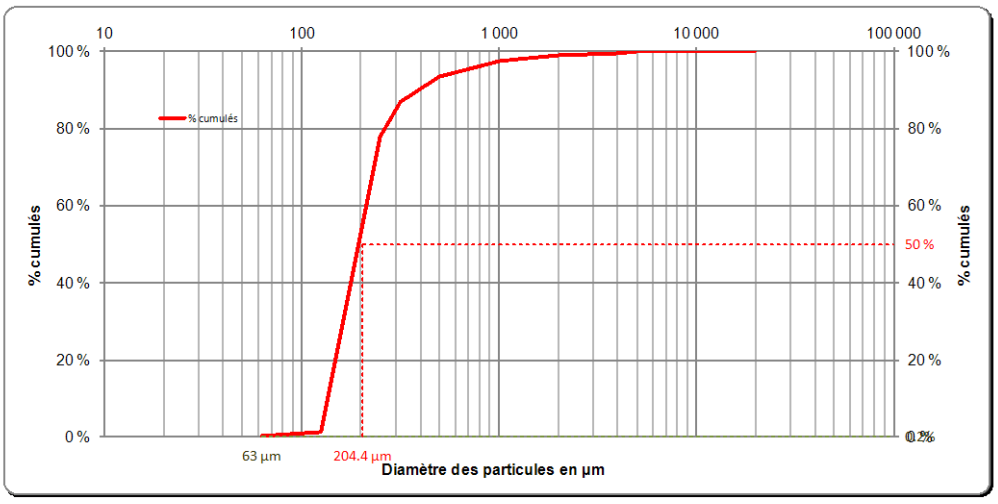
Sources : IN VIVO Environnement – Janvier 2010

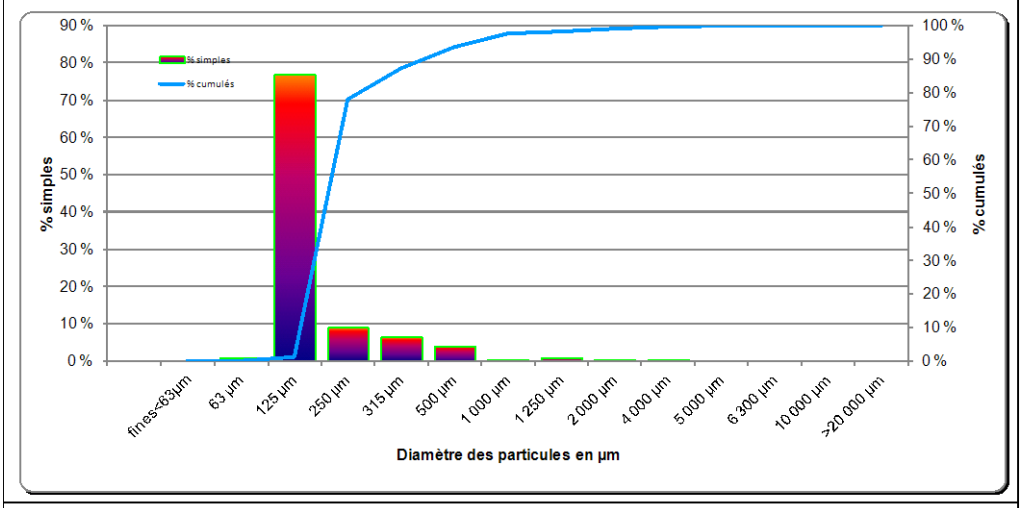
OCCIDENT 2000- PRELEVEMENT DU 29/04/11

Nom de l'échantillon : 67B

Masse totale : 198.90 g

Ouverture du tamis (en µm)	Masses simples (en g)	Masses cumulées (en g)	Fréquence simple en %	Fréquence cumulée en %
fines<63µm	0.30 g	0.30 g	0.15 %	0.00 %
63 µm	2.00 g	2.30 g	1.01 %	0.15 %
125 µm	153.00 g	155.30 g	76.92 %	1.16 %
250 µm	18.00 g	173.30 g	9.05 %	78.08 %
315 µm	13.00 g	186.30 g	6.54 %	87.13 %
500 µm	8.00 g	194.30 g	4.02 %	93.67 %
1 000 µm	1.00 g	195.30 g	0.50 %	97.69 %
1 250 µm	2.00 g	197.30 g	1.01 %	98.19 %
2 000 µm	1.00 g	198.30 g	0.50 %	99.20 %
4 000 µm	0.60 g	198.90 g	0.30 %	99.70 %
5 000 µm	0.00 g	198.90 g	0.00 %	100.00 %
6 300 µm	0.00 g	198.90 g	0.00 %	100.00 %
10 000 µm	0.00 g	198.90 g	0.00 %	100.00 %
>20 000 µm	0.00 g	198.90 g	0.00 %	100.00 %
				100.00 %

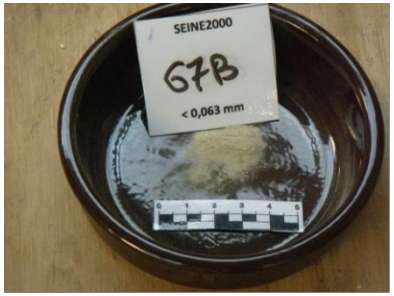




Mode (µm)	**125 µm**	**SABLES FINS**
D_{41} (µm)	139 µm	
D_{16} (µm) / ϕ	149 µm / 2.75 Phi	
D_{25} (µm)	164 µm	
Médiane D_{50} (µm)	**204 µm**	**SABLES FINS**
D_{75} (µm)	245 µm	
D_{84} (µm) / ϕ	293 µm / 1.77 Phi	
D_{95} (µm)	396 µm	
Diamètre moyen en ϕ	2.27 Phi	
Ecart-type en unité ϕ (sorting)	0.60 Phi	
Indice d'asymétrie (Skewness)	-0.26	
Indice d'angulosité (Kurtosis)	1.65	
Teneur en fines (diamètre < 63 µm)	**0.15 %**	

Sources : IN VIVO Environnement – Janvier 2010

MORPHOSCOPIE DE L'ÉCHANTILLON 67B





















Fraction inexistante 5 mm	Fraction inexistante 6,3 mm	Fraction inexistante 10 mm	Fraction inexistante 20 mm	

Nom : 67B

Mode : 125 µm

Médiane : 204 µm **Faciès :** Sables fins

Sources : IN VIVO Environnement – Janvier 2010

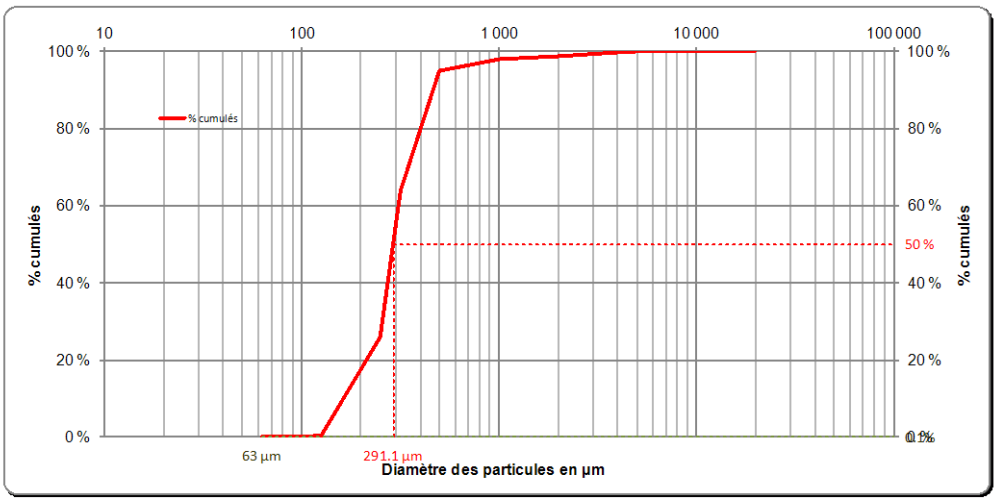
RÉSULTATS DE L'ANALYSE GRANULOMÉTRIQUE POUR L'ECHANTILLON 71B

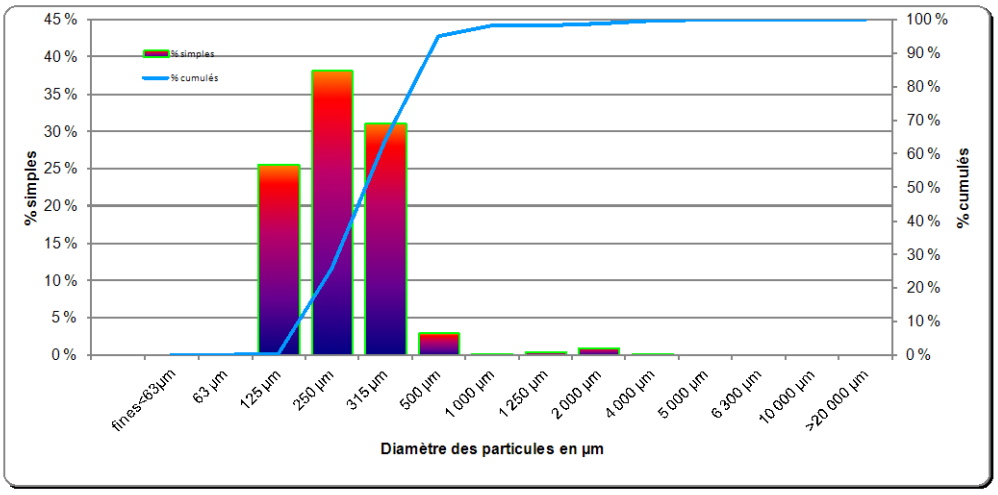
OCCIDENT 2000- PRELEVEMENT DU 19/05/11

Nom de l'échantillon : 71B

Masse totale : 199.40 g

Ouverture du tamis (en µm)	Masses simples (en g)	Masses cumulées (en g)	Fréquence simple en %	Fréquence cumulée en %
fines<63µm	0.10 g	0.10 g	0.05 %	0.00 %
63 µm	0.50 g	0.60 g	0.25 %	0.05 %
125 µm	51.00 g	51.60 g	25.58 %	0.30 %
250 µm	76.00 g	127.60 g	38.11 %	25.88 %
315 µm	62.00 g	189.60 g	31.09 %	63.99 %
500 µm	6.00 g	195.60 g	3.01 %	95.09 %
1 000 µm	0.30 g	195.90 g	0.15 %	98.09 %
1 250 µm	1.00 g	196.90 g	0.50 %	98.24 %
2 000 µm	2.00 g	198.90 g	1.00 %	98.75 %
4 000 µm	0.50 g	199.40 g	0.25 %	99.75 %
5 000 µm	0.00 g	199.40 g	0.00 %	100.00 %
6 300 µm	0.00 g	199.40 g	0.00 %	100.00 %
10 000 µm	0.00 g	199.40 g	0.00 %	100.00 %
>20 000 µm	0.00 g	199.40 g	0.00 %	100.00 %
				100.00 %



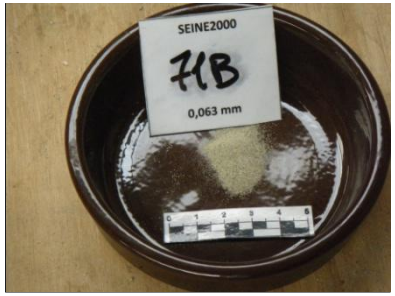


Mode (µm)	**250 µm**	**SABLES MOYENS**
D_{4n} (µm)	172 µm	
D_{16} µm ϕ	202 µm 2.31 Phi	
$D_{>x}$ (µm)	246 µm	
Médiane D_{50} (µm)	**291 µm**	**SABLES MOYENS**
D_{75} (µm)	380 µm	
D_{84} µm ϕ	434 µm 1.20 Phi	
D_{xn} (µm)	470 µm	
Diamètre moyen en ϕ	1.76 Phi	
Ecart-type en unité ϕ (sorting)	0.54 Phi	
Indice d'asymétrie (Skewness)	0.04	
Indice d'angulosité (Kurtosis)	1.14	
Teneur en fines (diamètre < 63 µm)	**0.05 %**	

Sources : IN VIVO Environnement – Janvier 2010

MORPHOSCOPIE DE L'ÉCHANTILLON 71B



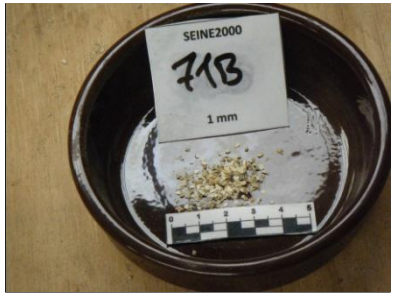


















Fraction inexistante 5 mm	Fraction inexistante 6,3 mm	Fraction inexistante 10 mm	Fraction inexistante 20 mm	

Nom : 71B

Mode : 250 µm

Médiane : 291 µm

Faciès : Sables moyens

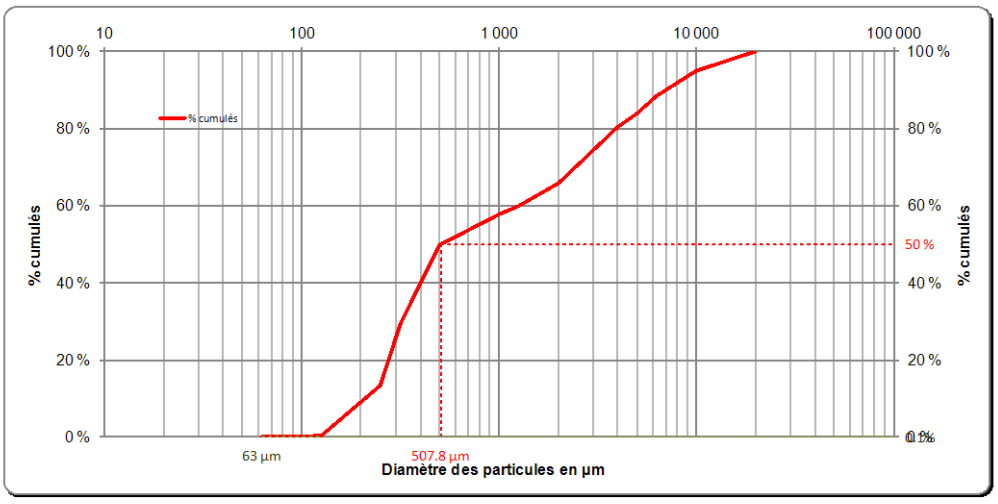
Sources : IN VIVO Environnement – Janvier 2010

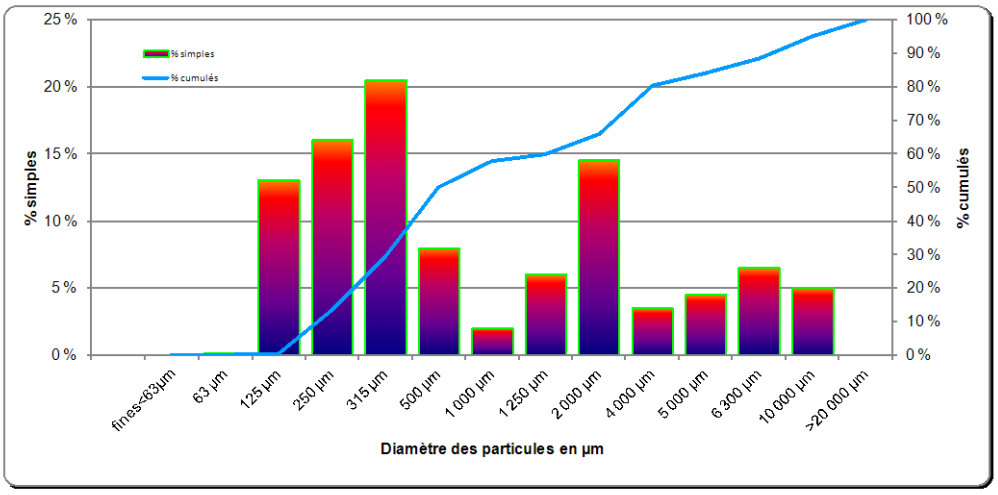
OCCIDENT 2000- PRELEVEMENT DU 01/05/11

Nom de l'échantillon : 72G

Masse totale : 199.50 g

Ouverture du tamis (en µm)	Masses simples (en g)	Masses cumulées (en g)	Fréquence simple en %	Fréquence cumulée en %
fines<63µm	0.10 g	0.10 g	0.05 %	0.00 %
63 µm	0.40 g	0.50 g	0.20 %	0.05 %
125 µm	26.00 g	26.50 g	13.03 %	0.25 %
250 µm	32.00 g	58.50 g	16.04 %	13.28 %
315 µm	41.00 g	99.50 g	20.55 %	29.32 %
500 µm	16.00 g	115.50 g	8.02 %	49.87 %
1 000 µm	4.00 g	119.50 g	2.01 %	57.89 %
1 250 µm	12.00 g	131.50 g	6.02 %	59.90 %
2 000 µm	29.00 g	160.50 g	14.54 %	65.91 %
4 000 µm	7.00 g	167.50 g	3.51 %	80.45 %
5 000 µm	9.00 g	176.50 g	4.51 %	83.96 %
6 300 µm	13.00 g	189.50 g	6.52 %	88.47 %
10 000 µm	10.00 g	199.50 g	5.01 %	94.99 %
>20 000 µm	0.00 g	199.50 g	0.00 %	100.00 %
				100.00 %





Mode (µm)	**315 µm**	**SABLES MOYENS**
D_{4n} (µm)	219 µm	
D_{16} (µm) / ϕ	261 µm / 1.94 Phi	
D_{2n} (µm)	297 µm	
Médiane D_{50} (µm)	**508 µm**	**SABLES GROSSIERS**
D_{75} (µm)	3 250 µm	
D_{84} (µm) / ϕ	5 012 µm / -2.33 Phi	
D_{9n} (µm)	7 168 µm	
Diamètre moyen en ϕ	0.20 Phi	
Ecart-type en unité ϕ (sorting)	1.96 Phi	
Indice d'asymétrie (Skewness)	-0.51	
Indice d'angulosité (Kurtosis)	0.70	
Teneur en fines (diamètre < 63 µm)	**0.05 %**	

Sources : IN VIVO Environnement – Janvier 2010

MORPHOSCOPIE DE L'ÉCHANTILLON 72G



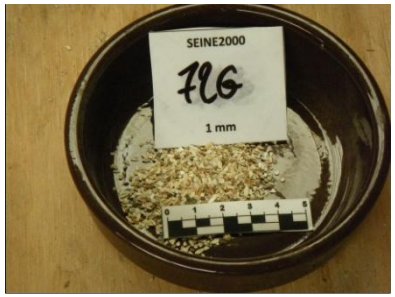








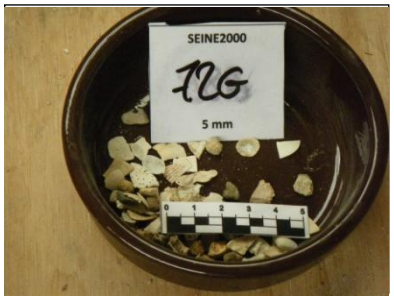
















Fraction inexistante

20 mm



Nom : 72G

Mode : 315 µm

Médiane : 508 µm

Faciès : Sables grossiers

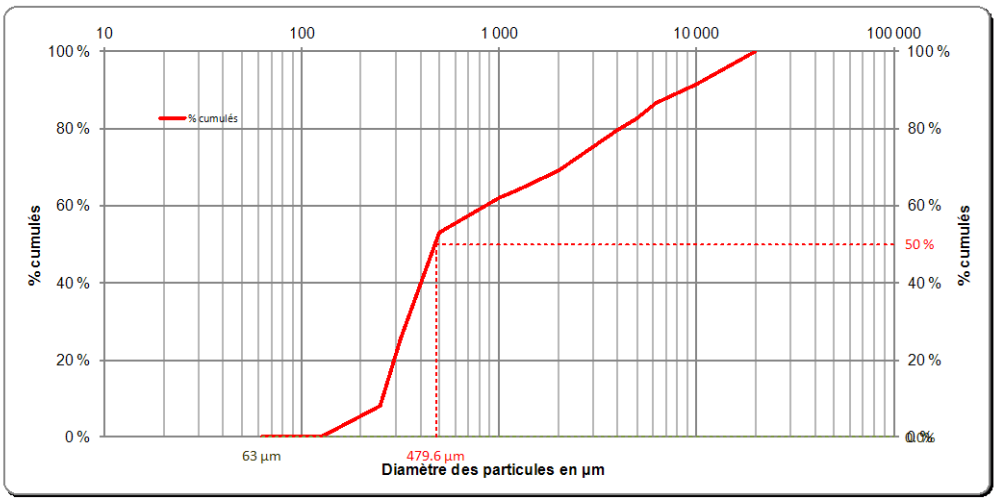
Sources : IN VIVO Environnement – Janvier 2010

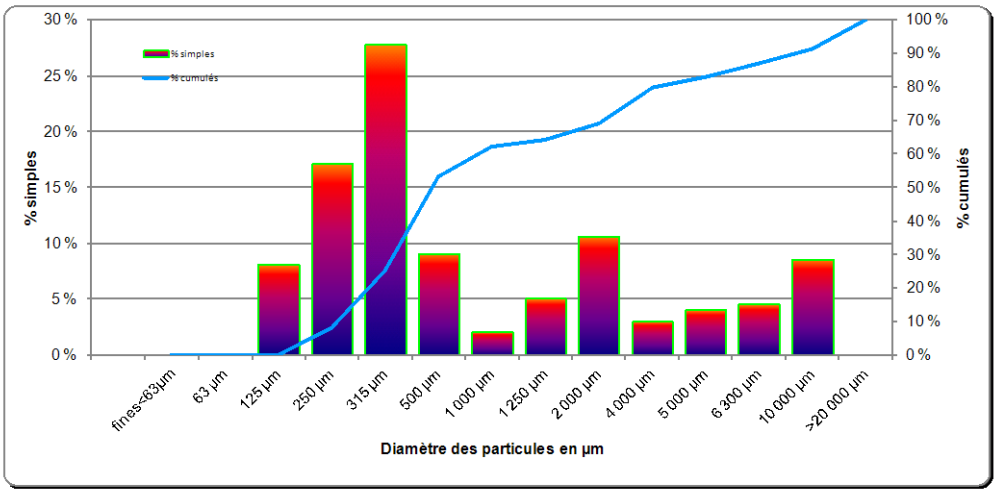
OCCIDENT 2000- PRELEVEMENT DU 01/15/11

Nom de l'échantillon : 76B

Masse totale : 198.13 g

Ouverture du tamis (en µm)	Masses simples (en g)	Masses cumulées (en g)	Fréquence simple en %	Fréquence cumulée en %
fines<63µm	0.00 g	0.00 g	0.00 %	0.00 %
63 µm	0.13 g	0.13 g	0.07 %	0.00 %
125 µm	16.00 g	16.13 g	8.08 %	0.07 %
250 µm	34.00 g	50.13 g	17.16 %	8.14 %
315 µm	55.00 g	105.13 g	27.76 %	25.30 %
500 µm	18.00 g	123.13 g	9.08 %	53.06 %
1 000 µm	4.00 g	127.13 g	2.02 %	62.15 %
1 250 µm	10.00 g	137.13 g	5.05 %	64.16 %
2 000 µm	21.00 g	158.13 g	10.60 %	69.21 %
4 000 µm	6.00 g	164.13 g	3.03 %	79.81 %
5 000 µm	8.00 g	172.13 g	4.04 %	82.84 %
6 300 µm	9.00 g	181.13 g	4.54 %	86.88 %
10 000 µm	17.00 g	198.13 g	8.58 %	91.42 %
>20 000 µm	0.00 g	198.13 g	0.00 %	100.00 %
				100.00 %





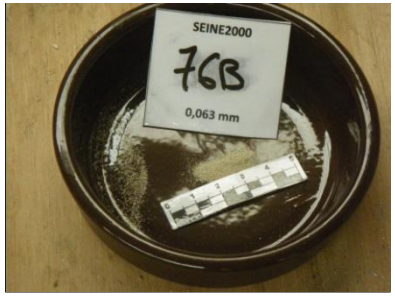
Mode (µm)	**315 µm**	**SABLES MOYENS**
D_{4n} (µm)	257 µm	
D_{16} µm ϕ	280 µm 1.84 Phi	
$D_{>x}$ (µm)	314 µm	
Médiane D_{50} (µm)	**480 µm**	**SABLES MOYENS**
D_{75} (µm)	3 092 µm	
D_{84} µm ϕ	5 374 µm -2.43 Phi	
$D_{>n}$ (µm)	8 844 µm	
Diamètre moyen en ϕ	0.16 Phi	
Ecart-type en unité ϕ (sorting)	2.00 Phi	
Indice d'asymétrie (Skewness)	-0.61	
Indice d'angulosité (Kurtosis)	0.76	
Teneur en fines (diamètre < 63 µm)	**0.00 %**	

Sources : IN VIVO Environnement – Janvier 2010

MORPHOSCOPIE DE L'ÉCHANTILLON 76B

Fraction inexistante

<0,063 mm

























Fraction inexistante

20 mm



Nom : 76B

Mode : 315 µm

Médiane : 480 µm

Faciès : Sables moyens

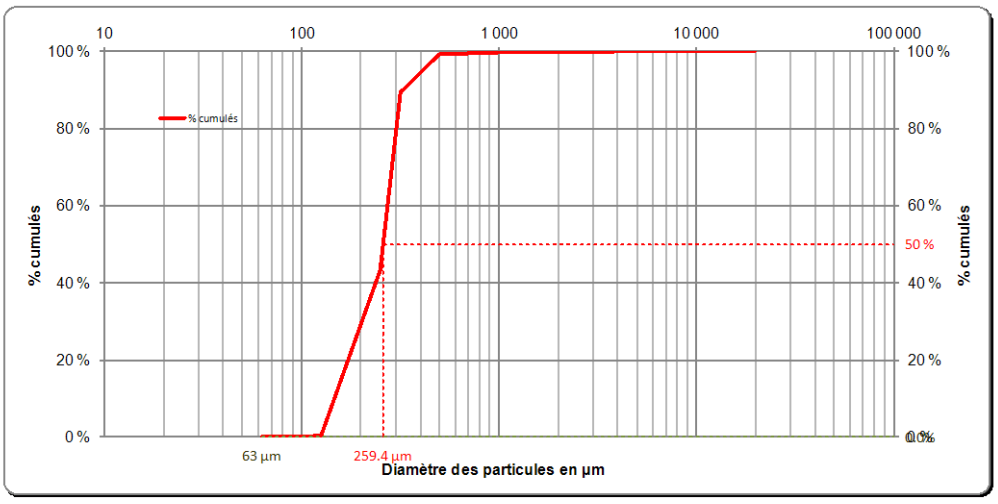
Sources : IN VIVO Environnement – Janvier 2010

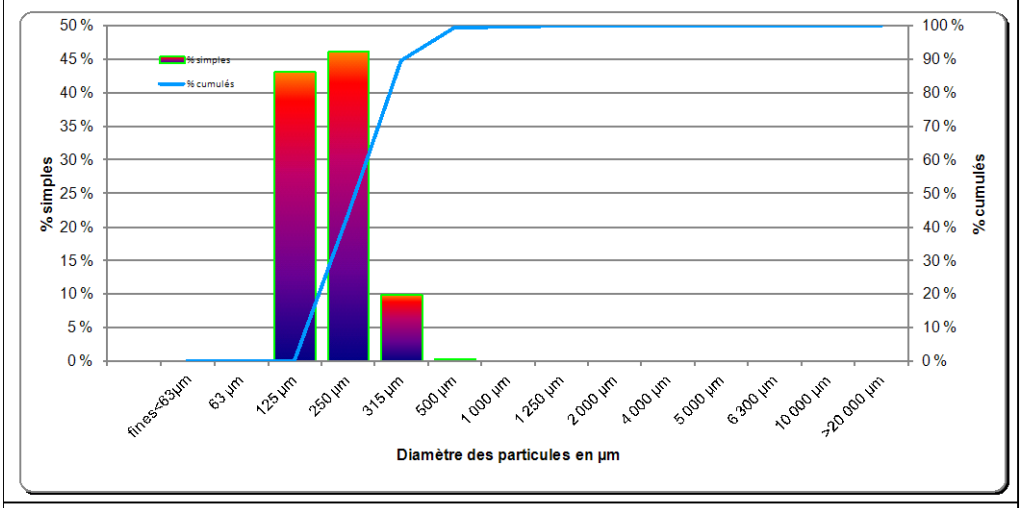
OCCIDENT 2000- PRELEVEMENT DU 01/05/11

Nom de l'échantillon : 78G

Masse totale : 201.50 g

Ouverture du tamis (en µm)	Masses simples (en g)	Masses cumulées (en g)	Fréquence simple en %	Fréquence cumulée en %
fines<63µm	0.00 g	0.00 g	0.00 %	0.00 %
63 µm	0.30 g	0.30 g	0.15 %	0.00 %
125 µm	87.00 g	87.30 g	43.18 %	0.15 %
250 µm	93.00 g	180.30 g	46.15 %	43.33 %
315 µm	20.00 g	200.30 g	9.93 %	89.48 %
500 µm	0.80 g	201.10 g	0.40 %	99.40 %
1 000 µm	0.10 g	201.20 g	0.05 %	99.80 %
1 250 µm	0.20 g	201.40 g	0.10 %	99.85 %
2 000 µm	0.10 g	201.50 g	0.05 %	99.95 %
4 000 µm	0.00 g	201.50 g	0.00 %	100.00 %
5 000 µm	0.00 g	201.50 g	0.00 %	100.00 %
6 300 µm	0.00 g	201.50 g	0.00 %	100.00 %
10 000 µm	0.00 g	201.50 g	0.00 %	100.00 %
>20 000 µm	0.00 g	201.50 g	0.00 %	100.00 %
				100.00 %





Mode (µm)	**250 µm**	**SABLES MOYENS**
D_{4h} (µm)	154 µm	
D_{16} µm ϕ	171 µm 2.55 Phi	
$D_{>x}$ (µm)	197 µm	
Médiane D_{50} (µm)	**259 µm**	**SABLES MOYENS**
D_{75} (µm)	295 µm	
D_{84} µm ϕ	307 µm 1.70 Phi	
D_{x4} (µm)	325 µm	
Diamètre moyen en ϕ	2.07 Phi	
Ecart-type en unité ϕ (sorting)	0.45 Phi	
Indice d'asymétrie (Skewness)	0.28	
Indice d'angulosité (Kurtosis)	1.12	
Teneur en fines (diamètre < 63 µm)	**0.00 %**	

Sources : IN VIVO Environnement – Janvier 2010

MORPHOSCOPIE DE L'ÉCHANTILLON 78G

Fraction inexistante

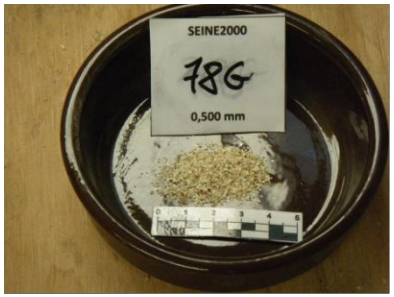
<0,063 mm

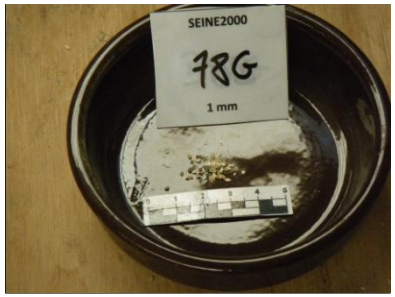


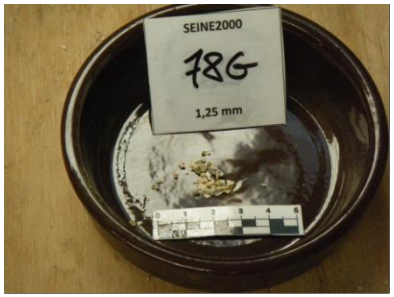


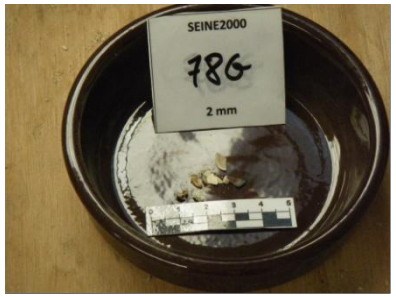












Fraction inexistante

4 mm

Fraction inexistante

5 mm

Fraction inexistante

6,3 mm

Fraction inexistante

10 mm

Fraction inexistante

20 mm



Nom : 78G

Mode : 250 µm

Médiane : 259 µm

Faciès : Sables moyens

Sources : IN VIVO Environnement – Janvier 2010

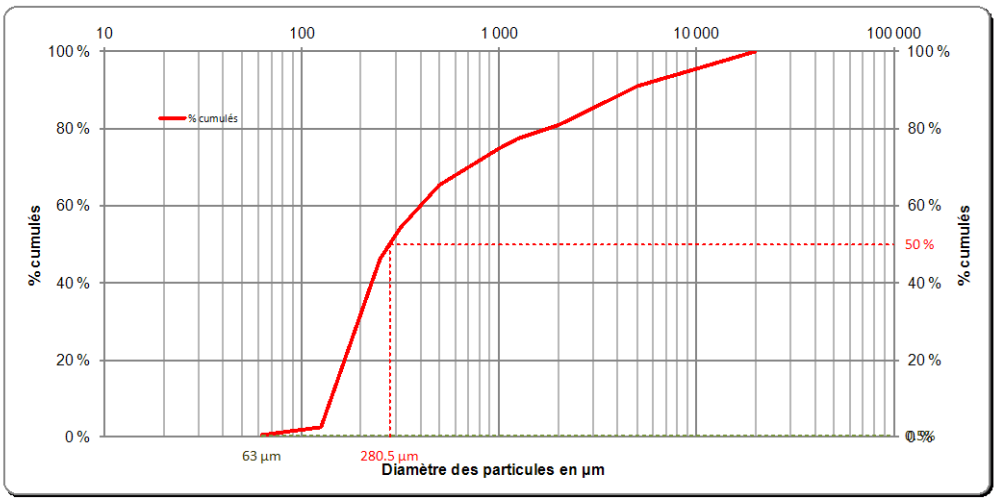
RÉSULTATS DE L'ANALYSE GRANULOMÉTRIQUE POUR L'ECHANTILLON 81B

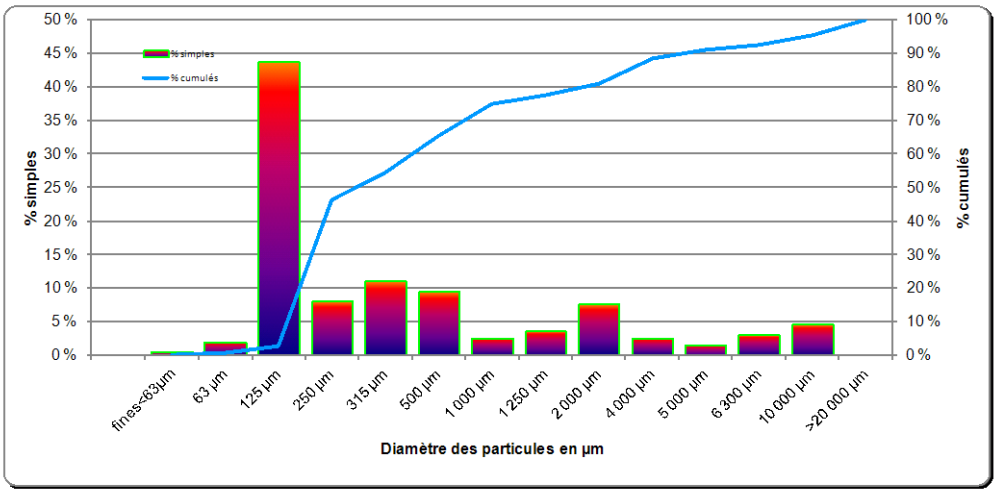
OCCIDENT 2000- PRELEVEMENT DU 29/04/11

Nom de l'échantillon : 81B

Masse totale : 199.00 g

Ouverture du tamis (en µm)	Masses simples (en g)	Masses cumulées (en g)	Fréquence simple en %	Fréquence cumulée en %
fines<63µm	1.00 g	1.00 g	0.50 %	0.00 %
63 µm	4.00 g	5.00 g	2.01 %	0.50 %
125 µm	87.00 g	92.00 g	43.72 %	2.51 %
250 µm	16.00 g	108.00 g	8.04 %	46.23 %
315 µm	22.00 g	130.00 g	11.06 %	54.27 %
500 µm	19.00 g	149.00 g	9.55 %	65.33 %
1 000 µm	5.00 g	154.00 g	2.51 %	74.87 %
1 250 µm	7.00 g	161.00 g	3.52 %	77.39 %
2 000 µm	15.00 g	176.00 g	7.54 %	80.90 %
4 000 µm	5.00 g	181.00 g	2.51 %	88.44 %
5 000 µm	3.00 g	184.00 g	1.51 %	90.95 %
6 300 µm	6.00 g	190.00 g	3.02 %	92.46 %
10 000 µm	9.00 g	199.00 g	4.52 %	95.48 %
>20 000 µm	0.00 g	199.00 g	0.00 %	100.00 %
				100.00 %

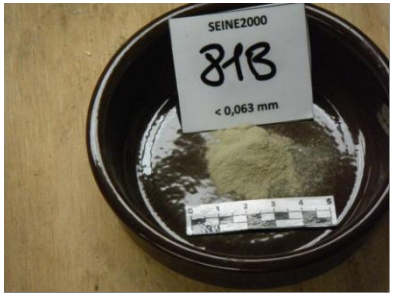




Mode (µm)	**125 µm**	**SABLES FINS**
D_{4h} (µm)	146 µm	
D_{16} (µm) / ϕ	164 µm / 2.61 Phi	
D_{25} (µm)	189 µm	
Médiane D_{50} (µm)	**280 µm**	**SABLES MOYENS**
D_{75} (µm)	1 013 µm	
D_{84} (µm) / ϕ	2 821 µm / -1.50 Phi	
D_{95} (µm)	4 620 µm	
Diamètre moyen en ϕ	0.98 Phi	
Ecart-type en unité ϕ (sorting)	1.96 Phi	
Indice d'asymétrie (Skewness)	-0.63	
Indice d'angulosité (Kurtosis)	1.04	
Teneur en fines (diamètre < 63 µm)	**0.50 %**	

Sources : IN VIVO Environnement – Janvier 2010

MORPHOSCOPIE DE L'ÉCHANTILLON 81B



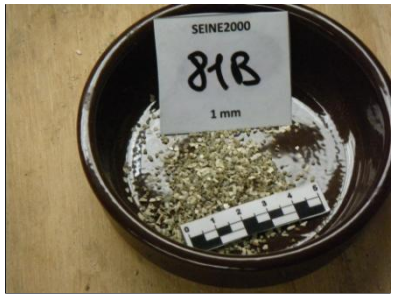
























Fraction inexistante

20 mm



Nom : 81B

Mode : 125 µm

Médiane : 280 µm

Faciès : Sables moyens

Sources : IN VIVO Environnement – Janvier 2010

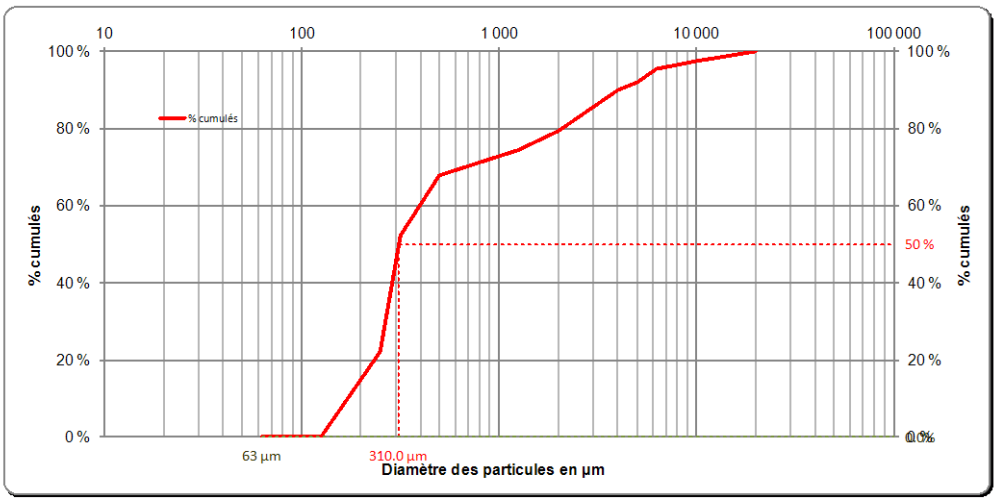
RÉSULTATS DE L'ANALYSE GRANULOMÉTRIQUE POUR L'ECHANTILLON 83B

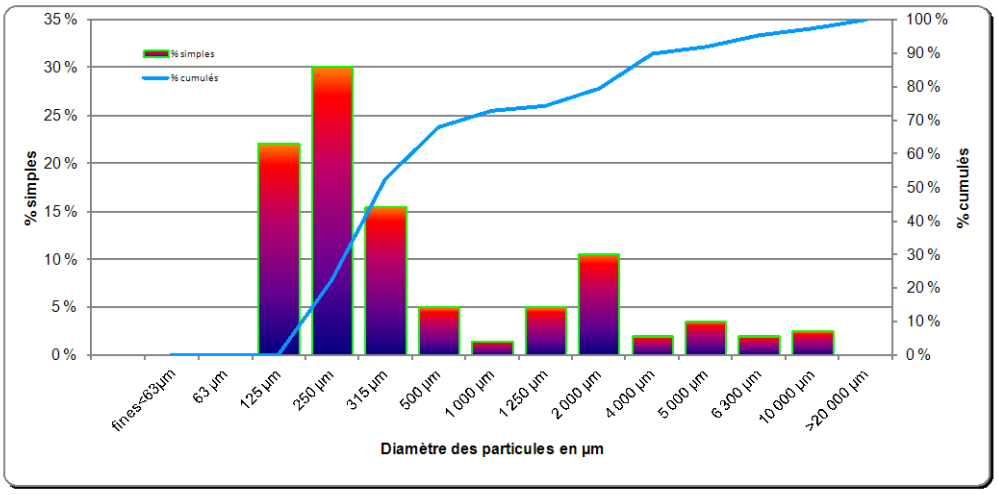
OCCIDENT 2000- PRELEVEMENT DU 01/05/11

Nom de l'échantillon : 83B

Masse totale : 199.18 g

Ouverture du tamis (en µm)	Masses simples (en g)	Masses cumulées (en g)	Fréquence simple en %	Fréquence cumulée en %
fines<63µm	0.00 g	0.00 g	0.00 %	0.00 %
63 µm	0.18 g	0.18 g	0.09 %	0.00 %
125 µm	44.00 g	44.18 g	22.09 %	0.09 %
250 µm	60.00 g	104.18 g	30.12 %	22.18 %
315 µm	31.00 g	135.18 g	15.56 %	52.30 %
500 µm	10.00 g	145.18 g	5.02 %	67.87 %
1 000 µm	3.00 g	148.18 g	1.51 %	72.89 %
1 250 µm	10.00 g	158.18 g	5.02 %	74.40 %
2 000 µm	21.00 g	179.18 g	10.54 %	79.42 %
4 000 µm	4.00 g	183.18 g	2.01 %	89.96 %
5 000 µm	7.00 g	190.18 g	3.51 %	91.97 %
6 300 µm	4.00 g	194.18 g	2.01 %	95.48 %
10 000 µm	5.00 g	199.18 g	2.51 %	97.49 %
>20 000 µm	0.00 g	199.18 g	0.00 %	100.00 %
				100.00 %





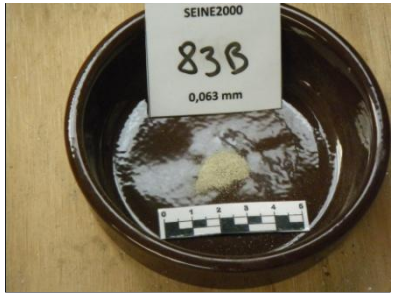
Mode (µm)	**250 µm**	**SABLES MOYENS**
D_{4n} (µm)	181 µm	
D_{16} µm ϕ	215 µm 2.22 Phi	
$D_{>x}$ (µm)	256 µm	
Médiane D_{50} (µm)	**310 µm**	**SABLES MOYENS**
D_{75} (µm)	1 340 µm	
D_{84} µm ϕ	2 870 µm -1.52 Phi	
D_{xn} (µm)	4 021 µm	
Diamètre moyen en ϕ	0.80 Phi	
Ecart-type en unité ϕ (sorting)	1.74 Phi	
Indice d'asymétrie (Skewness)	-0.67	
Indice d'angulosité (Kurtosis)	0.91	
Teneur en fines (diamètre < 63 µm)	**0.00 %**	

Sources : IN VIVO Environnement – Janvier 2010

MORPHOSCOPIE DE L'ÉCHANTILLON 83B

Fraction inexistante

<0,063 mm

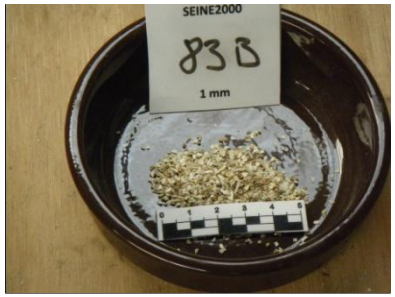
























Fraction inexistante

20 mm



Nom : 83B

Mode : 250 µm

Médiane : 310 µm

Faciès : Sables moyens

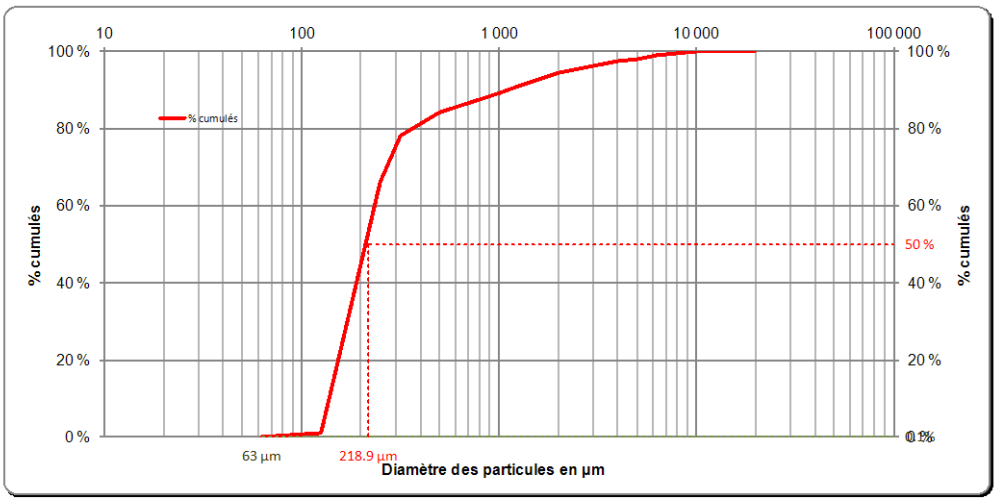
Sources : IN VIVO Environnement – Janvier 2010

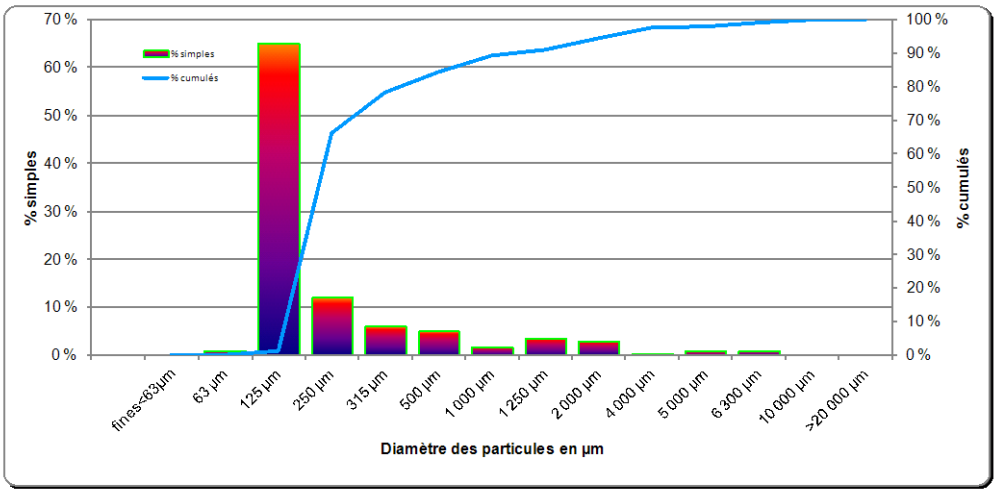
OCCIDENT 2000- PRELEVEMENT DU 29/04/11

Nom de l'échantillon : 84B

Masse totale : 198.35 g

Ouverture du tamis (en µm)	Masses simples (en g)	Masses cumulées (en g)	Fréquence simple en %	Fréquence cumulée en %
fines<63µm	0.25 g	0.25 g	0.13 %	0.00 %
63 µm	2.00 g	2.25 g	1.01 %	0.13 %
125 µm	129.00 g	131.25 g	65.04 %	1.13 %
250 µm	24.00 g	155.25 g	12.10 %	66.17 %
315 µm	12.00 g	167.25 g	6.05 %	78.27 %
500 µm	10.00 g	177.25 g	5.04 %	84.32 %
1 000 µm	3.40 g	180.65 g	1.71 %	89.36 %
1 250 µm	7.00 g	187.65 g	3.53 %	91.08 %
2 000 µm	6.00 g	193.65 g	3.02 %	94.61 %
4 000 µm	0.70 g	194.35 g	0.35 %	97.63 %
5 000 µm	2.00 g	196.35 g	1.01 %	97.98 %
6 300 µm	2.00 g	198.35 g	1.01 %	98.99 %
10 000 µm	0.00 g	198.35 g	0.00 %	100.00 %
>20 000 µm	0.00 g	198.35 g	0.00 %	100.00 %
				100.00 %

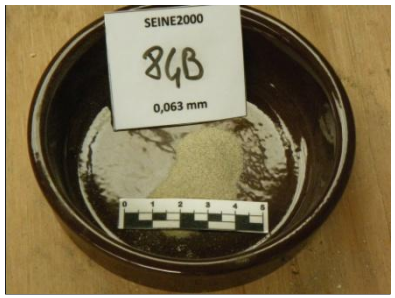




Mode (µm)	**125 µm**	**SABLES FINS**
D_{4n} (µm)	142 µm	
D_{16} µm ϕ	154 µm 2.70 Phi	
$D_{>x}$ (µm)	171 µm	
Médiane D_{50} (µm)	**219 µm**	**SABLES FINS**
D_{75} (µm)	297 µm	
D_{84} µm ϕ	490 µm 1.03 Phi	
$D_{>n}$ (µm)	1 093 µm	
Diamètre moyen en ϕ	1.97 Phi	
Ecart-type en unité ϕ (sorting)	1.04 Phi	
Indice d'asymétrie (Skewness)	-0.52	
Indice d'angulosité (Kurtosis)	2.10	
Teneur en fines (diamètre < 63 µm)	**0.13 %**	

Sources : IN VIVO Environnement – Janvier 2010

























Fraction inexistante

10 mm

Fraction inexistante

20 mm



Nom : 84B

Mode : 125 µm

Médiane : 219 µm **Faciès :** Sables fins

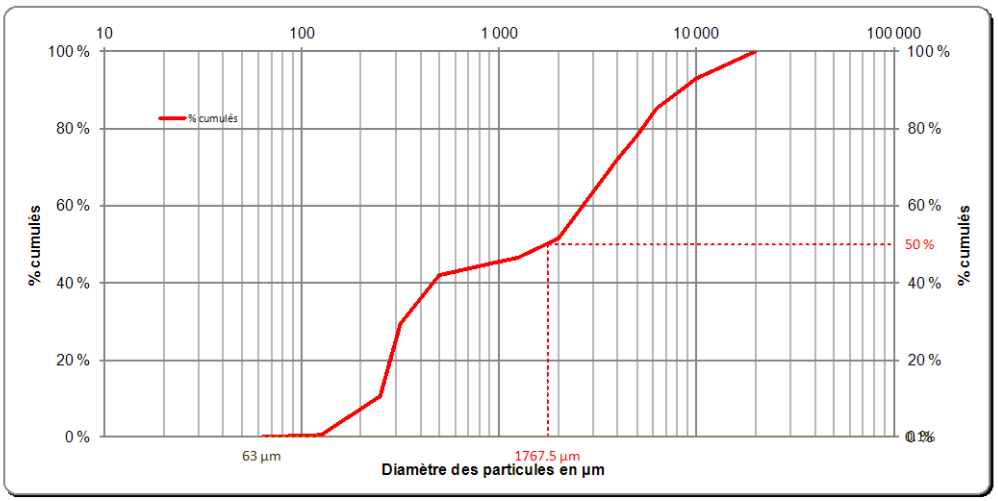
Sources : IN VIVO Environnement – Janvier 2010

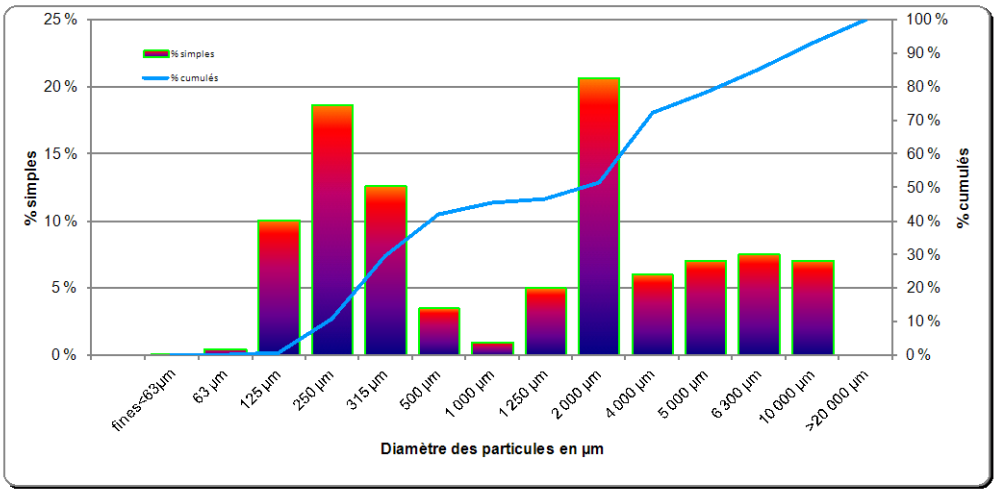
OCCIDENT 2000- PRELEVEMENT DU 01/05/11

Nom de l'échantillon : 86G

Masse totale : 198.20 g

Ouverture du tamis (en µm)	Masses simples (en g)	Masses cumulées (en g)	Fréquence simple en %	Fréquence cumulée en %
fines<63µm	0.20 g	0.20 g	0.10 %	0.00 %
63 µm	1.00 g	1.20 g	0.50 %	0.10 %
125 µm	20.00 g	21.20 g	10.09 %	0.61 %
250 µm	37.00 g	58.20 g	18.67 %	10.70 %
315 µm	25.00 g	83.20 g	12.61 %	29.36 %
500 µm	7.00 g	90.20 g	3.53 %	41.98 %
1 000 µm	2.00 g	92.20 g	1.01 %	45.51 %
1 250 µm	10.00 g	102.20 g	5.05 %	46.52 %
2 000 µm	41.00 g	143.20 g	20.69 %	51.56 %
4 000 µm	12.00 g	155.20 g	6.05 %	72.25 %
5 000 µm	14.00 g	169.20 g	7.06 %	78.30 %
6 300 µm	15.00 g	184.20 g	7.57 %	85.37 %
10 000 µm	14.00 g	198.20 g	7.06 %	92.94 %
>20 000 µm	0.00 g	198.20 g	0.00 %	100.00 %
				100.00 %





Mode (µm)	**2 000 µm**	**GRANULES**
D_{4n} (µm)	241 µm	
D_{16} µm ϕ	268 µm 1.90 Phi	
$D_{>x}$ (µm)	300 µm	
Médiane D_{50} (µm)	**1 768 µm**	**SABLES TRES GROSSIERS**
D_{75} (µm)	4 454 µm	
D_{84} µm ϕ	6 048 µm -2.60 Phi	
$D_{>n}$ (µm)	8 564 µm	
Diamètre moyen en ϕ	-0.51 Phi	
Ecart-type en unité ϕ (sorting)	2.06 Phi	
Indice d'asymétrie (Skewness)	0.14	
Indice d'angulosité (Kurtosis)	0.65	
Teneur en fines (diamètre < 63 µm)	**0.10 %**	

Sources : IN VIVO Environnement – Janvier 2010



























Fraction inexistante

20 mm



Nom : 86G

Mode : 2000 µm

Médiane : 1768 µm **Faciès :** Sables très grossiers

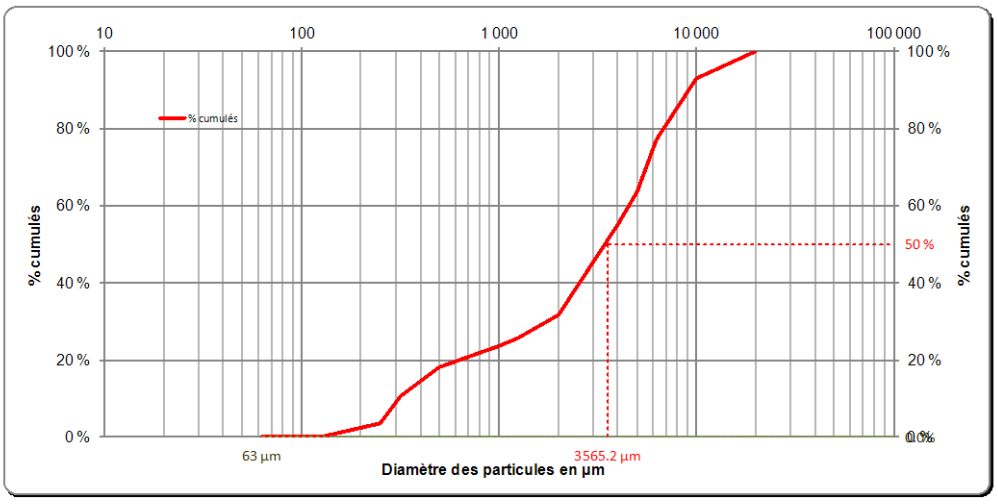
Sources : IN VIVO Environnement – Janvier 2010

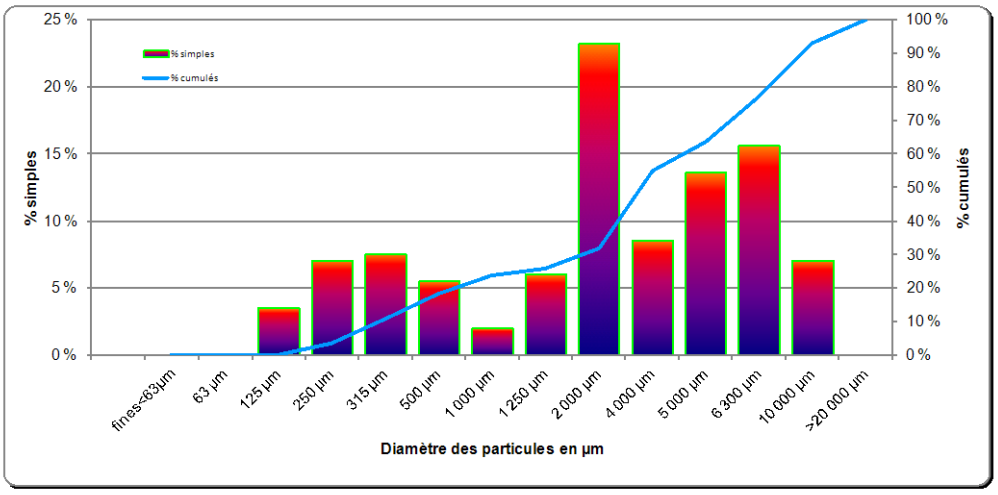
OCCIDENT 2000- PRELEVEMENT DU 01/05/11

Nom de l'échantillon : 87B

Masse totale : 198.00 g

Ouverture du tamis (en µm)	Masses simples (en g)	Masses cumulées (en g)	Fréquence simple en %	Fréquence cumulée en %
fines<63µm	0.00 g	0.00 g	0.00 %	0.00 %
63 µm	0.00 g	0.00 g	0.00 %	0.00 %
125 µm	7.00 g	7.00 g	3.54 %	0.00 %
250 µm	14.00 g	21.00 g	7.07 %	3.54 %
315 µm	15.00 g	36.00 g	7.58 %	10.61 %
500 µm	11.00 g	47.00 g	5.56 %	18.18 %
1 000 µm	4.00 g	51.00 g	2.02 %	23.74 %
1 250 µm	12.00 g	63.00 g	6.06 %	25.76 %
2 000 µm	46.00 g	109.00 g	23.23 %	31.82 %
4 000 µm	17.00 g	126.00 g	8.59 %	55.05 %
5 000 µm	27.00 g	153.00 g	13.64 %	63.64 %
6 300 µm	31.00 g	184.00 g	15.66 %	77.27 %
10 000 µm	14.00 g	198.00 g	7.07 %	92.93 %
>20 000 µm	0.00 g	198.00 g	0.00 %	100.00 %
				100.00 %





Mode (µm)	**2 000 µm**	**GRANULES**
$D_{4\eta}$ (µm)	309 µm	
D_{16} µm ϕ	447 µm 1.16 Phi	
$D_{>\infty}$ (µm)	1 156 µm	
Médiane D_{50} (µm)	**3 565 µm**	**GRANULES**
D_{75} (µm)	6 083 µm	
D_{84} µm ϕ	7 890 µm -2.98 Phi	
$D_{>\infty}$ (µm)	9 308 µm	
Diamètre moyen en ϕ	-1.22 Phi	
Ecart-type en unité ϕ (sorting)	1.89 Phi	
Indice d'asymétrie (Skewness)	0.39	
Indice d'angulosité (Kurtosis)	0.96	
Teneur en fines (diamètre < 63 µm)	**0.00 %**	

Sources : IN VIVO Environnement – Janvier 2010

MORPHOSCOPIE DE L'ÉCHANTILLON 87B

Fraction inexistante <0,063 mm	Fraction inexistante 0,063 mm			
				
			Fraction inexistante 10 mm	

Nom : 87B

Mode : 2000 µm

Médiane : 3565 µm **Faciès :** granules

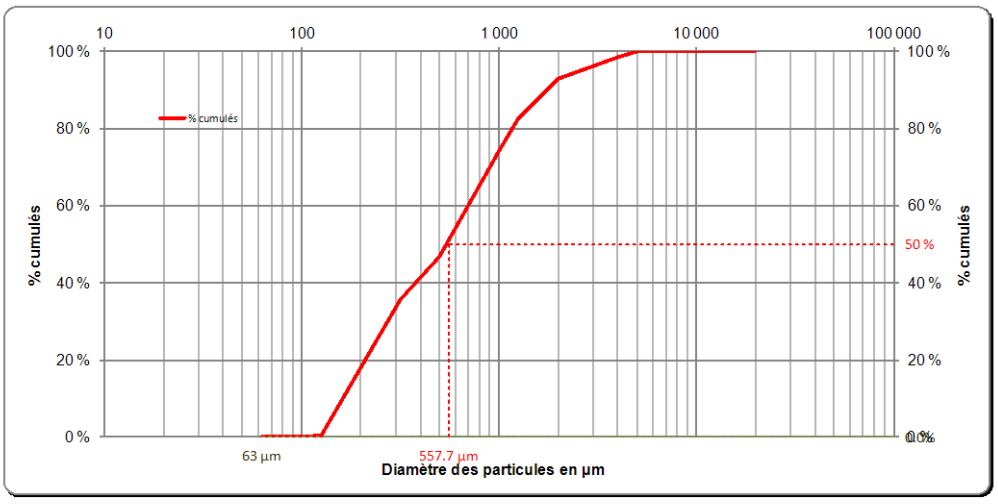
Sources : IN VIVO Environnement – Janvier 2010

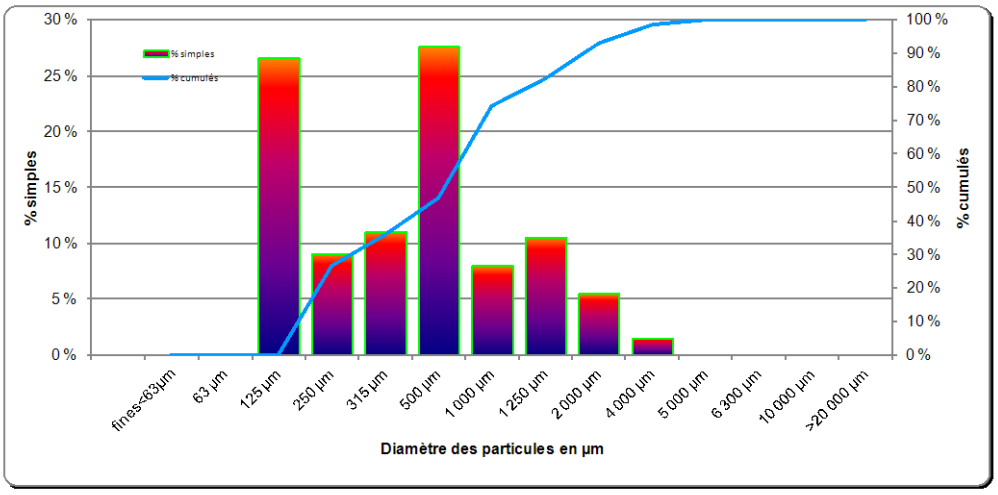
OCCIDENT 2000- PRELEVEMENT DU 29/04/11

Nom de l'échantillon : 88G

Masse totale : 199.30 g

Ouverture du tamis (en µm)	Masses simples (en g)	Masses cumulées (en g)	Fréquence simple en %	Fréquence cumulée en %
fines<63µm	0.00 g	0.00 g	0.00 %	0.00 %
63 µm	0.30 g	0.30 g	0.15 %	0.00 %
125 µm	53.00 g	53.30 g	26.59 %	0.15 %
250 µm	18.00 g	71.30 g	9.03 %	26.74 %
315 µm	22.00 g	93.30 g	11.04 %	35.78 %
500 µm	55.00 g	148.30 g	27.60 %	46.81 %
1 000 µm	16.00 g	164.30 g	8.03 %	74.41 %
1 250 µm	21.00 g	185.30 g	10.54 %	82.44 %
2 000 µm	11.00 g	196.30 g	5.52 %	92.98 %
4 000 µm	3.00 g	199.30 g	1.51 %	98.49 %
5 000 µm	0.00 g	199.30 g	0.00 %	100.00 %
6 300 µm	0.00 g	199.30 g	0.00 %	100.00 %
10 000 µm	0.00 g	199.30 g	0.00 %	100.00 %
>20 000 µm	0.00 g	199.30 g	0.00 %	100.00 %
				100.00 %

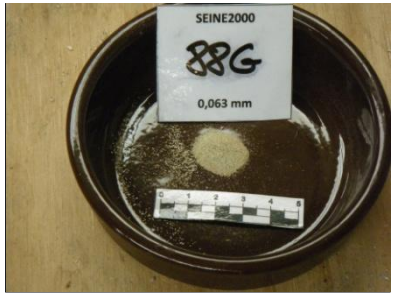
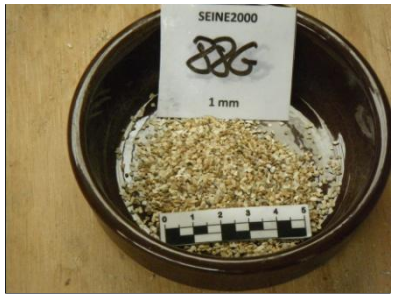




Mode (µm)	**500 µm**	**SABLES GROSSIERS**
D_{4n} (µm)	171 µm	
D_{16} µm ϕ	200 µm 2.33 Phi	
$D_{>x}$ (µm)	242 µm	
Médiane D_{50} (µm)	**558 µm**	**SABLES GROSSIERS**
D_{75} (µm)	1 018 µm	
D_{84} µm ϕ	1 361 µm -0.44 Phi	
$D_{>n}$ (µm)	1 788 µm	
Diamètre moyen en ϕ	0.91 Phi	
Ecart-type en unité ϕ (sorting)	1.33 Phi	
Indice d'asymétrie (Skewness)	-0.01	
Indice d'angulosité (Kurtosis)	0.83	
Teneur en fines (diamètre < 63 µm)	**0.00 %**	

Sources : IN VIVO Environnement – Janvier 2010

MORPHOSCOPIE DE L'ÉCHANTILLON 88G

Fraction inexistante <0,063 mm				
				
Fraction inexistante 5 mm	Fraction inexistante 6,3 mm	Fraction inexistante 10 mm	Fraction inexistante 20 mm	

Nom : 88G

Mode : 500 µm

Médiane : 558 µm **Faciès :** Sables grossiers

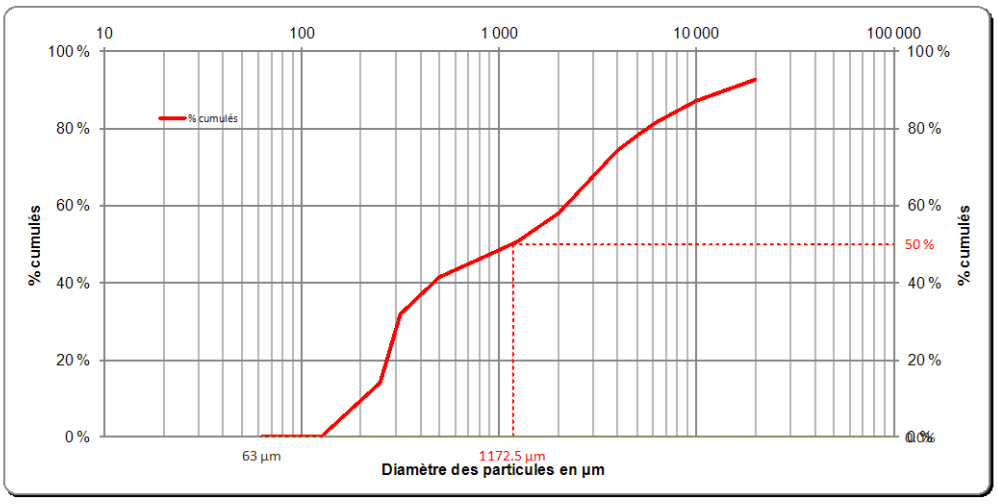
Sources : IN VIVO Environnement – Janvier 2010

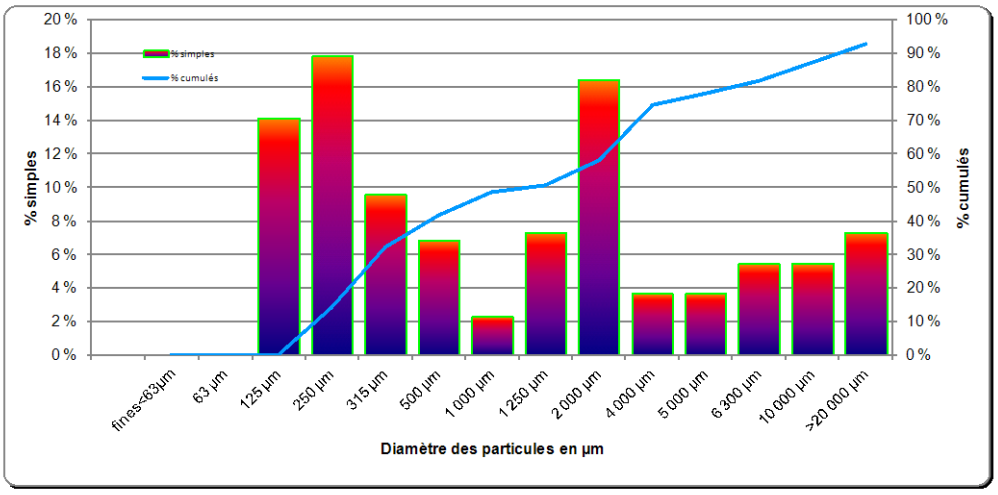
OCCIDENT 2000- PRELEVEMENT DU 01/05/11

Nom de l'échantillon : 90B

Masse totale : 219.10 g

Ouverture du tamis (en µm)	Masses simples (en g)	Masses cumulées (en g)	Fréquence simple en %	Fréquence cumulée en %
fines<63µm	0.00 g	0.00 g	0.00 %	0.00 %
63 µm	0.10 g	0.10 g	0.05 %	0.00 %
125 µm	31.00 g	31.10 g	14.15 %	0.05 %
250 µm	39.00 g	70.10 g	17.80 %	14.19 %
315 µm	21.00 g	91.10 g	9.58 %	31.99 %
500 µm	15.00 g	106.10 g	6.85 %	41.58 %
1 000 µm	5.00 g	111.10 g	2.28 %	48.43 %
1 250 µm	16.00 g	127.10 g	7.30 %	50.71 %
2 000 µm	36.00 g	163.10 g	16.43 %	58.01 %
4 000 µm	8.00 g	171.10 g	3.65 %	74.44 %
5 000 µm	8.00 g	179.10 g	3.65 %	78.09 %
6 300 µm	12.00 g	191.10 g	5.48 %	81.74 %
10 000 µm	12.00 g	203.10 g	5.48 %	87.22 %
>20 000 µm	16.00 g	219.10 g	7.30 %	92.70 %
				100.00 %





Mode (µm)	**250 µm**	**SABLES MOYENS**
$D_{4\phi}$ (µm)	213 µm	
D_{16} (µm)	257 µm	
ϕ	1.96 Phi	
$D_{2\phi}$ (µm)	289 µm	
Médiane D_{50} (µm)	**1 173 µm**	**SABLES TRES GROSSIERS**
D_{75} (µm)	4 153 µm	
D_{84} (µm)	7 824 µm	
ϕ	-2.97 Phi	
$D_{0\phi}$ (µm)	15 075 µm	
Diamètre moyen en ϕ	-0.41 Phi	
Ecart-type en unité ϕ (sorting)	–	
Indice d'asymétrie (Skewness)	–	
Indice d'angulosité (Kurtosis)	–	
Teneur en fines (diamètre < 63 µm)	0.00 %	

Sources : IN VIVO Environnement – Janvier 2010

MORPHOSCOPIE DE L'ÉCHANTILLON 90B

Fraction inexistante

<0,063 mm





























Nom : 90B

Mode : 250 µm

Médiane : 1173 µm

Faciès : Sables très grossiers

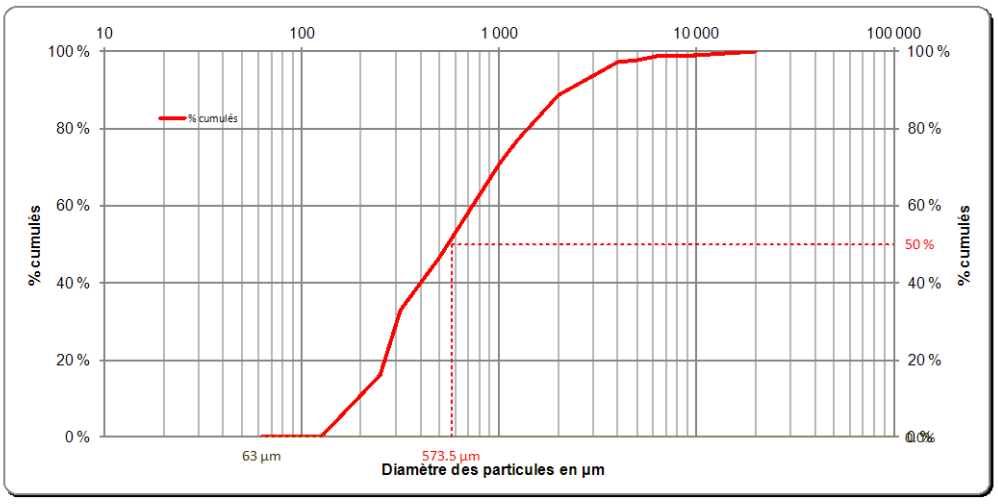
Sources : IN VIVO Environnement – Janvier 2010

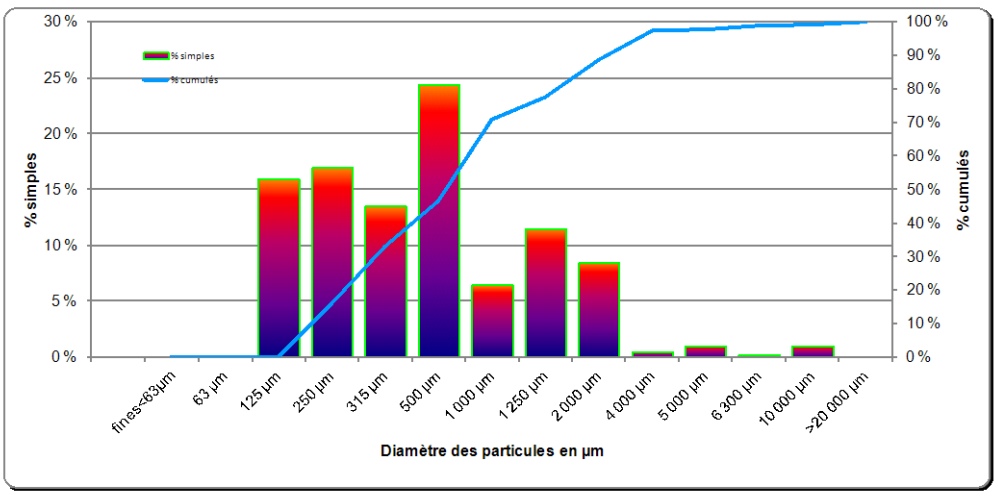
OCCIDENT 2000- PRELEVEMENT DU 29/04/11

Nom de l'échantillon : 91B

Masse totale : 200.60 g

Ouverture du tamis (en µm)	Masses simples (en g)	Masses cumulées (en g)	Fréquence simple en %	Fréquence cumulée en %
fines<63µm	0.00 g	0.00 g	0.00 %	0.00 %
63 µm	0.10 g	0.10 g	0.05 %	0.00 %
125 µm	32.00 g	32.10 g	15.95 %	0.05 %
250 µm	34.00 g	66.10 g	16.95 %	16.00 %
315 µm	27.00 g	93.10 g	13.46 %	32.95 %
500 µm	49.00 g	142.10 g	24.43 %	46.41 %
1 000 µm	13.00 g	155.10 g	6.48 %	70.84 %
1 250 µm	23.00 g	178.10 g	11.47 %	77.32 %
2 000 µm	17.00 g	195.10 g	8.47 %	88.78 %
4 000 µm	1.00 g	196.10 g	0.50 %	97.26 %
5 000 µm	2.00 g	198.10 g	1.00 %	97.76 %
6 300 µm	0.50 g	198.60 g	0.25 %	98.75 %
10 000 µm	2.00 g	200.60 g	1.00 %	99.00 %
>20 000 µm	0.00 g	200.60 g	0.00 %	100.00 %
				100.00 %





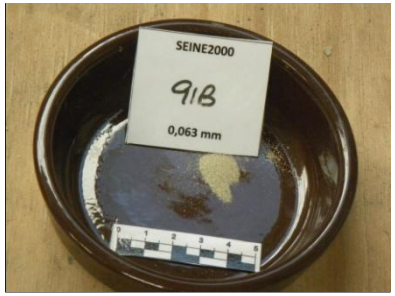
Mode (µm)	**500 µm**	**SABLES GROSSIERS**
D_{4n} (µm)	203 µm	
D_{16} µm ϕ	250 µm 2.00 Phi	
D_{2n} (µm)	285 µm	
Médiane D_{50} (µm)	**573 µm**	**SABLES GROSSIERS**
D_{75} (µm)	1 161 µm	
D_{84} µm ϕ	1 687 µm -0.75 Phi	
D_{9n} (µm)	2 287 µm	
Diamètre moyen en ϕ	0.68 Phi	
Ecart-type en unité ϕ (sorting)	1.36 Phi	
Indice d'asymétrie (Skewness)	-0.15	
Indice d'angulosité (Kurtosis)	0.89	
Teneur en fines (diamètre < 63 µm)	**0.00 %**	

Sources : IN VIVO Environnement – Janvier 2010

MORPHOSCOPIE DE L'ÉCHANTILLON 91B

Fraction inexistante

<0,063 mm

























Fraction inexistante

20 mm



Nom : 91B

Mode : 500 µm

Médiane : 573 µm

Faciès : Sables grossiers

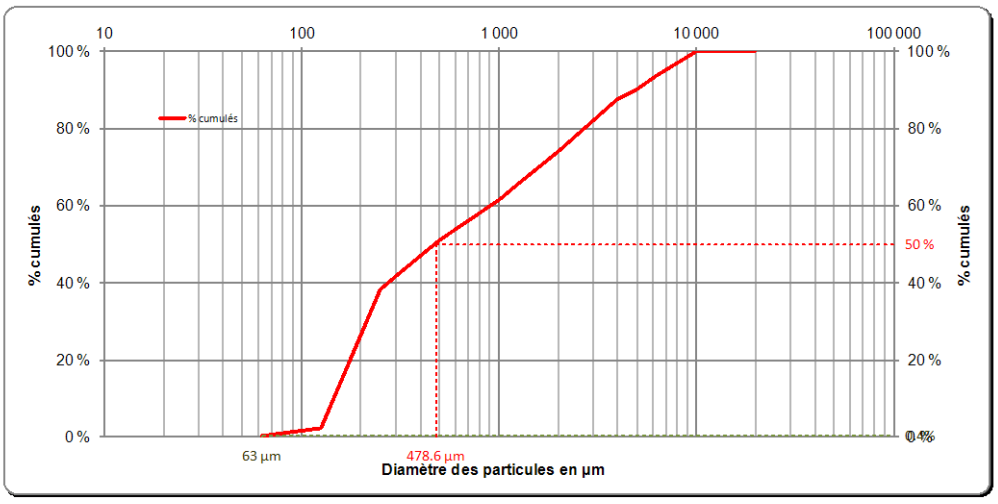
Sources : IN VIVO Environnement – Janvier 2010

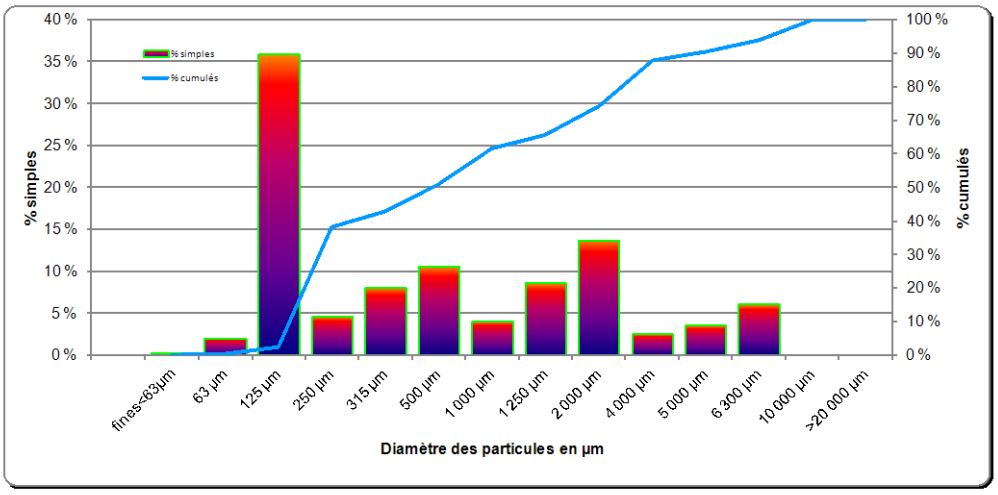
OCCIDENT 2000- PRELEVEMENT DU 29/04/11

Nom de l'échantillon : 93B

Masse totale : 197.70 g

Ouverture du tamis (en µm)	Masses simples (en g)	Masses cumulées (en g)	Fréquence simple en %	Fréquence cumulée en %
fines<63µm	0.70 g	0.70 g	0.35 %	0.00 %
63 µm	4.00 g	4.70 g	2.02 %	0.35 %
125 µm	71.00 g	75.70 g	35.91 %	2.38 %
250 µm	9.00 g	84.70 g	4.55 %	38.29 %
315 µm	16.00 g	100.70 g	8.09 %	42.84 %
500 µm	21.00 g	121.70 g	10.62 %	50.94 %
1 000 µm	8.00 g	129.70 g	4.05 %	61.56 %
1 250 µm	17.00 g	146.70 g	8.60 %	65.60 %
2 000 µm	27.00 g	173.70 g	13.66 %	74.20 %
4 000 µm	5.00 g	178.70 g	2.53 %	87.86 %
5 000 µm	7.00 g	185.70 g	3.54 %	90.39 %
6 300 µm	12.00 g	197.70 g	6.07 %	93.93 %
10 000 µm	0.00 g	197.70 g	0.00 %	100.00 %
>20 000 µm	0.00 g	197.70 g	0.00 %	100.00 %
				100.00 %





Mode (µm)	**125 µm**	**SABLES FINS**
D_{4n} (µm)	152 µm	
D_{16} µm / ϕ	172 µm / 2.54 Phi	
$D_{>c}$ (µm)	204 µm	
Médiane D_{50} (µm)	**479 µm**	**SABLES MOYENS**
D_{75} (µm)	2 117 µm	
D_{84} µm / ϕ	3 435 µm / -1.78 Phi	
$D_{>n}$ (µm)	4 846 µm	
Diamètre moyen en ϕ	0.61 Phi	
Ecart-type en unité ϕ (sorting)	1.94 Phi	
Indice d'asymétrie (Skewness)	-0.34	
Indice d'angulosité (Kurtosis)	0.69	
Teneur en fines (diamètre < 63 µm)	**0.35 %**	

Sources : IN VIVO Environnement – Janvier 2010

MORPHOSCOPIE DE L'ÉCHANTILLON 93B

























Fraction inexistante

10 mm

Fraction inexistante

20 mm



Nom : 93B

Mode : 125 µm

Médiane : 479 µm **Faciès :** Sables moyens

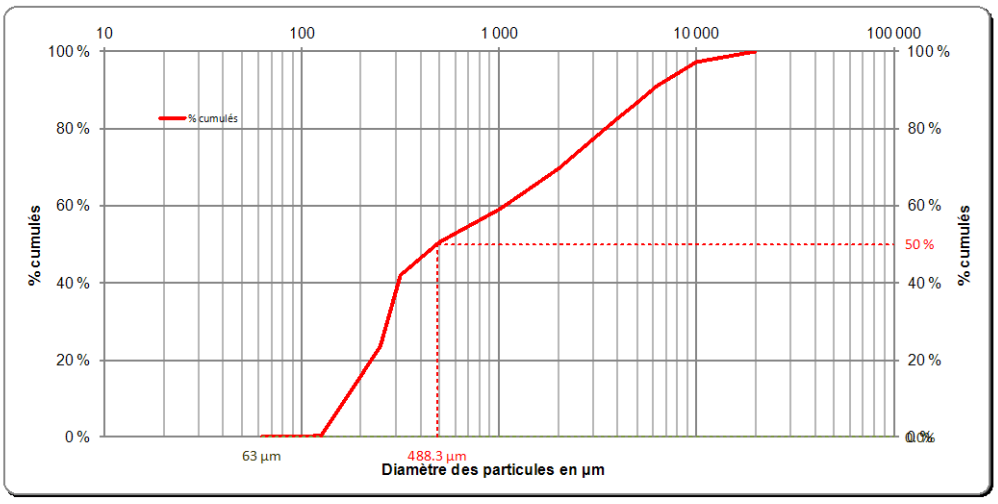
Sources : IN VIVO Environnement – Janvier 2010

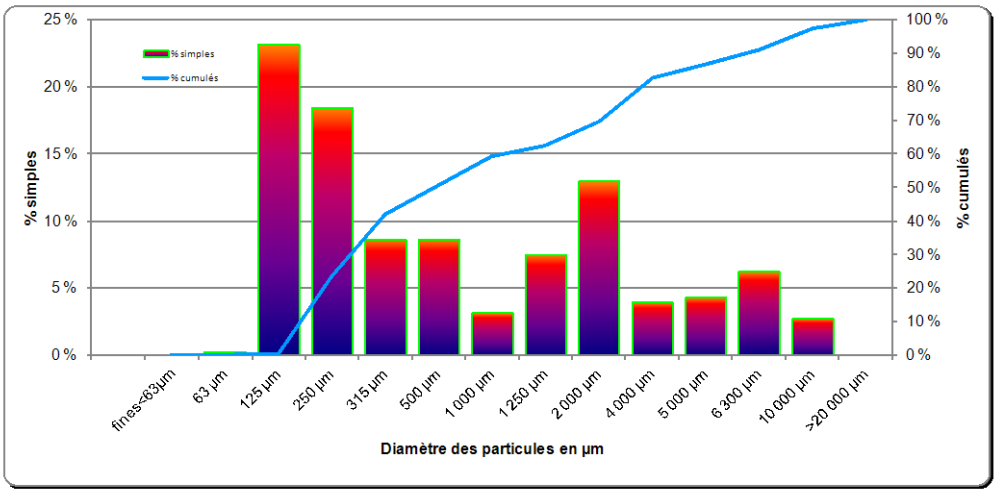
OCCIDENT 2000- PRELEVEMENT DU 29/04/11

Nom de l'échantillon : 95G

Masse totale : 254.78 g

Ouverture du tamis (en µm)	Masses simples (en g)	Masses cumulées (en g)	Fréquence simple en %	Fréquence cumulée en %
fines<63µm	0.08 g	0.08 g	0.03 %	0.00 %
63 µm	0.70 g	0.78 g	0.27 %	0.03 %
125 µm	59.00 g	59.78 g	23.16 %	0.31 %
250 µm	47.00 g	106.78 g	18.45 %	23.46 %
315 µm	22.00 g	128.78 g	8.63 %	41.91 %
500 µm	22.00 g	150.78 g	8.63 %	50.55 %
1 000 µm	8.00 g	158.78 g	3.14 %	59.18 %
1 250 µm	19.00 g	177.78 g	7.46 %	62.32 %
2 000 µm	33.00 g	210.78 g	12.95 %	69.78 %
4 000 µm	10.00 g	220.78 g	3.92 %	82.73 %
5 000 µm	11.00 g	231.78 g	4.32 %	86.66 %
6 300 µm	16.00 g	247.78 g	6.28 %	90.97 %
10 000 µm	7.00 g	254.78 g	2.75 %	97.25 %
>20 000 µm	0.00 g	254.78 g	0.00 %	100.00 %
				100.00 %





Mode (µm)	**125 µm**	**SABLES FINS**
D_{4n} (µm)	177 µm	
D_{16} µm ϕ	210 µm 2.25 Phi	
D_{25} (µm)	255 µm	
Médiane D_{50} (µm)	**488 µm**	**SABLES MOYENS**
D_{75} (µm)	2 806 µm	
D_{84} µm ϕ	4 324 µm -2.11 Phi	
D_{95} (µm)	6 007 µm	
Diamètre moyen en ϕ	0.39 Phi	
Ecart-type en unité ϕ (sorting)	1.98 Phi	
Indice d'asymétrie (Skewness)	-0.43	
Indice d'angulosité (Kurtosis)	0.69	
Teneur en fines (diamètre < 63 µm)	**0.03 %**	

Sources : IN VIVO Environnement – Janvier 2010

MORPHOSCOPIE DE L'ÉCHANTILLON 95G



























Fraction inexistante

20 mm



Nom : 95G

Mode : 125 µm

Médiane : 488 µm **Faciès :** Sables moyens

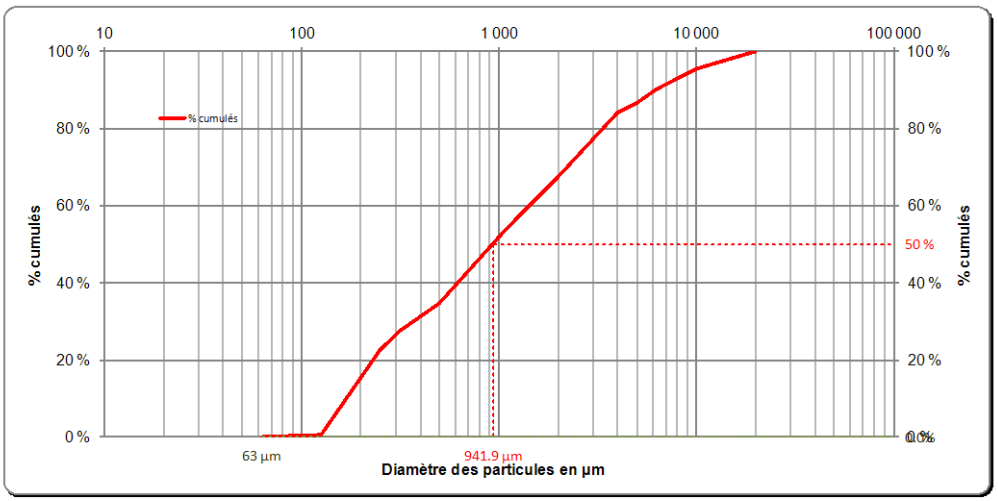
Sources : IN VIVO Environnement – Janvier 2010

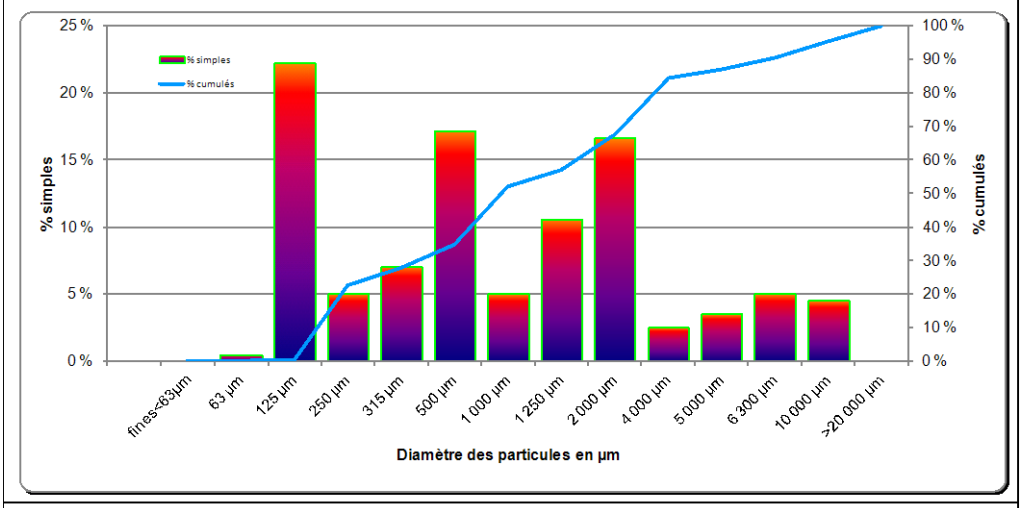
OCCIDENT 2000- PRELEVEMENT DU 29/04/11

Nom de l'échantillon : 96G

Masse totale : 197.90 g

Ouverture du tamis (en µm)	Masses simples (en g)	Masses cumulées (en g)	Fréquence simple en %	Fréquence cumulée en %
fines<63µm	0.00 g	0.00 g	0.00 %	0.00 %
63 µm	0.90 g	0.90 g	0.45 %	0.00 %
125 µm	44.00 g	44.90 g	22.23 %	0.45 %
250 µm	10.00 g	54.90 g	5.05 %	22.69 %
315 µm	14.00 g	68.90 g	7.07 %	27.74 %
500 µm	34.00 g	102.90 g	17.18 %	34.82 %
1 000 µm	10.00 g	112.90 g	5.05 %	52.00 %
1 250 µm	21.00 g	133.90 g	10.61 %	57.05 %
2 000 µm	33.00 g	166.90 g	16.68 %	67.66 %
4 000 µm	5.00 g	171.90 g	2.53 %	84.34 %
5 000 µm	7.00 g	178.90 g	3.54 %	86.86 %
6 300 µm	10.00 g	188.90 g	5.05 %	90.40 %
10 000 µm	9.00 g	197.90 g	4.55 %	95.45 %
>20 000 µm	0.00 g	197.90 g	0.00 %	100.00 %
				100.00 %





Mode (µm)	**125 µm**	**SABLES FINS**
D_{4n} (µm)	179 µm	
D_{16} µm ϕ	212 µm 2.24 Phi	
$D_{>c}$ (µm)	280 µm	
Médiane D_{50} (µm)	**942 µm**	**SABLES GROSSIERS**
D_{75} (µm)	2 880 µm	
D_{84} µm ϕ	3 960 µm -1.99 Phi	
$D_{>n}$ (µm)	6 153 µm	
Diamètre moyen en ϕ	0.11 Phi	
Ecart-type en unité ϕ (sorting)	1.96 Phi	
Indice d'asymétrie (Skewness)	-0.05	
Indice d'angulosité (Kurtosis)	0.73	
Teneur en fines (diamètre < 63 µm)	**0.00 %**	

Sources : IN VIVO Environnement – Janvier 2010

MORPHOSCOPIE DE L'ÉCHANTILLON 96G

Fraction inexistante

<0,063 mm

























Fraction inexistante

20 mm



Nom : 96G

Mode : 125 µm

Médiane : 942 µm

Faciès : Sables grossiers

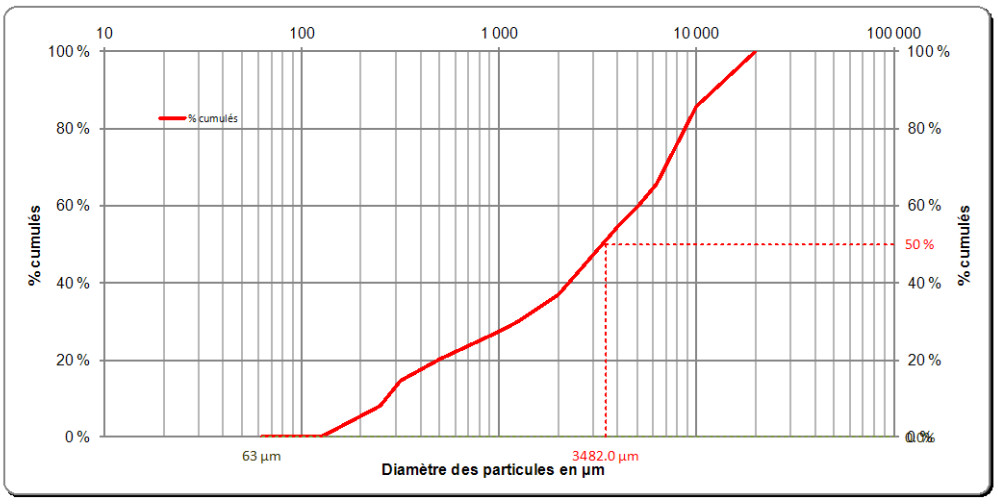
Sources : IN VIVO Environnement – Janvier 2010

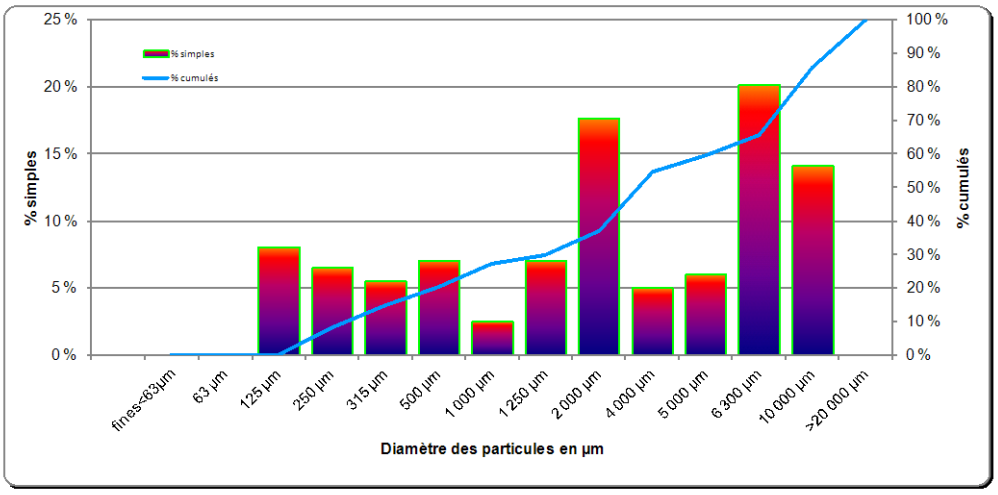
OCCIDENT 2000- PRELEVEMENT DU 29/04/11

Nom de l'échantillon : 98B

Masse totale : 198.13 g

Ouverture du tamis (en µm)	Masses simples (en g)	Masses cumulées (en g)	Fréquence simple en %	Fréquence cumulée en %
fines<63µm	0.00 g	0.00 g	0.00 %	0.00 %
63 µm	0.13 g	0.13 g	0.07 %	0.00 %
125 µm	16.00 g	16.13 g	8.08 %	0.07 %
250 µm	13.00 g	29.13 g	6.56 %	8.14 %
315 µm	11.00 g	40.13 g	5.55 %	14.70 %
500 µm	14.00 g	54.13 g	7.07 %	20.25 %
1 000 µm	5.00 g	59.13 g	2.52 %	27.32 %
1 250 µm	14.00 g	73.13 g	7.07 %	29.84 %
2 000 µm	35.00 g	108.13 g	17.67 %	36.91 %
4 000 µm	10.00 g	118.13 g	5.05 %	54.58 %
5 000 µm	12.00 g	130.13 g	6.06 %	59.62 %
6 300 µm	40.00 g	170.13 g	20.19 %	65.68 %
10 000 µm	28.00 g	198.13 g	14.13 %	85.87 %
>20 000 µm	0.00 g	198.13 g	0.00 %	100.00 %
				100.00 %





Mode (µm)	**6 300 µm**	**GRAVIERS**
D_{4n} (µm)	268 µm	
D_{16} (µm) / ϕ	358 µm / 1.48 Phi	
D_{25} (µm)	836 µm	
Médiane D_{50} (µm)	**3 482 µm**	**GRANULES**
D_{75} (µm)	8 008 µm	
D_{84} (µm) / ϕ	9 658 µm / -3.27 Phi	
D_{95} (µm)	12 924 µm	
Diamètre moyen en ϕ	-1.20 Phi	
Ecart-type en unité ϕ (sorting)	2.15 Phi	
Indice d'asymétrie (Skewness)	0.34	
Indice d'angulosité (Kurtosis)	0.80	
Teneur en fines (diamètre < 63 µm)	**0.00 %**	

Sources : IN VIVO Environnement – Janvier 2010

MORPHOSCOPIE DE L'ÉCHANTILLON 98B

Fraction inexistante

<0,063 mm

























Fraction inexistante

20 mm



Nom : 98B

Mode : 6300 µm

Médiane : 3482 µm **Faciès :** granules

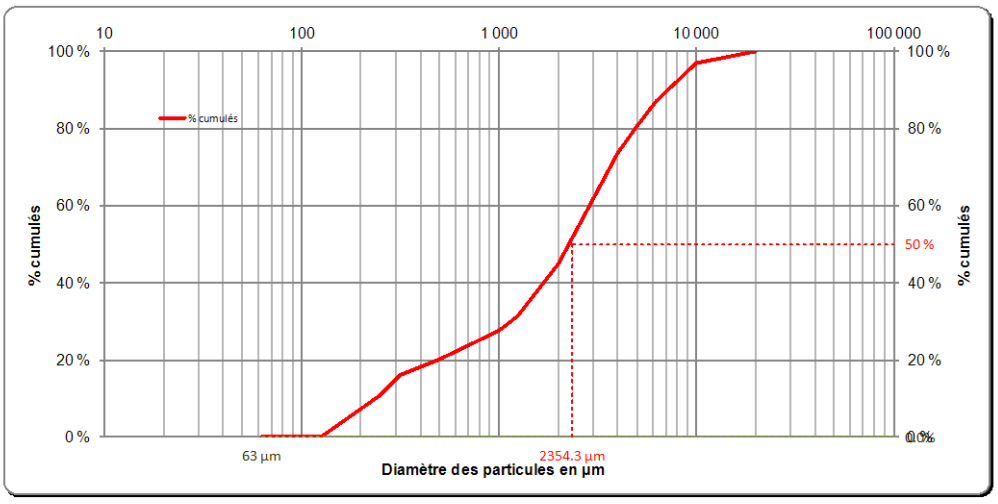
Sources : IN VIVO Environnement – Janvier 2010

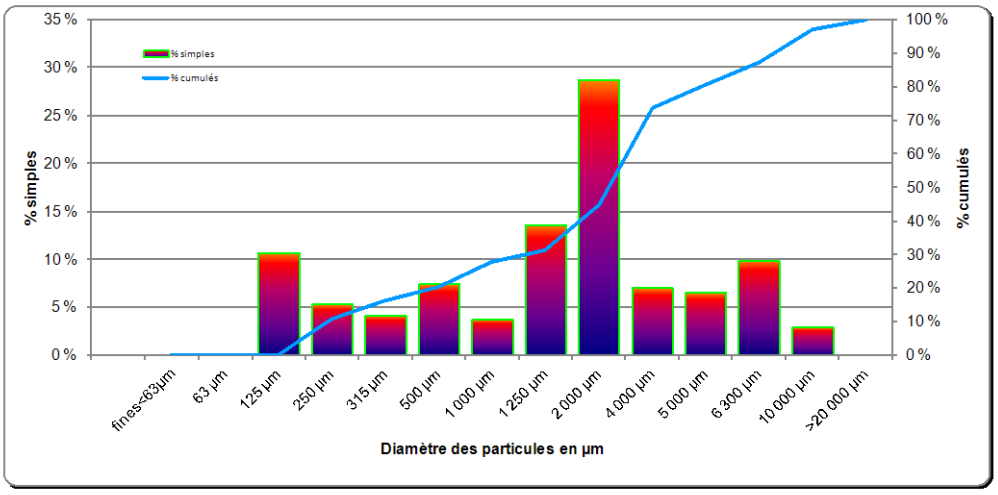
OCCIDENT 2000- PRELEVEMENT DU 29/04/11

Nom de l'échantillon : 99B

Masse totale : 243.20 g

Ouverture du tamis (en µm)	Masses simples (en g)	Masses cumulées (en g)	Fréquence simple en %	Fréquence cumulée en %
fines<63µm	0.00 g	0.00 g	0.00 %	0.00 %
63 µm	0.20 g	0.20 g	0.08 %	0.00 %
125 µm	26.00 g	26.20 g	10.69 %	0.08 %
250 µm	13.00 g	39.20 g	5.35 %	10.77 %
315 µm	10.00 g	49.20 g	4.11 %	16.12 %
500 µm	18.00 g	67.20 g	7.40 %	20.23 %
1 000 µm	9.00 g	76.20 g	3.70 %	27.63 %
1 250 µm	33.00 g	109.20 g	13.57 %	31.33 %
2 000 µm	70.00 g	179.20 g	28.78 %	44.90 %
4 000 µm	17.00 g	196.20 g	6.99 %	73.68 %
5 000 µm	16.00 g	212.20 g	6.58 %	80.67 %
6 300 µm	24.00 g	236.20 g	9.87 %	87.25 %
10 000 µm	7.00 g	243.20 g	2.88 %	97.12 %
>20 000 µm	0.00 g	243.20 g	0.00 %	100.00 %
				100.00 %





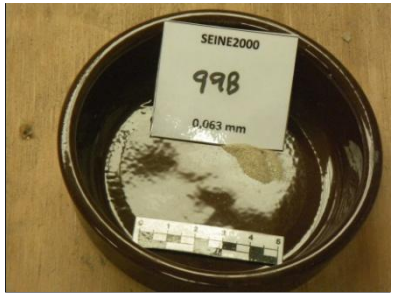
Mode (µm)	**2 000 µm**	**GRANULES**
D_{4n} (µm)	241 µm	
D_{16}	314 µm	
µm / ϕ	1.67 Phi	
$D_{>x}$ (µm)	822 µm	
Médiane D_{50} (µm)	**2 354 µm**	**GRANULES**
D_{75} (µm)	4 188 µm	
D_{84}	5 657 µm	
µm / ϕ	-2.50 Phi	
$D_{>x}$ (µm)	7 330 µm	
Diamètre moyen en ϕ	-0.69 Phi	
Ecart-type en unité ϕ (sorting)	1.90 Phi	
Indice d'asymétrie (Skewness)	0.35	
Indice d'angulosité (Kurtosis)	0.99	
Teneur en fines (diamètre < 63 µm)	**0.00 %**	

Sources : IN VIVO Environnement – Janvier 2010

MORPHOSCOPIE DE L'ÉCHANTILLON 99B

Fraction inexistante

<0,063 mm

























Fraction inexistante

20 mm



Nom : 99B

Mode : 2000 µm

Médiane : 2354 µm **Faciès :** granules

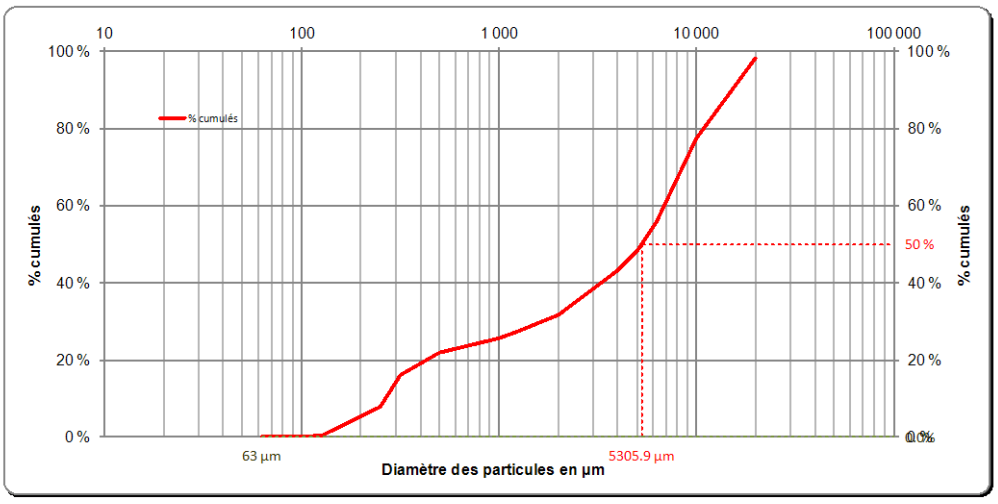
Sources : IN VIVO Environnement – Janvier 2010

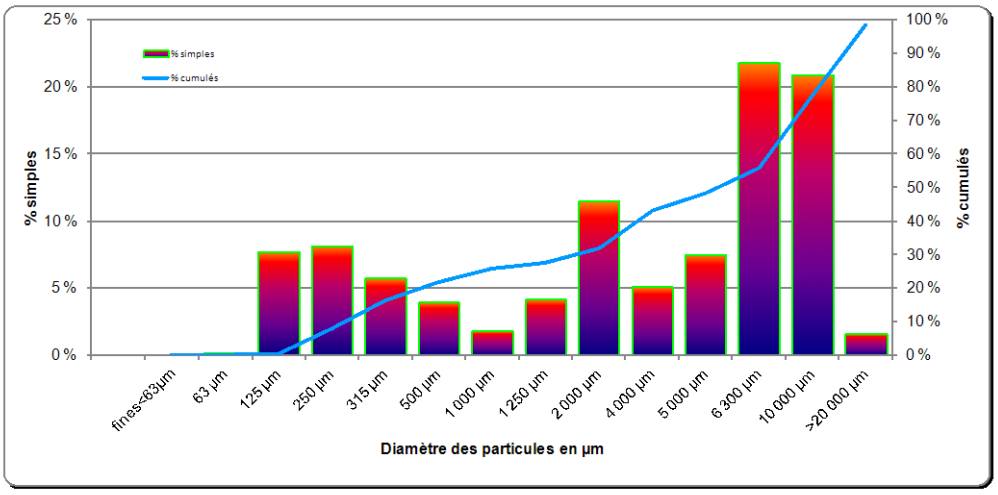
OCCIDENT 2000- PRELEVEMENT DU 29/04/11

Nom de l'échantillon : 102B

Masse totale : 454.00 g

Ouverture du tamis (en µm)	Masses simples (en g)	Masses cumulées (en g)	Fréquence simple en %	Fréquence cumulée en %
fines<63µm	0.20 g	0.20 g	0.04 %	0.00 %
63 µm	0.80 g	1.00 g	0.18 %	0.04 %
125 µm	35.00 g	36.00 g	7.71 %	0.22 %
250 µm	37.00 g	73.00 g	8.15 %	7.93 %
315 µm	26.00 g	99.00 g	5.73 %	16.08 %
500 µm	18.00 g	117.00 g	3.96 %	21.81 %
1 000 µm	8.00 g	125.00 g	1.76 %	25.77 %
1 250 µm	19.00 g	144.00 g	4.19 %	27.53 %
2 000 µm	52.00 g	196.00 g	11.45 %	31.72 %
4 000 µm	23.00 g	219.00 g	5.07 %	43.17 %
5 000 µm	34.00 g	253.00 g	7.49 %	48.24 %
6 300 µm	99.00 g	352.00 g	21.81 %	55.73 %
10 000 µm	95.00 g	447.00 g	20.93 %	77.53 %
>20 000 µm	7.00 g	454.00 g	1.54 %	98.46 %
				100.00 %





Mode (µm)	**6 300 µm**	**GRAVIERS**
D_{4n} (µm)	267 µm	
D_{16} µm ϕ	314 µm 1.67 Phi	
$D_{>x}$ (µm)	903 µm	
Médiane D_{50} (µm)	**5 306 µm**	**GRAVIERS**
D_{75} (µm)	9 570 µm	
D_{84} µm ϕ	13 091 µm -3.71 Phi	
$D_{>n}$ (µm)	15 958 µm	
Diamètre moyen en ϕ	-1.48 Phi	
Ecart-type en unité ϕ (sorting)	2.33 Phi	
Indice d'asymétrie (Skewness)	0.48	
Indice d'angulosité (Kurtosis)	0.78	
Teneur en fines (diamètre < 63 µm)	**0.04 %**	

Sources : IN VIVO Environnement – Janvier 2010

MORPHOSCOPIE DE L'ÉCHANTILLON 102B































Nom : 102B

Mode : 6300 µm

Médiane : 5306 µm **Faciès :** graviers

Sources : IN VIVO Environnement – Janvier 2010